UNIVERSIDADE FEDERAL DO PARA CURSO DE POS-GRADUAÇÃO EM GEOCIÊNCIAS

Uma Nova Abordagem para Interpretação de Anomalias Gravimétricas Regionais e Residuais Aplicada ao Éstudo da Organização Crustal-Exemplo da Região Norte do Piauí e Noroeste do Čearã

Tese Apresentada por

JACIRA FELIPE BELTRÃO

como requisito parcial à obtenção do grau em

DOUTOR EM CIÊNCIAS

Na área de

GEOFÍSICA

Conferido pelo Curso de Pós-Graduação em

Geociências da

Universidade Federal do Pará

Aprovado: 18.12.89

Comitê de Tese

JOAO BAJISTA CORREA DA SILVA(ORIENTADOR)

YOCITERU HASUI (CO-ORIENTADOR)

NACMI USSAMI

MARCO POLO PEREIRA DA BOA HORA

NICOLAU LADISLAU E HARALYI

Aos meus filhos Maíra e Uirá

RAPSODIA AMAZÔNICA

(João Bosco Castro e Marcio Guerra)

Nessas águas eu me escondo passo em matas e clareiras sou bondade, sou maldade sou um ato de grandeza.

O meu verde te alucina os meus braços são fronteiras de exteriores até o mar sei que vens me explorar.

Mas não quero ser queimada vidas idas com fumaça quero ser essa guarida de riquezas animais.

Eu te sirvo, sou servida castanhais e seringais são tão loucos teus anseios de devassa por metais.

Nessas selvas quando vôo vôo em asas das araras berro os gritos da araponga sigo em passos sem pegadas.

Minhas veias minerais do meu sangue marajó Amazônia do Purús do Rio Negro, Tapajós.

No luar de mata tão densa tenho um sono tropical vigilante de estados território, litoral.

Na brancura das areias de Salinas no Pará e no ouro dessas serras meu orgulho Carajás.

As angústias que navegam das indústrias que virão dessas águas que hoje limpas amanhã como serão? Vejam os rios que se encontram de suaves nem se tocam não transforme essa harmonia em areia e solidão.

E nas águas um estrondo que te faz ouvir ao longe pororoca meu lamento desse grito de alerta.

Amazônia, Amazônia Amazônia, Amazônia Amazônia, Amazônia.

13

AGRADECIMENTOS

Agradeço às seguintes pessoas e entidades que contribuiram para a realização deste trabalho:

Ao Prof. Dr. JOÃO BATISTA CORRÊA DA SILVA, orientador des ta tese, por seus inestimáveis, lúcidos e seguros ensinamentos, imprescindíveis à minha formação científica.

Ao Prof. Dr. YOCITERU HASUI, co-orientador desta tese, por seu incentivo e interesse na realização deste trabalho, além dos ensinamentos e sugestões ao longo do desenvolvimento desta tese.

12

Ao Dr. Marco Polo Pereira da Boa Hora, Dra. Naomi Ussami e Dr. Nicolau Haralyi, membros do Comitê de Tese, pelas sugestões e críticas quando do exame deste trabalho.

Ao Prof. Dr. João Batista Sena Costa, amigo, incentivador e entusiasta deste trabalho, por todo o apoio emprestado ao longo do desenvolvimento desta tese.

Ao engenheiro Alain Lesquer pela imprescindível ajuda na aquisição dos dados gravimétricos de parte dos Estados do Piauí e Ceará, além de todo apoio quando dos dois estágios realizados no Centre de Geologie et Geophysique do Centre National de la Recherche Scientifique de Montpellier, França.

Aos motoristas-técnicos Haroldo Carvalho e João Couceiro, amigos de todas as horas dos aproximadamente seis meses de trabalhos de campo necessários a aquisição dos dados gravimétricos.

Ao colega e amigo Jessé Carvalho Costa, companheiro incansá
vel das labutas diárias com o computador e das férteis discussões.

Ao colega e amigo Jorge Wilson Delgado Leão pelo apoio imprescindível nas lides com os problemas computacionais.

Aos colegas Francisco de Assis Matos de Abreu e Theodomiro Gama Junior pelo fornecimento das amostras de rochas utilizadas na determinação de densidade.

Aos professores, alunos e funcionários do Centro de Geociên - cias que contribuiram direta ou indiretamente para a realização deste trabalho.

Ao Centre de Geologie et Geophysique do Centre National de la Recherche Scientifique em Montpellier, onde foram realizados os estágios.

Esta pesquisa foi, em parte, realizada dentro da Cooperação Internacional Brasil-França. Agradeço imensamente ao Conselho Nacional de Desenvolvimento Científico e Tecnológico -CNPq, ao Centre National de la Recherche Scientifique - CNRS e à Financiadora de Estudos e Projetos - FINEP pelo suporte financeiro para a realização desta pesquisa.

A minha família, e em particular as pessoas de minha mãe Júlia e minha irmã Mena que amenizaram uma parte das tristezas dos meus filhos Maíra e Uirá, fruto das minhas longas ausências, necessárias ao desenvolvimento dos trabalhos de campo e estágios no exterior.

Ao Lourenço, meu marido e companheiro da longa caminhada de minha formação científica, pelo incentivo e apoio durante as diferentes etapas do desenvolvimento deste trabalho.

SUMARIO

	Página
DEDICATORIA	i
AGRADECIMENTOS	iv
SUMÁRIO	vi
RESUMO	1
ABSTRACT	4
1 - INTRODUÇÃO	7
2 - METODO DE SEPARAÇÃO DO CAMPO GRAVIMETRICO	
NAS COMPONENTES REGIONAL E RESIDUAL	12
2.1 - Introdução	12
2.2 - Metodologia	14
2.3 - Aplicação em dados sintéticos	19
2.4 - Conclusões	38
3 - METODO DE INTERPRETAÇÃO DA COMPONENTE	•
REGIONAL DO CAMPO GRAVIMÉTRICO	40
3.1 - Introdução	40
3.2 - Metodologia	43
3.3 - Aplicação em dados sintéticos	49
3.4 - Conclusões	55
4 - METODO DE INTERPRETAÇÃO DA COMPONENTE	
RESIDUAL DO CAMPO GRAVIMETRICO	58
4.1 - Introdução	58
4.2 - Metodologia	62
4.3 - Aplicação em dados sintéticos	68
4.4 - Conclusões	79
5 - APLICAÇÃO EM DADOS REAIS	81
5 1 - Introducão	នា

	Página
5.2 - Metodologia aplicada a dados sintéticos	83
5.3 - Geologia	92
5.4 - Dados gravimétricos	99
5.5 - Densidade de rochas	101
5.6 - Interpretação	106
5.7 - Integração	136
6 - CONCLUSÕES	142
PEFERENCIAS	145

RESUMO

A interpretação de anomalias gravimétricas é de grande importância no estudo de feições geológicas que ocorrem na crosta terrestre. Esta interpretação é, no entanto, dificultada pelo fato das anomalias gravimétricas serem resultantes da soma total dos efeitos produzidos por todos os contrastes de densidades de subsuperfície. Desse modo, com o intuito de separar efeitos de feições mais profundas de efeitos de feições mais rasas, bem como a caracterização da geometria desses dois conjuntos de feições, apresentamos um método de separação das componentes regional e residual do campo e a subsequente interpretação de cada componente.

J

A separação regional-residual de dados gravimétricos é efetuada através da aproximação do campo regional por um polinômio ajustado ao campo observado por um método robusto. Este método é iterativo e usa como aproximação inicial a solução obtida através do ajuste polinomial pelo método dos mínimos quadrados. O método empregado minimiza a influência de observações contendo forte contribuição do campo residual no ajuste do campo regional.

A componente regional obtida a partir da separação regional-residual é transformada em um mapa de distâncias verticais em relação a um nível de referência. Esta transformação compreende duas etapas. A primeira consiste na obtenção da continuação para baixo da componente regional, que é pressuposta ser causada por uma interface suave separando dois meios homogêneos, representando a interface crosta-manto, cujo contraste de densidade é supostamente conhecido. A segunda consiste na transformação do mapa de continuação para baixo em um mapa de

distâncias verticais entre o nível de continuação (tomado como nível de referência) e a interface. Este método apresenta duas dificuldades. A primeira está ligada à instabilidade, havendo portanto a necessidade do emprego de um estabilizador o que acarreta a perda de resolução das feições que se desejam mapear. A segunda, inerente ao método gravimétrico, consiste na impossibilidade da determinação das profundidades absolutas da interface em cada ponto, bastando entretanto o conhecimento da profundidade absoluta em um ponto, através de informação independente, para que todas as outras profundidades absolutas sejam conhecidas.

A componente residual obtida a partir da separação regional-residual é transformada em um mapa de contrastes de densidade aparente. Esta transformação consiste no cálculo do contraste de densidade de várias fontes prismáticas através de uma
inversão linear pressupondo que as fontes reais estejam limitadas a uma placa horizontal, com contrastes de densidade variando apenas nas direções horizontais.

O desempenho do método de separação regional-residual apresentado foi avaliado, através de testes empregando dados sintéticos, fornecendo resultados superiores em relação aos métodos dos mínimos quadrados e da análise espectral.

O método de interpretação da componente regional teve seu desempenho avaliado em testes com dados sintéticos onde foram produzidos mapeamentos de interfaces bem próximas das estruturas reais. O limite de resolução das feições que se desejam ma pear depende não só do grau do polinômio ajustante, como também da própria limitação inerente ao método gravimétrico.

Na interpretação da componente residual é necessário que se postule ou tenha informação <u>a priori</u> sobre a profundidade do

topo e espessura da placa onde as fontes estão supostamente confinadas. No entanto, a aplicação do método em dados sintéticos, produziu estimativas razoáveis para os limites laterais das fontes, mesmo na presença de fontes interferentes, e pressu pondo-se valores para profundidade do topo e espessura da placa, diferentes dos valores verdadeiros. A ambiguidade envolven do profundidade do topo, espessura e densidade pode ser visualizada através de gráficos de valores de densidade aparente contra profundidade do topo presumida para a placa para vários valores postulados para a espessura da placa. Estes mesmos gráficos permitem, pelo aspecto das curvas, a elaboração de uma interpretação semi-quantitativa das profundidades das fontes reais.

A sequência dos três métodos desenvolvidos neste trabalho foi aplicada a dados gravimétricos da região norte do Piauí e noroeste do Ceará levando a um modelo de organização crustal que compreende espessamentos e adelgaçamentos crustais associados a um evento compressivo que possibilitou a colocação de rochas demsas da base da crosta a profundidades rasas. Este mode lo é compatível com os dados geológicos de superfície. É ain da sugerida a continuidade, por mais 200 km em direção a sudoes te, do Cinturão de Cisalhamento Noroeste do Ceará por sob os se dimentos da Bacia do Parnaíba, com base nas evidências fornecidas pela interpretação da anomalia residual.

Embora esta sequência de métodos tenha sido desenvolvida com vistas ao estudo de feições crustais de porte continental, ela também pode ser aplicada ao estudo de feições mais localizadas como por exemplo no mapeamento do relevo do embasamento de bacias sedimentares onde os sedimentos são cortados por rochas intrusivas mais densas.

ABSTRACT

Despite its great importance to the study of global geologic structures, interpreting gravity anomalies is not a trivial task because the observed gravity field is the resultant of every gravity effect produced by every elementary density contrast. Therefore, in order to isolate the effects produced by shallow sources from those produced by deep sources, I present a new method for regional-residual separation and methods for interpreting each isolated component.

The regional-residual separation is perfomed by approximating the regional field by a polynomial fitted to the observed field by a robust method. This method is iterative and its starting value is the least-squares fitting. Also, the influence of observations containing substantial contributions of the residual field in the regional field fitting is minimized.

The computed regional field is transformed into a map of vertical distances relative to a given datum. This transformation consists of two stages. The first one is the downward continuation of the regional field which is assumed to be produced by a smooth interface separating two homogeneous media: the crust and the mantle. The density contrast between the media is presumably known. The second stage consists in transforming the downward continued field into a map of vertical distances relative to a given datum by means of simple operations. This method presents two difficulties. The first one is related to the instability inherent to the downward

continuation operation. The use of a stabilizer is therefore mandatory, leading to an inevitable loss of resolution of the features being mapped. The second difficulty, inherent to the gravity method, is the impossibility of determining the interface absolute depths. However, the knowledge of the absolute depth at one single point of the interface by independent means allows the computation of all absolute depths.

The computed residual component is transformed into an apparent density map. This transformation consists in calculating the intensity of several prismatic sources by linear inversion, assuming that the real sources are confined to a horizontal slab and have density contrasts varying only along the horizontal directions.

The perfomance of the regional-residual separation method was assessed in tests using synthetic data, always producing better results as compared either with polynomial fitting by least-squares or with the spectral analysis method.

The method for interpreting the regional component was applied to synthetic data producing interfaces very close to the true ones. The limit of resolution of the features being mapped depend not only on the degree of the fitting polynomial, but also on the limitation imposed by the gravity method itself.

In interpreting the residual component, a priori information is needed about the depth and thickness of the slab confining the true sources. However, results of tests using synthetic data showed that reasonable estimates for the horizontal limits of the sources can be obtained, even when the depth and thickness of the slab are not known. The ambiguity

involving depth to the top, thickness and the apparent density can be visualized by means of curves of apparent density as a function of the presumed depth to the top of the slab, each curve corresponding to a particular assumed value for the slab thickness. An analysis of the configuration of the curves allows a semi-quantitative interpretation of the real sources depths.

The sequence of all three methods described above was applied to gravity data from northern Piauí and northwestern Ceará state. As a result, a crustal organization model was obtained consisting of crustal thickenings and thinnings related to a compressive event which caused the raise of dense, lower crust rocks to shallower depths. This model is consistent with surface geological information. Also, the gravity interpretation suggests the continuity of the Northwestern Ceará Shear Belt for more than 200 km under the Parnaíba Basin sedimentary cover.

Although the sequence of methods presented here has been developed for the study of large scale crustal structures, it could also be applied to the interpretation of smaller structures, as, for example, the basement relief of a sedimentary basin where the sediments have been intruded by mafic rocks.

1 - INTRODUÇÃO

3

Os métodos geológicos, no estudo de feições crustais, limitados a observações realizadas na superfície da Terra. Mes mo as informações provindas de furos de sondagem são restritas a uma fina película de alguns poucos quilômetros na superfície do planeta. Com a finalidade de produzir informações sobre as partes mais profundas da crosta e do manto terrestre, os métodos geofísicos têm sido extensivamente empregados como suporte tanto na caracterização dos eventos físico-geológicos como na proposição de modelos geotectônicos. Os métodos geofísicos uti lizam informações de entidades físicas que atravessam a matéria, como por exemplo os campos magnético e gravimétrico e a propagação de ondas elásticas e eletromagnéticas. No entanto. para o estudo de feições crustais alguns métodos são mais adequados. O método magnético que usa campo natural, por exemplo, apresenta a limitação de fornecer informações apenas sobre os materiais que se encontram acima da profundidade onde é atingida a temperatura de Curie, pois abaixo desta profundidade os materiais perdem suas propriedades ferrimagnéticas. Por outro lado, os métodos ativos, ou seja, aqueles que utilizam uma fonte artificial, como os métodos sísmicos e eletromagnéticos, necessitam de fontes bastante potentes para obter informações de grandes profundidades, o que os torna excessivamente dispendio-Exceção entre os métodos eletromagnéticos é o magnetotelúrico que emprega frequências muito baixas, não exigindo, portanto, fontes tão potentes. No entanto, tal método necessita de/ tempos extremamente longos para realização de uma simples observação, o que o torna operacionalmente lento. Por sua vez,

o método gravimétrico, fornece informações sobre os contrastes laterais de densidade que ocorrem na subsuperfície, desde a superfície até profundidades de 300-500 km. Além disso, o método gravimétrico, em relação aos métodos magnetotelúrico e sísmico, caracteriza-se por ser bem mais econômico, rápido e operacional mente eficiente na obtenção das medidas, e por isso tem sido am plamente empregado no estudo da crosta terrestre.

Comumente a interpretação dos dados gravimétricos tem sido feita de duas maneiras. A primeira, utiliza diretamente a anomalia Bouguer enquanto a segunda, separa esta anomalia em suas componentes regional e residual.

Os métodos de interpretação que utilizam diretamente a anomalia Bouguer podem ser divididos em dois grupos. O primeiro, abrange métodos que produzem apenas uma correlação qualitativa, tanto em mapa como em perfil, com os dados geológicos de superfície ou com os resultados de outros métodos geofísicos (Prouff e Isherwood, 1980; Brown et al., 1980; Green et al., 1981; Dhia, 1987; Vergara-Muñoz, 1988). O segundo grupo, por outro lado, compreende métodos que utilizam a anomalia Bouguer em modelamentos quantitativos considerando apenas contrastes laterais de densidade próximos da superfície (fontes residuais) (Lehman et al., 1982; Seguin, 1983) ou contrastes laterais de densidade tanto rasos como profundos, sem, no entanto, separar os dois efeitos (fontes residuais e regionais) (Kaila e Bhatia, 1981; Chekunov et al., 1984; Hildenbrand, 1985; Izzeldin, 1987; Pratt et al., 1988; Nunn e Aires, 1988; Catchings e Mooney, 1988).

A segunda maneira de interpretar os dados gravimétricos, consiste em efetuar uma separação preliminar da anomalia Bouguer em suas componentes regional e residual. Esta separa-

ção pode ser efetuada pelo método gráfico (Seguin, 1986; Mukhopadhyay et al., 1986; Fairhead e Okereke, 1987), pelo método de filtragem (Up De Graff e Luyendyk, 1989; Rapolla et al., 1989), pelo método de ajuste de polinômios (Carrier e Chapman, 1981; Aiken et al., 1983; Verma et al., 1984) e por modelamento isostático (Jachens e Griscom, 1983 e 1985; Snyder e Carr. 1984; Gettings e Griscom, 1988; Carle, 1988).

No caso dos métodos que separam a anomalia Bouquer em suas componentes, interpretações quantitativas podem ser realizadas após a separação, tanto na componente regional como na componen te residual. Quando a separação é realizada pelo método gráfi co, as interpretações quantitativas são, geralmente, efetuadas empregando-se a componente residual (Seguin, 1986; Mukhopadhyay et al., 1986; Fairhead e Okereke, 1987). O mesmo ocorre quando a separação é realizada pelo método de filtragem (Up De Graff e Luyendyk, 1989). No entanto, quando a separação das componen tes regional e residual é efetuada através do método de ajuste de polinômios, as interpretações têm sido feitas tanto com a componente residual (Aiken et al., 1983; Verma et al., 1984) como com ambas as componentes (Carrier e Chapman, 1981). No ca so, de separação efetuada através de modelamento isostático, es tá implícita a interpretação da componente regional, representa da pela interface crosta-manto (Sibuet e Veyrat-Peinet, 1980; Diament et al., 1986). Neste caso, também têm sido realizadas interpretações quantitativas da componente residual (Jachens e Griscom, 1983; Snyder e Carr, 1984; Gettings e Griscom, 1988: Carle, 1988).

O método de ajuste de polinômios para separação regional-re sidual pressupõe apenas características geométricas para as fon tes regionais, como o seu confinamento a níveis de profundida-

des suficientemente distantes das fontes residuais. Por outro lado, o método de separação por modelagem isostática pressupõe características físicas determinísticas para a fonte regional. As características geométricas que as fontes regionais assumirem serão decorrentes das características físicas estabelecidas no modelo isostático.

Este trabalho tem por objetivo o desenvolvimento de uma nova abordagem para a interpretação de dados gravimétricos, visan do um melhor entendimento dos fenômenos físico-geológicos e a proposição de um modelo geotectônico. Esta nova abordagem consiste em efetuar, preliminarmente, uma separação da anomalia Bouguer em suas componentes regional e residual, através do método de ajuste de polinômios e, em seguida, a interpretação quantitativa de cada uma das componentes.

O método de separação regional-residual, é baseado no ajuste de polinômios, no qual os coeficientes são determinados por um procedimento robusto iterativo que usa como aproximação inicial a solução obtida pelo método dos mínimos quadrados. O pro cedimento robusto consiste na definição de pequenos pesos para grandes resíduos, evitando desta maneira a transmissão do ruído. Consequentemente, polinômios de altos graus podem ser empregados, minimizando a distorção do sinal, possibilitando que superfícies representando campos regionais bastante irregulares tenham uma melhor aproximação. Este método de separação pressupõe apenas características geométricas para as fontes regionais, possibilitando uma subsequente interpretação quantitativa tanto para a componente regional como para a componente residual. Em contraposição, o método de separação regional-resipela modelagem isostática, pressupõe não só a geometria como também certas características físicas para a fonte regional, de maneira que ao efetuar a separação, a fonte regional já está modelada.

O método de interpretação da componente regional tem por objetivo a determinação da topografia da interface supostamente causadora da anomalia regional. Esta topografia é obtida pela transformação da componente regional em um mapa de distâncias verticais em relação a um nível de referência.

O método de interpretação da componente residual tem por objetivo o mapeamento de fontes intracrustais. Este mapeamento é obtido através da transformação da componente residual em um mapa de contrastes de densidade aparente, pelo cálculo da intensidade de várias fontes prismáticas através de uma inversão linear, presumindo que as fontes reais estão confinadas em uma placa horizontal, cujos contrastes de densidades podem variar apenas ao longo das direções horizontais e de maneira suave.

A sequência dos três métodos desenvolvidos neste trabalho foi aplicada a dados gravimétricos da região norte do Piauí e noroeste do Ceará levando a um modelo de organização crustal que consiste no mapeamento de espessamentos e adelgaçamentos crustais associados a um evento compressivo que possibilitou a colocação de rochas densas da base da crosta a profundidades ra sas. Além disso, a interpretação da anomalia residual forneceu evidências sobre a continuidade do Cinturão de Cisalhamento Noroeste do Ceará por sob os sedimentos da Bacia do Parnaíba.

2 - MÉTODO DE SEPARAÇÃO DO CAMPO GRAVIMETRICO NAS COMPONENTES REGIONAL E RESIDUAL

2.1 - Introdução

بحز

A separação regional-residual em dados de campo poten - cial pode ser grupada em métodos gráfico, espectral e ajuste de polinômios (Nettleton, 1976).

O método gráfico é lento e não pode ser automatizado. A única característica imposta ao campo regional é a suavidade. Como resultado, existem várias soluções para o problema da separação e a subjetividade inerente ao método pode ser tanto uma vantagem, como uma desvantagem dependendo da experiência do intérprete e sua habilidade em incorporar qualquer informação geológica relevante sobre o campo regional (Skeels, 1967; Gupta e Ramani, 1980).

Os métodos espectrais, por outro lado, fornecem uma maneira mais quantitativa para caracterizar a suavidade do campo regional, devido ao seu conteúdo espectral ser, predominantemente, de baixa frequência. Eles são mais rápidos e menos subjetivos do que o método gráfico porque a separação é realizada pela filtragem do campo total com um filtro passa-baixa adequado. Desta maneira, o campo regional pode ser produzido tanto por fonte grande rasa como por fontes profundas. Entretanto, devido à superposição dos espectros dos campos regional e residual, uma completa separação não é possível e dois tipos de erros - a distorção do sinal e a transmissão do ruído - estão /sempre presentes. A soma desses dois erros pode ser minimi zada pelo filtro de Wiener como mostrado por Jacobsen (1987).

Qualquer método espectral que não inclua a frequência zero no residual (e isto é regra geral), produzirá residuais contamina dos por pseudo-anomalias (Ulrych, 1968).

Os métodos de ajuste de polinômios tentam modelar o campo regional por polinômios (Agocs, 1951; Simpson Jr., 1954). Como o polinômio é ajustado ao campo total e não ao regional (desconhecido), qualquer tentativa de modelar um regional complexo por um polinômio de grau alto produzirá um efeito semelhante à transmissão do ruído nos métodos espectrais. Da mesma forma, um polinômio de grau muito baixo não será suficiente para modelar o campo regional, e um efeito semelhante à distor ção do sinal aparecerá. O ajuste de polinômios normalmente in clui um termo independente, e uma vez que o método dos mínimos quadrados é comumente empregado, a soma dos resíduos é sempre zero. Isto leva, necessariamente, à presença de resíduos tanto positivos, quanto negativos, os quais no caso dos contrastes de densidade estritamente positivos (ou negativos) dão lugar a pseudo-anomalias. Um procedimento para selecionar o grau " óti mo" do polinômio, baseado na correlação entre residuais obtidos pelo ajuste de polinômios de sucessivos graus é apresentado por Abdelrahman et al. (1985).

A presença de pseudo-anomalias indesejáveis nos residuais tem sido reconhecida há bastante tempo (Agocs, 1951; Paul, 1967; Skeels, 1967; Rao et al., 1975). No entanto, pouco tem sido feito no sentido de diminuir a sua influência. Skeels (1967) sugere a separação pelo método gráfico, uma vez que as pseudo-anomalias podem ser deliberadamente evitadas pelo intérprete. El-Bathroukh e Zentani (1980) simplesmente adicionam um nível de base constante ao campo regional ajustado de maneira a produzir anomalias residuais essencialmente positivas. Este

procedimento teve suporte na evidência geológica de estruturas rasas com contraste de densidade estritamente positivo. Rao et al. (1975) apresentam um método de ajuste de polinômio onde os coeficientes polinomiais foram obtidos iterativamente. A cada iteração, um polinômio é ajustado ao regional aproximado pela diferença entre o campo observado e um resíduo "calculado", definido como a parte positiva central do residual (para um contraste de densidade positivo) obtido na iteração anterior. O halo de pseudo-anomalias positivas e negativas que circunda o residual positivo principal não é incluido no residual "calculado". No entanto, para detectar, automaticamente, as pseudo-anomalias, a área deve incluir apenas uma anomalia residual verdadeira.

Neste trabalho, apresentamos um método de separação regional-residual baseado no ajuste de polinômios, no qual os coeficientes são determinados por um procedimento robusto que consiste, essencialmente, na solução dos mínimos quadrados reponderados iterativamente. A transmissão do ruído é evitada pela definição de pesos pequenos para grandes resíduos. Como resultado, polinômios de altos graus podem ser empregados, reduzindo, desta maneira, também a distorção do sinal. As pseudo-anomalias são automaticamente detectadas mesmo para áreas complexas contendo várias anomalias residuais, tanto positivas como negativas.

2.2 - Metodologia

A definição de um método de ajuste de dados requer a especificação de uma função-objeto e um critério de decisão

(Gol'tsman, 1977). No método dos mínimos quadrados a função-objeto é a soma dos quadrados das diferenças entre cada observação e o valor do funcional ajustante em cada ponto de observação. O critério de decisão é a minimização da função objeto. Para um estimador-M genérico, o critério de decisão é ainda a minimização da função-objeto a qual é definida como (Huber, 1981)

$$Q(\overline{c}) = \sum_{i=1}^{N} u(r_i/s) , \qquad (1)$$

onde u é um funcional definindo o método robusto particular e r_i é o resíduo na i-ésima observação, dado por

$$r_{\downarrow} = g_{\downarrow}^{\circ} - f(x_{\downarrow}, y_{\downarrow}, z_{\downarrow}, \overline{c}).$$
 (2)

 g_i^c é a i-ésima observação, $f(x_i,y_i,z_i,\overline{c})$ é o funcional ajustante avaliado no ponto (x,y,z) da i-ésima observação, \overline{c} é um conjunto de parâmetros que definem de modo único o funcional f, e s é um fator de escala. O método dos mínimos quadrados pode ser visto como um caso particular de estimador-M onde u(v) = v.

A separação regional-residual por ajuste de polinômios pressupõe que o regional pode ser aproximado por um polinô
mio completo de grau n em ambas as direções x e y, isto é,

$$f(x,y,z,\overline{c}) = P_n(x,y,\overline{c}) , \qquad (3)$$

onde c é o conjunto de coeficientes do polinômio.

Tradicionalmente, o polinômio é ajustado ao campo to tal e não ao regional (desconhecido) pelo método dos mínimos quadrados (Agocs, 1951; Simpson Jr., 1954; Abdelrahman et al., 1985). Como resultado, polinômios de graus elevados não podem ser empregados porque eles ajustarão parte do residual. Os residuais calculados, neste caso, terão amplitudes menores do que os residuais verdadeiros. Além disso, residuais espúrios com amplitudes negativas aparecerão porque o ajuste de uma função que contenha um termo independente (o nível de base), pelo méto do dos mínimos quadrados requer que a soma dos resíduos seja ze ro. Estas dificuldades podem ser reduzidas pelo uso de métodos de ajustes mais robustos que os mínimos quadrados, como o de uma sub-classe de estimadores-M descrita a seguir.

Qualquer estimador-M que use na equação (1) uma fun2 ção u(v), que cresça menos rapidamente do que v, é mais robusto do que os mínimos quadrados. A condição necessária para
a existência de um mínimo da função-objeto Q(C) definida na equação (1) é

$$\frac{\sum_{i=1}^{N} q(r_i/s) \frac{\partial}{\partial c_i} f(x,y,z,\overline{c})}{\frac{\partial}{\partial c_i}} = 0, \quad j=1,2,...M, \quad (4)$$

onde q(v) = u'(v).

Substituindo a equação (3) na equação (4) e usando a notação matricial:

$$\frac{=}{A} \tau_{\overline{q}} = \overline{0} \quad ,$$

onde $\overline{\overline{A}}$ é uma matriz N x M cujo elemento a_{ij} é:

$$a_{ij} = \frac{\partial}{\partial c_{ij}} P_m(x, y, \overline{c})$$

 $e^{\overline{0}}$ é o vetor nulo.

Escrevendo

$$\overline{q} = \overline{\overline{w}} \overline{r},$$
 (6)

onde $\overline{\overline{W}}$ é uma matriz diagonal N x N, de pesos, cujo i-ésimo e-lemento é dado por:

$$w_i = q_i/r \quad , \tag{7}$$

com $q_i = q(r_i/s)$, e substituindo a equação (6) na equação (5):

$$\overline{A}^{\mathsf{T}} \overline{W} \ \overline{r} = \overline{0}. \tag{8}$$

Uma vez que o funcional f é linear em \overline{c} , o vetor de resíduos pode ser escrito como:

$$\vec{r} = \vec{g}^{\circ} - \vec{A} \vec{c}, \tag{9}$$

onde \overline{g}° é o vetor de observações. Substituindo a equação (9) na equação (8):

$$\overline{\overline{A}}^{\dagger} \overline{\overline{W}} \overline{\overline{A}} \overline{c} - \overline{\overline{A}}^{\dagger} \overline{\overline{W}} \overline{g}^{\circ}. \tag{10}$$

Uma vez que \overline{W} depende implicitamente de \overline{C} , a equação (10) não pode ser resolvida diretamente para o vetor \overline{C} . No entanto, pode ser resolvida iterativamente combinando as equações (9) e (10). Na k-ésima iteração, a matriz de pesos $\overline{W}^{(k)}$ é obtida a partir de $\overline{C}^{(k)}$, a k-ésima aproximação de \overline{C} , usando as equações (7) e (9). A k-ésima primeira aproximação de \overline{C} é obtida a partir da equação (10):

$$\overline{c} = (\overline{A}^T \overline{W}^{(k)} \overline{A})^{-1} \overline{A}^T \overline{W}^{(k)} \overline{g}^{\circ}. \tag{11}$$

A iteração começa com $\overline{\overline{W}}^{(0)} = \overline{\overline{I}}$, a matriz identidade, e termina quando a mediana dos valores absolutos dos resíduos é estabilizada, porque neste estágio os resíduos terão pouca influência na função ajustada.

2.3 - Aplicação em dados sintéticos

Com o objetivo de avaliar o desempenho do método proposto, este foi aplicado ao campo gravimétrico produzido pela combinação de prismas verticais adjacentes simulando fontes rasas e profundas. Os corpos rasos modelam corpos intracrustais tendo contraste de densidade de 0,2 g/cm³, profundidade do topo entre 10 e 15 km, com uma espessura de 2,5 km. As fontes profundas simulam a interface crosta-manto com contraste de densidade de 0,4 g/cm³, e profundidade do topo entre 27,5 e 30 km.

Exemplos de separação regional-residual por ajuste de polinômios usando dados sintéticos, pressupõe a hipótese simpli ficadora de que o campo regional verdadeiro é um polinômio de grau 1, 2 ou 3 (Rao et al., 1975; Abdelrahman et al.,1985). truturas geológicas comuns, no entanto, produzem campos regionais muito mais complexos, de tal modo que as distorções presen tes no regional ajustado são certamente muito piores do que aqueles usualmente relatados. Com o objetivo de ilustrar este ponto, ajustamos aos dados mostrados na Figura la polinômios de graus 3 a 6 usando o método dos mínimos quadrados. Os resultados são mostrados nas Figuras lc a lf, respectivamente. A Figu ra la combina um campo regional (Figura lb) e um campo residual contaminado com ruído Gaussiano com média nula e desvio padrão de 0,3 mGal. É visto que a forma do campo regional ajustado começa a se aproximar da forma do regional verdadeiro para um polinômio de grau 5, mas ao mesmo tempo cresce a influência do residual no regional ajustado. Este exemplo mostra que mesmo o campo de uma feição simples tal como um arqueamento suave da in terface crosta-manto não pode ser modelada satisfatoriamente por um polinômio de grau 3. Descontinuidades da interface cros

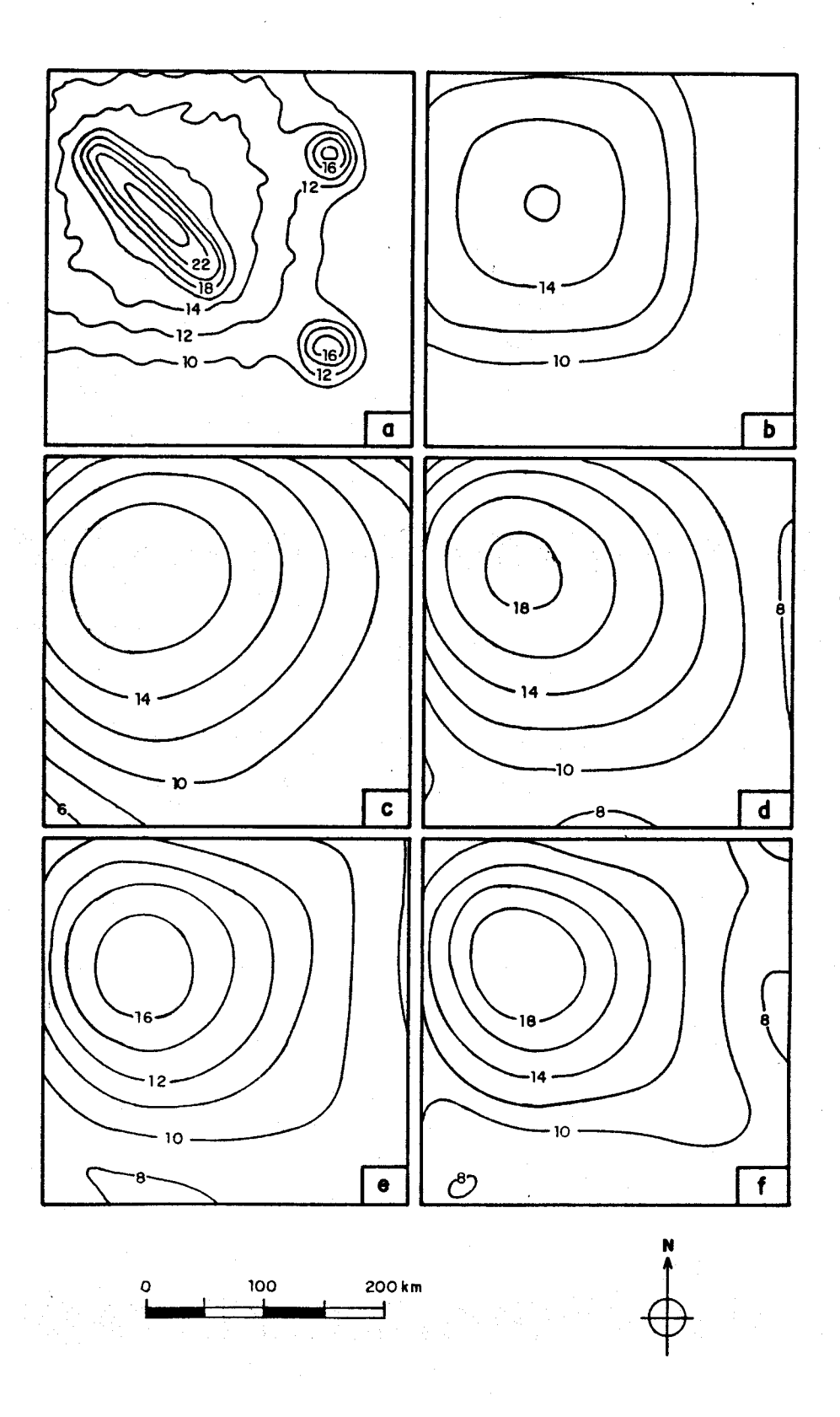


Fig. 1 — Campo gravimétrico sintético (a) obtido pela superposição de um campo regional (b) com um campo residual contaminado com ruído aleatório, e polinomios de graus 3 (c), 4 (d), 5 (e) e 6 (f) ajustados ao campo sintético (a) pelo método dos mínimos quadrados. Intervalo de contorno 2 mGal.

ta-manto são possivelmente ainda mais complexas do que aquela empregada para simular o campo regional da Figura 1b (Browne et al.,1985; Ritz e Robineau, 1986; Galson e Mueller, 1986).

No teste seguinte usamos um procedimento robusto no qual a matriz de pesos da equação (11) foi escolhida como

$$-\left[\frac{0.6745 - r_{i}^{(\kappa-4)}}{s^{(\kappa-4)}}\right]^{2}$$
w - e , (12)

onde s^(k-1) é a mediana dos valores absolutos dos resíduos na iteração de ordem k-1, e a constante 0,6745 foi utilizada com o objetivo de tornar s^(k-1) um estimador consistente do desvio padrão no caso de observações contaminadas por ruído Gaussiano (Anderson, 1982). A Figura 2a mostra o peso normalizado w em função do valor absoluto do resíduo onde os pesos do procedimen to robusto definidos através da equação (12), para um valor típico de 0,23 para s, são comparados com aqueles empregados no método dos mínimos quadrados. Nos mínimos quadrados, todas as observações têm o mesmo grau de importância, independente do va lor do resíduo produzido. O procedimento robusto, por outro la do, atribui grande importância somente para observações que for necem pequenos valores residuais. Observações contendo uma alta percentagem do campo residual são virtualmente excluídas do processo de ajuste.

Testes usando os pesos da equação (12) produziram resultados muito melhores quando comparados com os mínimos quadra dos. No entanto, ainda persistiram pseudo-anomalias no mapa residual e as amplitudes das anomalias residuais foram menores do que os valores verdadeiros. Isto ocorreu porque, ao longo do

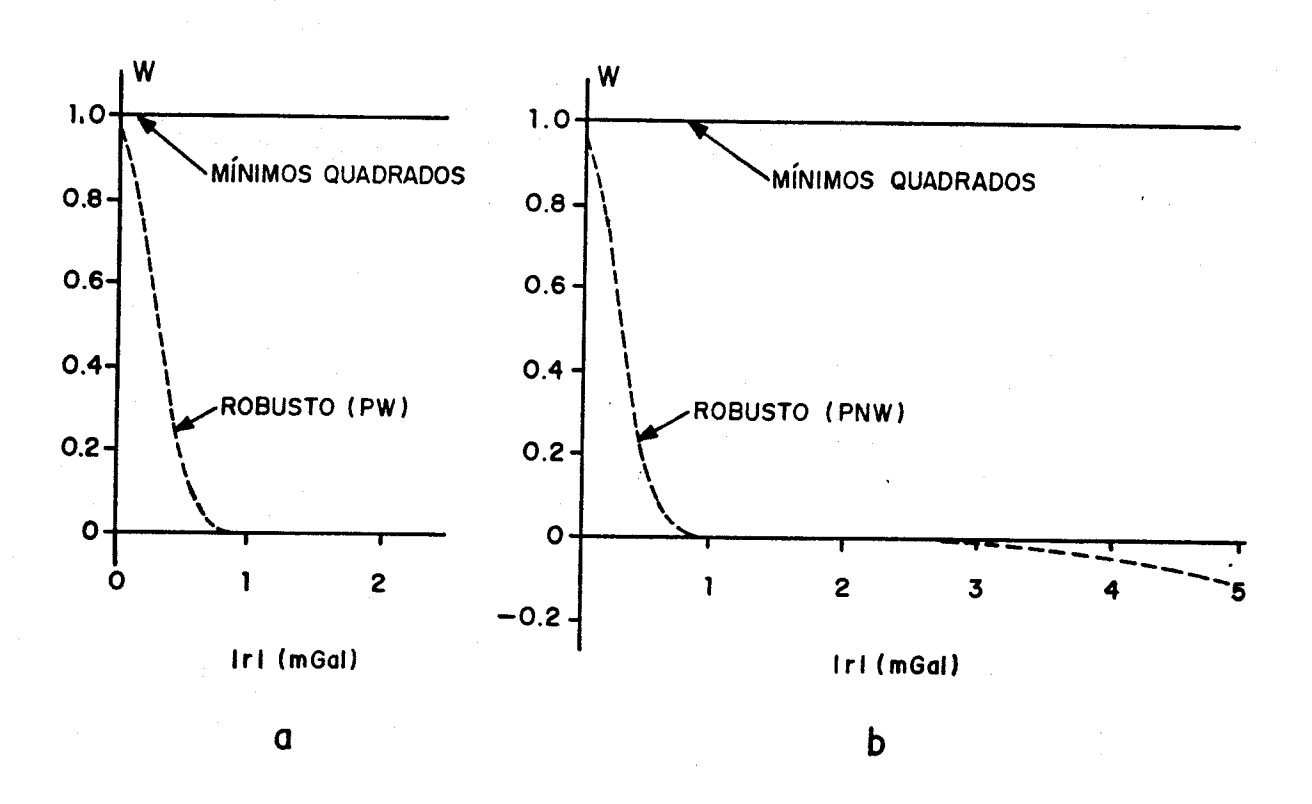


Fig. 2 — Pesos normalizados em função do valor absoluto do resíduo para o método dos mínimos quadrados e o método proposto usando (a) pesos estritamente positivos, e (b) pesos positivos e negativos.

processo iterativo, uma observação produzindo um resíduo alto inicialmente é associada a um peso pequeno no processo de ajus te do regional, produzindo um resíduo ainda maior, e assim por diante. Uma vez que a função-peso selecionada decresce rapidamente com o aumento do valor do resíduo e, especialmente, porque ela tem um limite inferior (zero), o processo de crescimento do resíduo é virtualmente forçado a uma parada prematura. Por exemplo, observações produzindo resíduos com valores absolutos de 1,5 e 2,0 estão associadas a pesos de aproximadamente 7,71 x 10 e 2,26 x 10 , respectivamente. Embora a diferença entre esses dois pesos seja de 5 ordens de magnitude, eles são virtualmente zero quando comparados com pesos próximos da unidade associados a observações que produzem resíduos muito pe quenos.

Com o objetivo de reduzir este obstáculo, usamos outra matriz de pesos definida como

$$v_i^{(k)} = e$$
, $t < 5,48$, (13a)

е

$$w_i^{(k)} = -A \left(\frac{t - 5,48}{r_{MAX}}\right)^2$$
, $t \geqslant 5,48$, (13b)

onde

$$t = \frac{0,6745 r_i^{(\kappa-1)}}{s^{(\kappa-1)}},$$

r_{MAx} é o máximo valor absoluto do resíduo na iteração de ordem k-1, e A é um fator de amplitude fixado no valor de 0,1 nos tes tes apresentados neste trabalho. O limiar 5,48 foi escolhido porque corresponde a um peso virtualmente nulo na equação (13a)

A Figura 2b compara os pesos definidos pelas equações (13a) e (13b), para um valor típico de 0,23 para s, com aqueles empregados no método dos mínimos quadrados. As observações que produzem resíduos maiores do que 1,85 serão associados pesos ne gativos, isto é, elas "empurram" a superfície regional em vez de "puxá-la". O uso de pesos negativos no ajuste de dados não é comum, e pelo nosso conhecimento só foi sugerido por Tukey (1965).

A partir de agora, nos referiremos ao método robusto usando os pesos estritamente positivos definidos na equação (12), como PW e àquele usando pesos tanto positivos como negativos, definidos nas equações (13a) e (13b), como PNW.

Nos testes efetuados, o resultado obtido após a convergência do método PW é usado como aproximação inicial para o processo iterativo usando o método PNW. Como os pesos negativos não tem limite inferior, o processo tenderá, eventualmente, a associar pesos negativos altos para todas as observações. Co mo interessam apenas os valores relativos dos pesos esta situação é aproximadamente equivalente ao uso dos mínimos quadrados simples. Neste ponto, os resíduos voltarão a ser pequenos e o processo se comportará fundamentalmente como PW. O processo i-

terativo, portanto, terá um comportamento oscilatório e consequentemente, um critério de parada diferente daquele descrito para PW deve ser adotado. A solução produzida pelo processo iterativo de PNW é aquela fornecida pela k-ésima iteração onde uma das seguintes condições ocorrem: a) a razão entre os resíduos máximos da k-ésima primeira e da k-ésima iterações é maior do que 1,3; b) quando a mediana do valor absoluto do resíduo aumentar sucessivamente por três vezes a partir da k-ésima iteração.

Aplicamos o método PNW proposto, para separação de campos devidos a: a) fontes regionais bidimensionais (2-D) e fontes residuais tridimensionais (3-D) (Modelo # 1); b) fontes regionais 3-D e fontes residuais 2 1/2-D (a denominação 2 1/2-D foi criada por Shuey e Pasquale, 1973) (Modelo # 2); c) fontes regionais 3-D e fontes residuais 3-D (Modelo # 3). Com o propó sito de comparação, apresentamos também os resultados usando mínimos quadrados simples, o método robusto PW, o método espectral de Syberg (1972), e o ajuste de polinômios ortogonais (Ralston e Rabinowitz, 1978).

Modelo # 1

A Figura 3a mostra a anomalia gravimétrica total (regional mais residual) contaminado com ruído Gaussiano aditivo com média nula e desvio padrão de 0,3 mGal. As Figuras 3b e 4a mostram os campos teóricos regional e residual, respectivamente. O campo regional foi modelado por um polinômio de grau 6 pelos métodos dos mínimos quadrados, PW e PNW e os resultados são mostrados nas Figuras 3c, 3d e 3e, respectivamente. O cam-

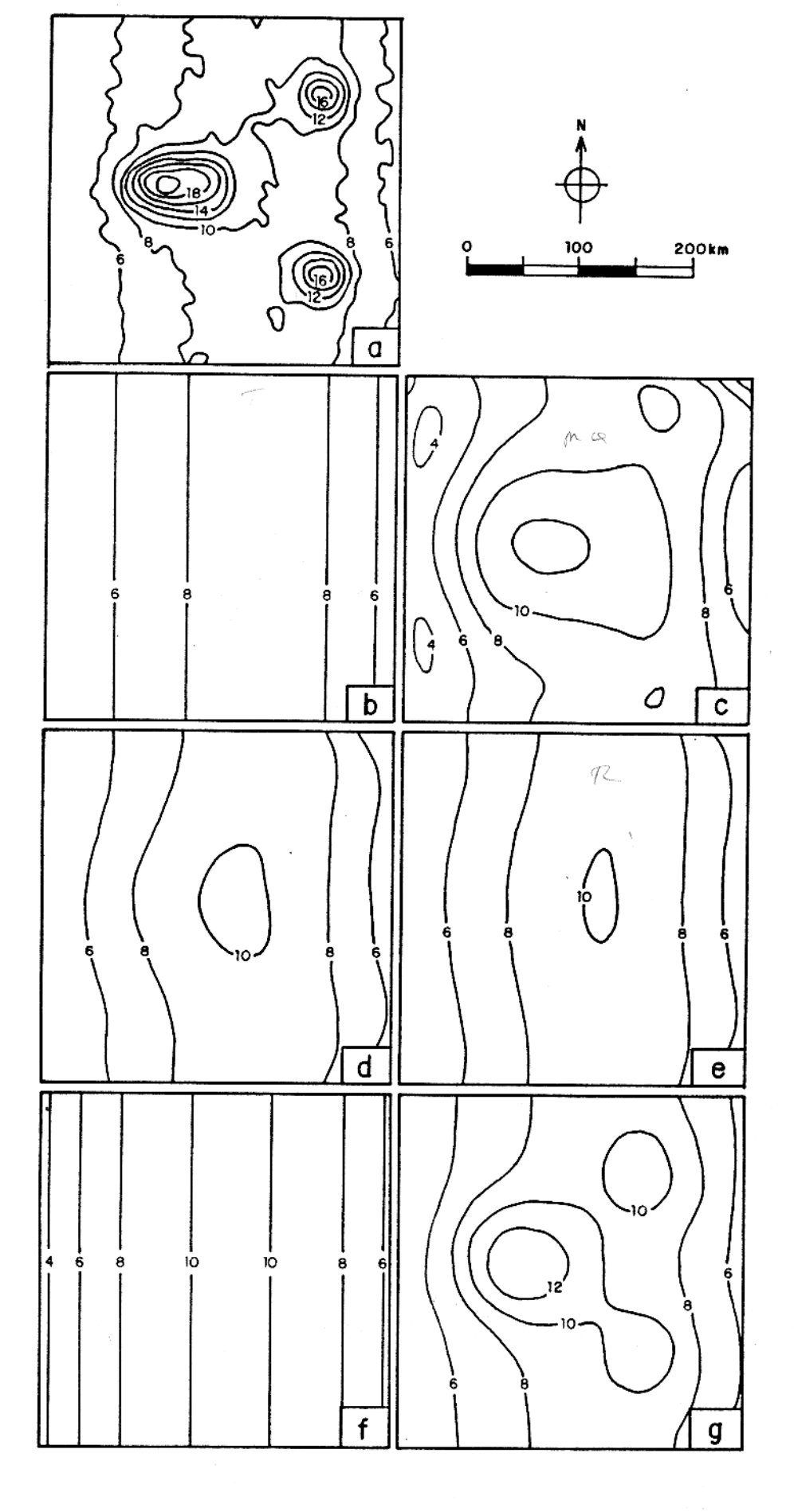


Fig. 3 — Comparação entre regionais obtidos por diferentes métodos de separação aplicados ao campo sintético (a) do Modelo # 1, resultante da superposição do regio nal teórico (b), do residual teórico (Figura 4a), e de ruído aleatório. (c) Minimos quadrados, (d) PW, (e) PNW, (f) polinômios ortogonais de graus 1 na direção N-S e 3 na direção E-W, e (g) método espectral. Intervalo de contorno — 2mGal.

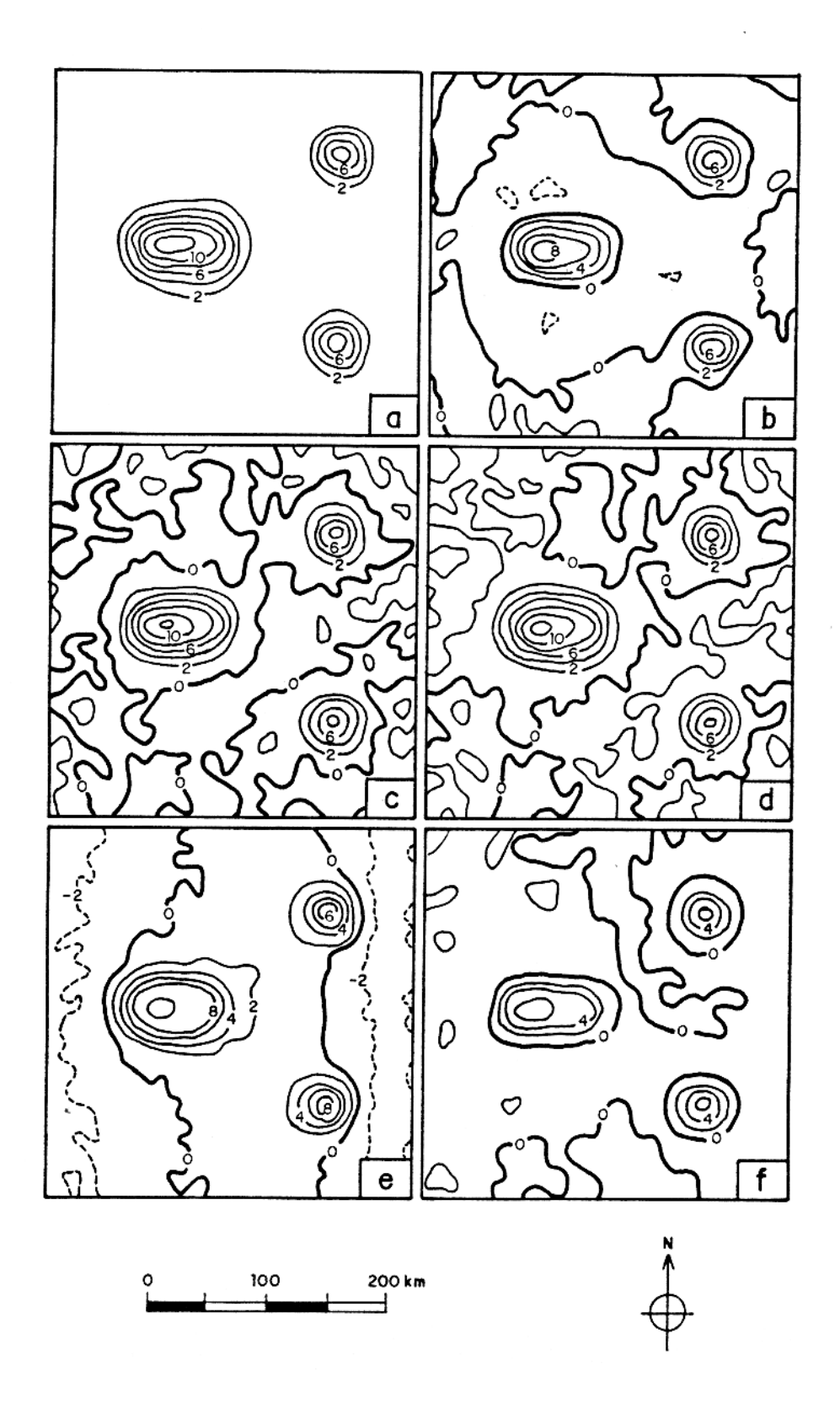


Fig. 4 — Comparação entre residuais obtidos pela subtração dos diferentes regionais, mostrados na figura 3, do campo sintético do Modelo # 1 (Figura-3a). (a) Residual teórico, (b) minimos quadrados (c) PW, (d) PNW, (e) polinomios ortogonais de graus 1 na direção N-S e 3 na direção E-W, e (f) método espectral. Intervalo de contorno 2 mGal.

po regional obtido pelo método dos mínimos quadrados mostra um campo completamente distorcido comparado com o campo teórico da Figura 3b. A característica unidimensional do campo regional não é sequer sugerida pela superfície ajustada. A principal causa desta distorção, evidenciada pela presença de um alto pro nunciado no centro da figura, indica que parte do residual foi incorporada ao regional ajustado. Anomalias espúrias nas bordas (particularmente na borda leste) contribuem ainda mais para a deformação do campo ajustado.

Os regionais obtidos pelos métodos PW e PNW, por outro lado, são menos distorcidos. Em particular, o método PNW mostra uma influência mínima da anomalia residual de alta amplitude no centro. Além disso, anomalias espúrias estão absolutamente ausentes. Como resultado, a amplitude, o gradiente e, so bretudo, a característica unidimensional do regional verdadeiro foram conservados.

A Figura 3f mostra o regional obtido pelo ajuste do campo da Figura 3a por polinômios ortogonais através do método dos mínimos quadrados. A principal vantagem dos polinômios ortogonais é a independência de graus nas direções x e y. Neste exemplo, usamos grau l em x (N-S) e 3 em y (E-W). O campo ajus tado é muito melhor do que aquele produzido por polinômios não ortogonais (Figura 3c). A característica unidimensional do regional verdadeiro é imposta ao regional ajustado pela escolha do grau l na direção x. A amplitude e o gradiente, no entanto, não são tão bons quanto àqueles obtidos pelo método PNW. Aumentando o grau do polinômio na direção y, aparecem distorções ainda maiores na amplitude e gradiente devido à incorporação do campo residual na superfície ajustada.

A Figura 3g mostra o campo regional obtido a partir

da Figura 3a com o método espectral de Syberg (1972). Neste ca so, ele é um pouco menos distorcido por anomalias espúrias com parado com os mínimos quadrados (Figura 3c), especialmente nas bordas, onde a característica unidimensional do regional verdadeiro é aproximadamente mantida. Na parte central, no entanto, ocorre uma notável distorção causada pela transmissão de parte do residual no regional calculado. Isso ocorre devido à super posição dos espectros do regional e do residual, o que impede uma completa separação dos campos.

Os campos residuais neste teste são obtidos pela sub tração de cada regional calculado, descrito anteriormente, do campo total da Figura 3a. Os resultados são mostrados na Figura 4. A anomalia residual obtida pelo método dos mínimos quadrados (Figura 4b) apresenta notável perda de amplitude compara da com o residual teórico da Figura 4a. Além disso, a anomalia principal do centro apresenta-se muito estreita na direção N-S e é circundada por um halo descontínuo de anomalias espúrias ne gativas. Ao contrário, as anomalias produzidas pelos métodos PW e PNW (Figuras 4c e 4d, respectivamente) apresentam somente uma ligeira perda de amplitude. Além disso, a largura da anoma lia central é virtualmente preservada e as amplitudes das anomalias espúrias negativas são menores do que aquelas presentes na Figura 4b.

A Figura 4e mostra o residual correspondente ao regional obtido pelo ajuste de polinômios ortogonais da Figura 3f. A amplitude da anomalia central é próxima do valor verdadeiro comparada com o residual dos mínimos quadrados (Figura 4b), mas não tão boa quanto àquela obtida pelo método PNW. A largura desta anomalia é também intermediária entre os valores produzidos pelos métodos dos mínimos quadrados e PNW.

A Figura 4f apresenta o campo residual obtido pelo método espectral de Syberg. Quando comparado com os mínimos quadrados, a perda na amplitude de todas as anomalias é sempre mais acentuada, mas a amplitude das anomalias espúrias negativas são menores. A largura da anomalia principal ao longo da direção N-S é aproximadamente a mesma para ambos os métodos.

Modelo # 2

A Figura 5a mostra a anomalia gravimétrica total (re gional mais residual) contaminada com ruído Gaussiano aditivo com média nula e desvio padrão de 0,3 mGal. As Figuras 5b e 6a mostram os campos teóricos regional e residual, respectivamente. O campo regional foi modelado por um polinômio de grau 6 pelos métodos dos mínimos quadrados e PNW, e os resultados são mostrados nas Figuras 5c e 5d, respectivamente. O regional estimado pelo método dos mínimos quadrados, é bastante distorcido, podendo-se observar o aparecimento de uma falsa orientação NW-SE, principalmente na porção NW, bem como o aparecimento de uma ligeira tendência na direção NE-SW na porção NE. Estes efeitos são devidos à incorporação das duas anomalias residuais, de contraste de densidade positivo, na superfície ajustada. Por outro lado, o campo regional obtido pelo método PNW (Figura é mais próximo do regional verdadeiro (Figura 5b), pois so fre uma influência mínima das anomalias residuais, representada pela menor extensão da pseudo-anomalia da porção SE. A amplitu tude do regional ajustado apresenta uma amplitude máxima bem mais próxima da verdadeira, observando-se o desaparecimento de falsas orientações, com a conseqüente manutenção da forma geral

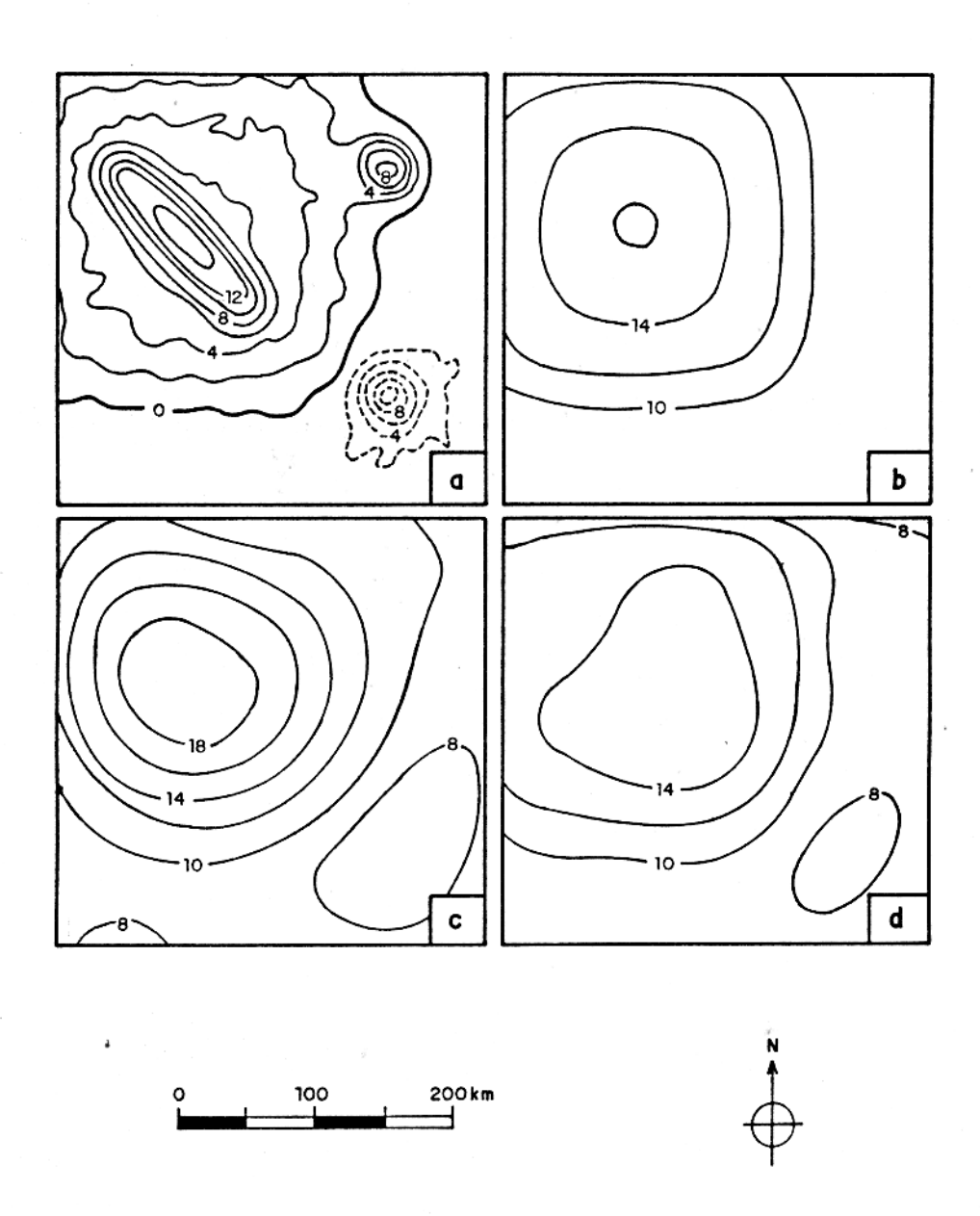


Fig. 5 — Comparação entre regionais obtidos por diferentes métodos de separa—
ção aplicados ao campo sintético (a) do Modelo # 2, resultante da su—
perposição do regional teórico (b), do residual teórico (Figura 6a), e de
ruido aleatório. (c) Mínimos quadrados e (d) PNW. Intervalo de contorno
2mGal.

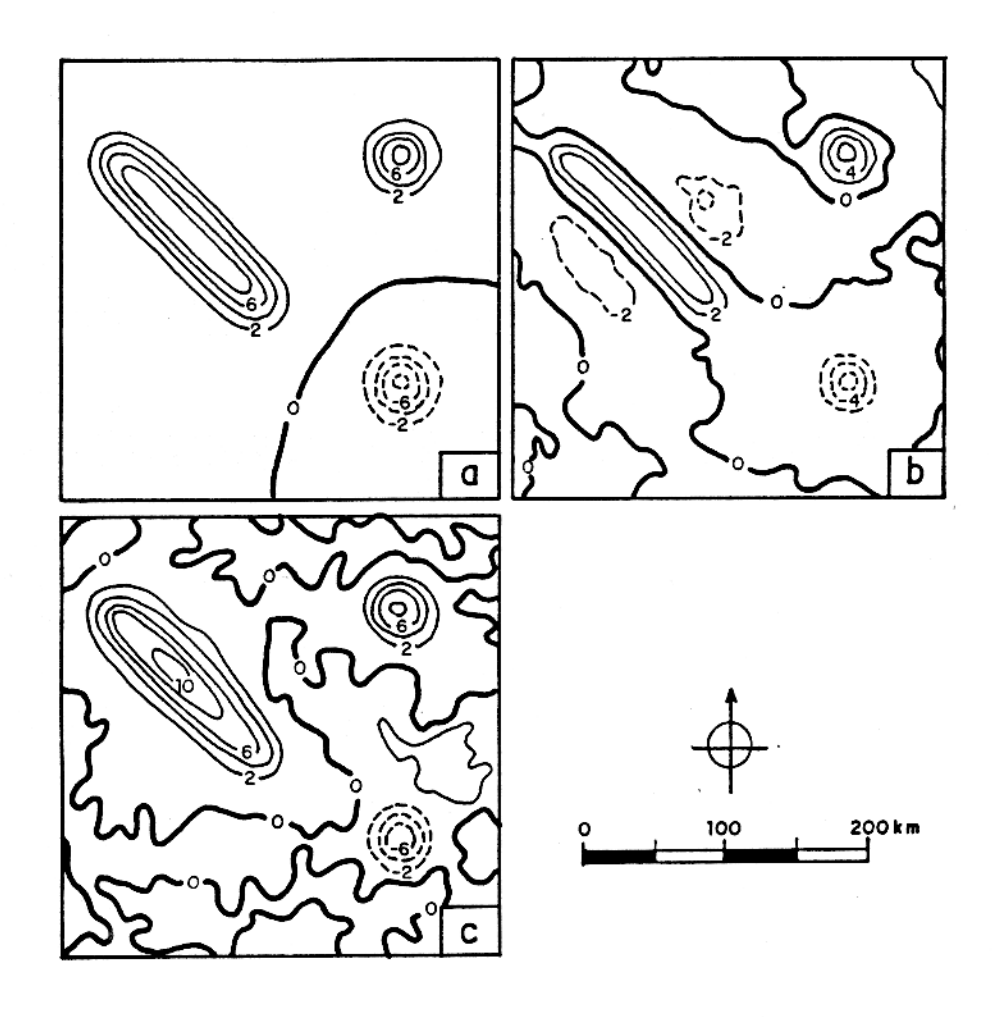


Fig. 6 — Comparação entre residuais obtidos pela subtração dos diferentes regionais, mostrados na Figura 5, do campo sintético do Modelo #2 (Figura 5a), (a) — Residual teórico, (b) minimos quadrados e (c) PNW, Intervalo de contorno — 2 mGal.

do campo.

Os residuais, que são obtidos subtraindo-se do campo total (Figura 5a) os regionais correspondentes produzidos pelos métodos acima descritos, são mostrados nas Figuras 6b e 6c. No caso dos mínimos quadrados (Figura 6b), as anomalias mostram substancial perda de amplitude. Além disso, ocorrem anomalias espúrias negativas nos flancos NE e SW da anomalia alongada, a qual torna-se bem mais estreita que a anomalia residual teórica. As anomalias menores das porções NE e SE apresentam menor diâmetro quando comparadas com o residual teórico.

O residual obtido pelo método PNW, por sua vez, exibe uma aproximação muito boa da anomalia teórica, uma vez que o corre a recuperação das amplitudes tanto das anomalias positivas como da negativa, da largura da anomalia alongada e do diâmetro das duas anomalias menores. Além disso, as anomalias espúrias negativas são totalmente eliminadas.

Modelo # 3

A Figura 7a mostra a anomalia gravimétrica total (regional mais residual) contaminada com ruído Gaussiano aditivo com média nula e desvio padrão de 0,3 mGal. As Figuras 7b e 8a mostram os campos teóricos regional e residual, respectivamente. O campo regional foi modelado por um polinômio de grau 9 pelos métodos dos mínimos quadrados, PW e PNW e os resultados são mostrados nas Figura 7c, 7d e 7e, respectivamente. O campo regional produzido pelo método dos mínimos quadrados é drásticamente distorcido nas proximidades das porções nordeste e noroeste, devido à incorporação das duas anomalias residuais à

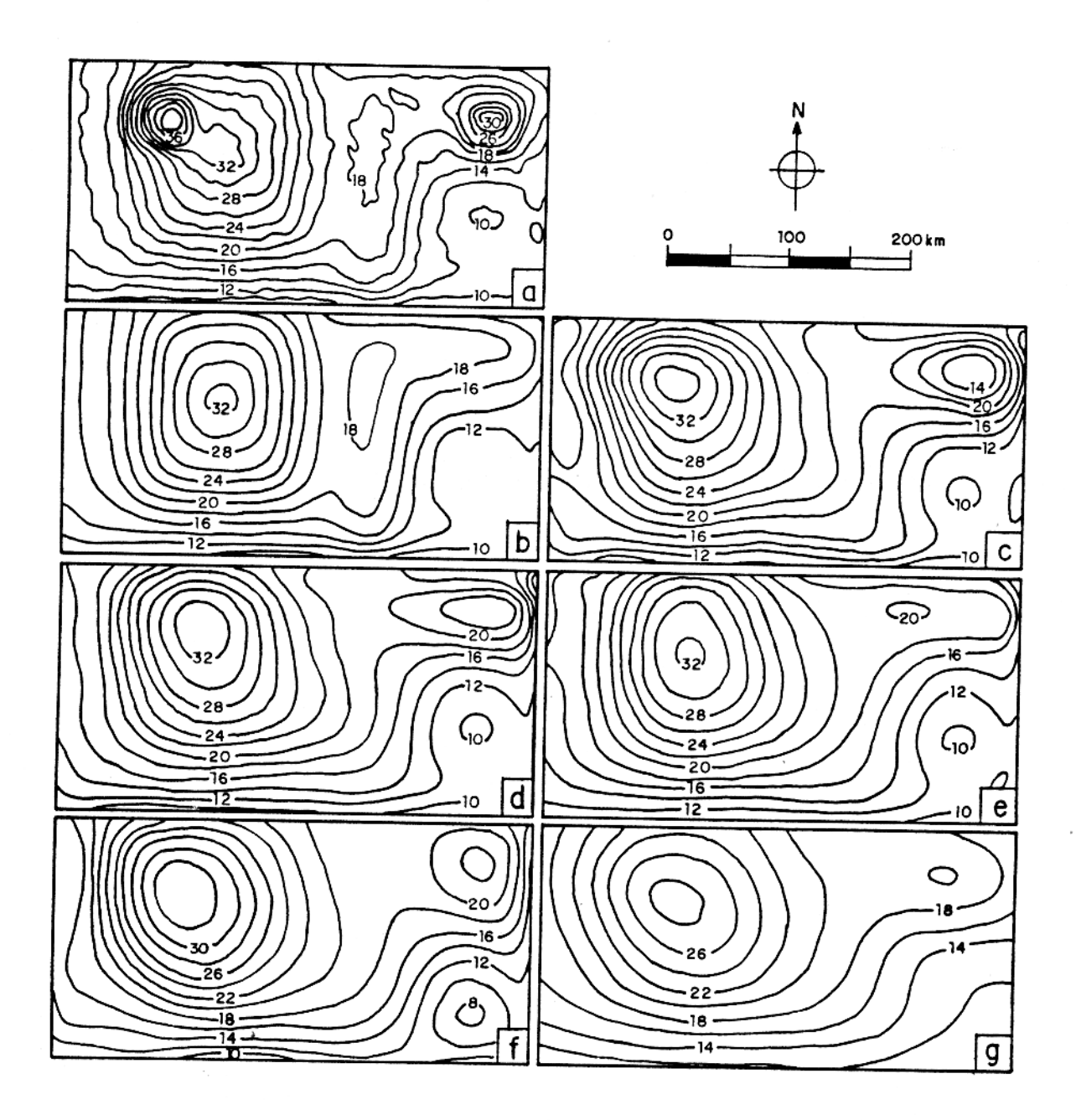


Fig. 7 — Comparação entre regionais obtidos por diferentes métodos de separação aplicados ao campo sintético (a) do Modelo # 3, resultante da superposição do regional teórico (b), do residual teórico (Figura 8a), e de ruído aleatório. (c) Mínimos quadrados, (d) PW, (e) PNW, (f) polinômios ortogonais de graus 4 — na direção N-S e 9 na direção E-W e (g) metodo espectral. Intervalo de — contorno 2mGal.

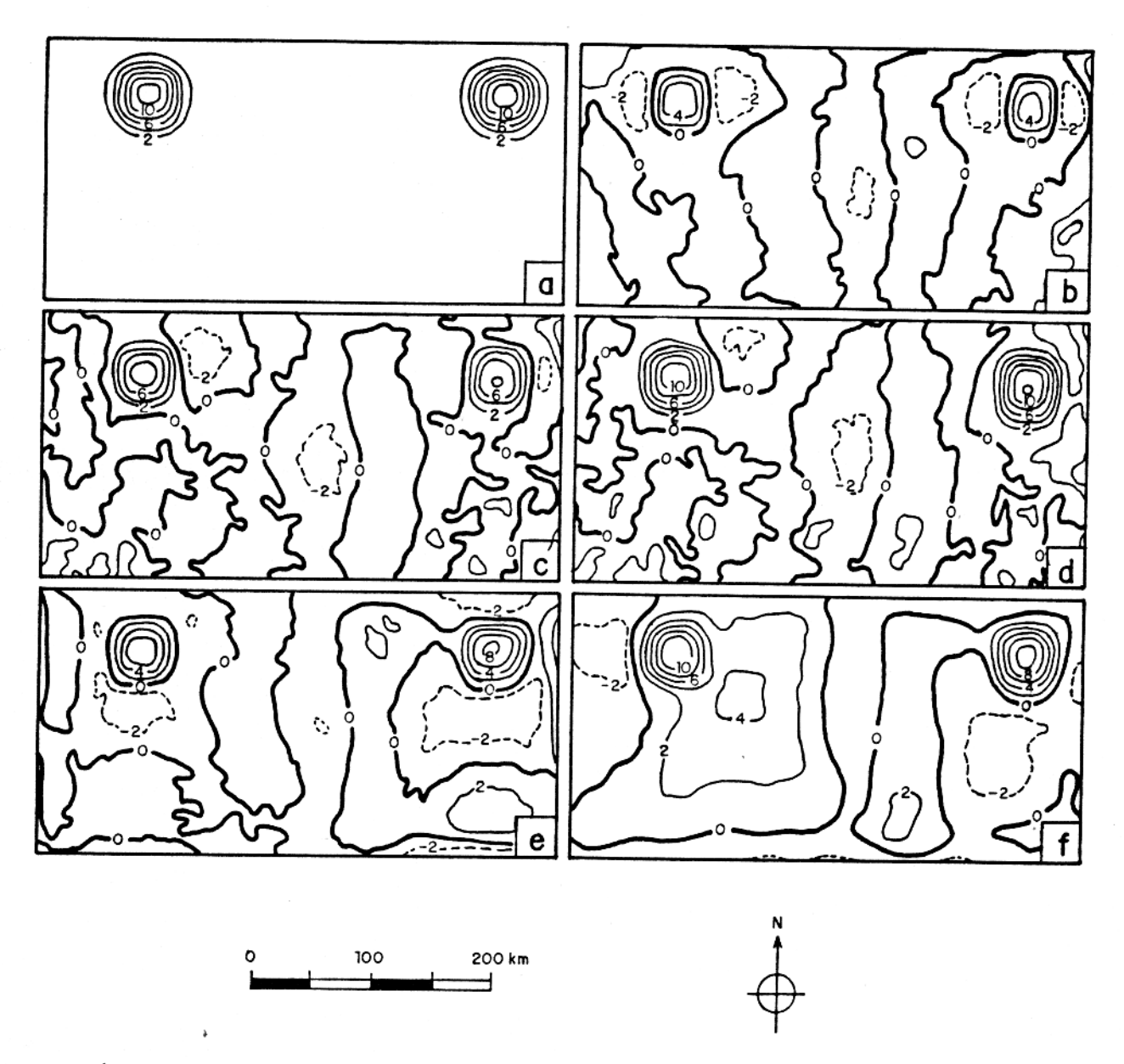


Fig. 8 — Comparação entre residuais obtidos pela subtração dos diferentes regionais, mostrados na Figura 7, do campo sintético do Modelo # 3 (Figura 7a),—
(a) Residual teórico, (b) mínimos quadrados, (c) PW, (d) PNW, e polinōmios ortogonais de graus 4 na direção N-S e 9 na direção E-W, e (f) método espectral. Intervalo de contorno 2mGal.

superfície ajustada. Na porção NE, isto é mostrado pela presença de uma grande anomalia espúria. Na porção NW, a incorporação da anomalia residual no regional não produz uma anomalia isolada por causa da grande anomalia regional. Isto cria, no entanto, distorções no gradiente, com características locais, que produz o aparecimento de uma falsa orientação NW-SE na prin cipal anomalia do regional estimado.

Por outro lado, o campo regional obtido pelo método PW exibe uma menor influência das anomalias residuais, denotada pela menor amplitude da pseudo-anomalia na porção nordeste e por um gradiente suave na porção noroeste. É o método PNW, no entanto, que produz o campo regional (Figura 7e) mais próximo do campo verdadeiro (Figura 7b). A principal distorção, na porção centro-leste é provavelmente devida ao grau do polinômio ajustante ser ainda baixo. A superfície polinomial ajustada de grau 9 não é capaz de levar em consideração finos detalhes do regional teórico, tais como um extenso baixo de 40 km de largura na porção centro-leste, alongado na direção N-S.

A Figura 7f mostra o regional calculado usando polinômios ortogonais com graus 4 e 9 nas direções N-S e E-W, respectivamente. Em geral, ele é ligeiramente melhor do que o mé
todo dos mínimos quadrados usando polinômios não ortogonais de
grau 9, considerando a influência de ambas as anomalias residuais. A feição linear E-W da porção nordeste do regional verdadeiro é, no entanto, pobremente definida e, sobretudo, um
grande baixo espúrio é introduzido na porção sudeste.

A Figura 7g representa o campo regional obtido pelo método espectral de Syberg. Ele define somente no geral, feições suavizadas do regional verdadeiro, com uma distorção substancial no gradiente, forma e amplitude das anomalias.

Os residuais, que são obtidos subtraindo-se do campo total (Figura 7a) os regionais correspondentes produzidos pelos métodos acima descritos, são mostrados nas Figuras 8b a 8f. No caso dos mínimos quadrados (Figura 8b), ambas as anomalias residuais mostram uma perda considerável de amplitude. Além do mais, ocorrem anomalias espúrias negativas nas bordas leste e oeste de cada anomalia. Sobretudo, as anomalias positivas, calculadas, são mais estreitas tanto na direção x como na direção y, quando comparadas com a anomalia teórica.

O método PW (Figura 8c), mostra uma melhora nas amplitudes do residual calculado que são, no entanto, apenas a metade da amplitude verdadeira. Anomalias espúrias negativas estão presentes, embora mais limitadas, em comparação aos mínimos quadrados. É o método PNW (Figura 8d), no entanto, que produz o melhor residual calculado. As amplitudes, gradientes e larguras das anomalias residuais estão muito próximas dos valores verdadeiros. Além disso, as anomalias espúrias negativas são removidas ou mantidas afastadas das anomalias positivas.

A Figura 8e mostra o residual correspondente ao regio nal obtido pelo ajuste de polinômio ortogonal de graus 4 e 9 nas direções N-S e E-W, respectivamente. Em relação aos mínimos quadrados ocorre uma melhora nas amplitudes e larguras das anomalias residuais calculadas. Notam-se, entretanto, pronunciadas anomalias espúrias positivas e negativas na direção N-S, particularmente na porção leste, provavelmente devido ao grau do polinômio ao longo da direção N-S ser muito baixo.

A Figura 8f representa o residual obtido pelo método espectral de Syberg. As amplitudes, gradientes e larguras das anomalias residuais calculadas estão bem de acordo com os valores teóricos, embora não tão boas quanto as do método PNW. O-

correm, entretanto, grandes anomalias espúrias negativas circun dando as principais anomalias residuais positivas. Além disso, a presença de grandes anomalias espúrias positivas distorce ain da mais o mapa. Estas anomalias positivas estão claramente associadas ao campo regional, o qual, neste caso, foi incorporado ao campo residual calculado. Isto é causado pela superposição dos espectros dos dois campos, que impede uma exata separação por este método.

2.4 - Conclusões

Estudamos a separação regional-residual de dados gravimétricos, através de ajuste de polinômios por um método robus to com o objetivo de minimizar a influência de observações contendo forte contribuição do campo residual no ajuste do campo regional.

Pelos resultados obtidos nos testes com dados sintéticos, verificamos que a utilização de um método robusto, que admite pesos negativos (método PNW) no cálculo do polinômio ajustante, produz campos residuais com amplitude, forma e gradiente
muito mais próximos dos valores reais quando comparado ao método dos mínimos quadrados simples. Além disso, este novo método
não introduz anomalias espúrias de sinais contrários permitindo
aproximar campos regionais complexos, que podem ser, posteriormente, modelados quantitativamente, uma vez que a transmissão
do ruído é minimizada pelo procedimento robusto. O modelamento de campos regionais complexos é importante quando se presume/que o regional é causado pela interface crosta-manto, que
pode apresentar feições que só podem ser modeladas com polinô-

mios de graus relativamente altos (maior do que 6).

O uso de polinômios ortogonais com diferentes graus nas direções x e y, produzem boas aproximações de campos regionais devidos a fontes bidimensionais. No entanto, o método requer o conhecimento a priori não só que a fonte regional é bidimensional como também da orientação da fonte, de modo a fazêla coincidir com uma das direções coordenadas. O método PNW por sua vez produz, neste caso, aproximações muito boas do campo regional sem a necessidade de tais informações a priori. O método dos mínimos quadrados simples produz estimativas muito distorcidas do campo regional, não recuperando sequer a sua característica unidimensional.

A separação regional-residual utilizando o método espectral (Syberg, 1972) leva, em geral, ao aparecimento de pseudo-anomalias significativas, além da perda de amplitude a deformação do campo residual, enquanto que a perda de amplitude e a deformação do campo regional foram também bastante significativas. As deformações de ambos , regional e residual, se devem principalmente à superposição espectral destes dois tipos de a nomalias, particularmente no caso de fontes com características bidimensionais.

3 - METODO DE INTERPRETAÇÃO DA COMPONENTE REGIONAL DO CAMPO GRAVIMETRICO

3.1 - Introdução

O estudo de feições profundas da crosta terrestre é de grande importância na caracterização dos processos geológicos de escala global, só podendo, no entanto, ser efetuado atra vés de métodos indiretos. Dentre estas feições destaca-se a in terface crosta-manto, onde as heterogeneidades laterais de densidade devidas às irregularidades desta interface e à descontinuidade de densidade entre a crosta e o manto causam anomalias do campo gravimétrico.

O problema da determinação das profundidades de uma interface que separa dois meios homogêneos de densidades constantes foi formulado por Bott (1960) através da aproximação do volume acima da interface por um conjunto de prismas verticais justapostos, cujas espessuras representam as profundidades da interface. O número de prismas coincide com o número de observações de modo que o centro de cada prisma está localizado dire tamente abaixo de cada observação. Este problema é não linear e é resolvido iterativamente como descrito a seguir. A aproximação inicial da espessura do i-ésimo prisma, é obtida através do cálculo da espessura de uma placa uniforme necessária para reproduzir a i-ésima observação. A cada iteração, a espessura de cada prisma é corrigida por tentativa e erro através da ins peção dos resíduos. O processo iterativo termina quando os resíduos estão abaixo de um valor pré-estabelecido.

A abordagem apresentada por Oldenburg (1974) é basea

da na fórmula de Parker (1973) que relaciona a transformada Fourier do campo gravimétrico com uma série infinita de transformadas de Fourier de potências crescentes da função h(x,y) que descreve as profundidades da interface. A transformada Fourier de h(x,y) que aparece no primeiro termo da série é, en tão, explicitada em termos da transformada de Fourier do campo gravimétrico e dos outros termos da série envolvendo as transformadas de Fourier das potências de h(x,y) superiores a 1. Da da uma aproximação de h(x,y), ela é empregada para calcular a série envolvendo as transformadas das potências de h(x,y) iguais ou superiores a 2, que, combinada com a transformada do campo, produz uma nova aproximação de h(x,y). O processo itera é inicializado fazendo h(x,y) = 0. Oldenburg (1974) e Granser (1986) apresentam critérios para convergência do proces O método descrito exige o cálculo da continuação para baixo do campo gravimétrico, que é uma operação que acentua os nú meros de onda altos de maneira muito drástica, demandando assim o emprego de um filtro passa-baixa para impedir a amplificação das componentes de altos números de onda do ruído. Este procedimento, por sua vez, é contraditório com o próprio objetivo do método, que consiste na obtenção de feições da interface caracterizadas por maiores números de onda.

Gerard e Debeglia (1975) calculam a profundidade de uma interface, em relação a um nível de referência, através da razão entre uma distribuição superficial de densidade obtida a partir do campo continuado para o nível de referência e o contraste real de densidade. Para este procedimento é necessário conhecer tanto o nível de referência como o contraste de densisidade. Estes parâmetros são obtidos através do estudo estatís tico do espectro de potência do campo. A função h(x,y) que des

creve as profundidades da interface é calculada através da razão entre a aproximação do campo gravimétrico continuado para baixo e uma constante envolvendo o contraste de densidade. A aproximação do campo gravimétrico continuado para baixo é obtida pela soma do campo observado na superfície com o produto entre a profundidade do nível de referência e o gradiente vertical (conhecido) do campo gravimétrico. Dada uma aproximação inicial para a profundidade do nível de referência, uma estimativa preliminar da função h(x,y) é obtida através do procedimento descrito acima. O campo gravimétrico produzido por esta função é então calculado e o resíduo entre este campo e as observações é avaliado. Caso o ajuste não seja satisfatório h(x,y) é corrigido iterativamente até os resíduos cairem abaixo de um valor pré-estabelecido.

O objetivo deste trabalho é apresentar um método para determinação da topografia de uma interface, através da transformação do campo gravimétrico em um mapa de distâncias verticais em relação a um nível de referência, empregando opera cões lineares apenas. Esta transformação é efetuada em duas etapas. Na primeira, a continuação para baixo do campo gravimétrico é obtida no nível de referência, que juntamente com o contraste real de densidade são pressupostos conhecidos. Na se gunda, o mapa de continuação para baixo é transformado em mapa de distâncias verticais entre o nível de continuação (toma do como nível de referência) e a interface, através de soma multiplicação por constantes conhecidas. Este procedimento presenta duas dificuldades. A primeira está ligada à obtenção do campo continuado, cujo operador teórico se caracteriza pela extrema amplificação nos altos números de onda, havendo portanto a necessidade do emprego de um filtro atenuador nos

números de onda, o que acarreta perda de resolução das feições. A segunda, inerente aos métodos de campos potenciais, consiste na impossibilidade da determinação das profundidades absolutas da interface em cada ponto, bastando entretanto o conhecimento da profundidade absoluta em um ponto, através de informação independente, para que todas as outras profundidades absolutas se jam determinadas.

3.2 - Metodologia

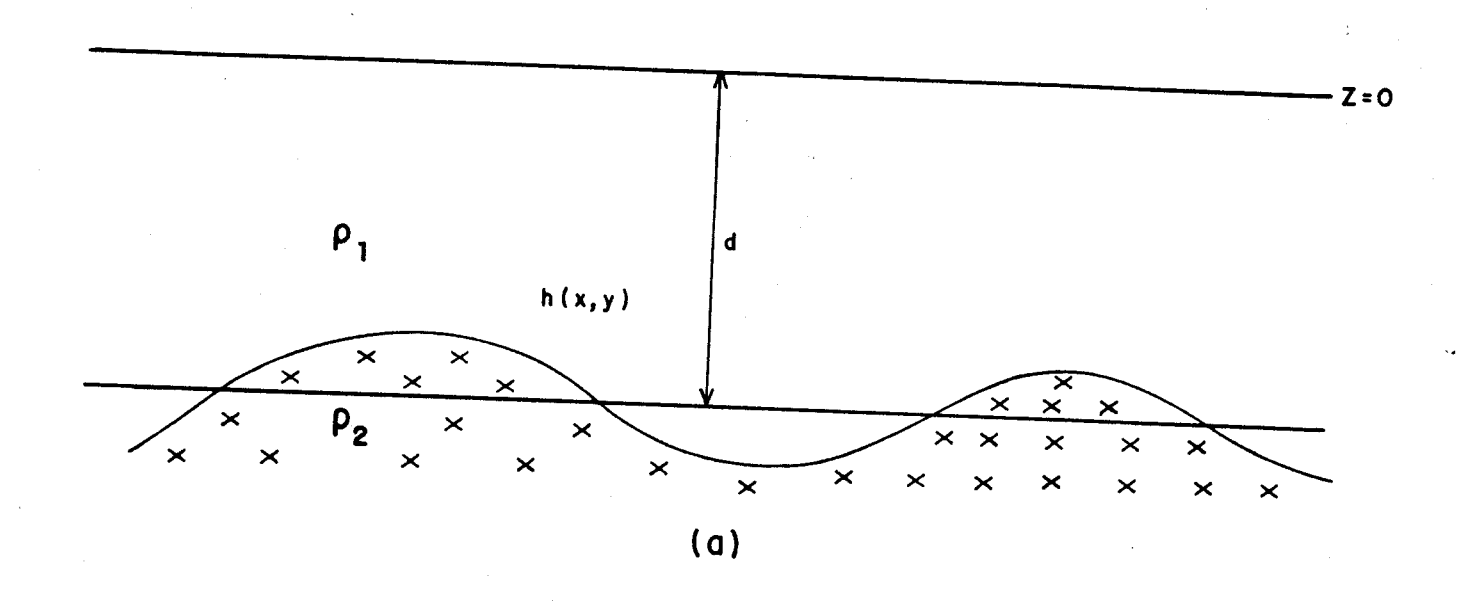
Consideremos uma superfície irregular, separando dois meios homogêneos de densidades ρ_1 e ρ_2 , descrita por uma função escalar bidimensional de posição h(x,y) referida a um nível d, tomado como a profundidade média desta superfície (Figura 9a).

O potencial gravimétrico anômalo em z=0 devido a esta estrutura é dado por:

$$U(x,y,0) = \sqrt[3]{2} \left[\int_{-\infty}^{\infty} \int_{-\infty}^{\infty} dx' dy' \int_{d}^{d+h(x,y)} \frac{dz'}{\left[(x-x')^{2} + (y-y')^{2} + (z-z')^{2} \right]^{\frac{1}{2}}} \right]_{z=0}$$
 (14)

onde δ é a constante gravitacional e $\Delta \rho = \rho_2 - \rho_1$ é o contraste de densidade entre os dois meios.

Se a interface é suave e |h| << d, então o denominador do integrando da equação (14) é quase constante e o potencial torna-se:



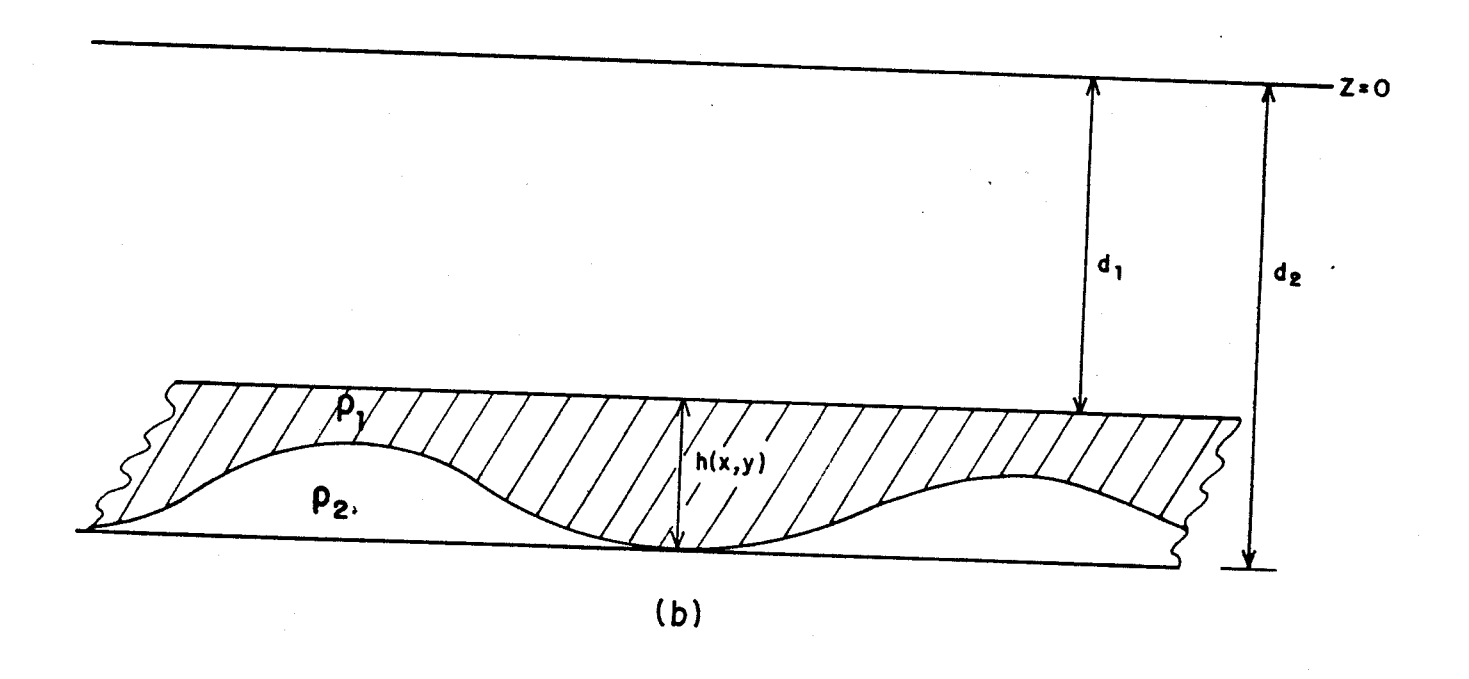


Fig. 9 - Superfície irregular separando dois meios homogêneos de densidades ρ₁ e ρ₂ tomando (a) nível de referência d como a profundidade média da superfície, e (b) nível de referência acima da superfície.

$$U(x,y,0) = 8\Delta\rho \left[\int_{-\infty}^{\infty} \int_{-\infty}^{\infty} \frac{h(x',y') dx' dy'}{\left[(x-x')^2 + (y-y')^2 + (z-d)^2 \right]^{1/2}} \right]_{z=0}$$
(15)

e o campo gravimétrico vertical (g) é dado por:

$$g = \frac{\int U(x,y,z)}{\int z=0} = 8\Delta \rho \left[(z-d) / \frac{h(x',y') dx' dy'}{\left[(x-x')^2 + (y-y')^2 + (z-d)^2 \right]^{3/2}} \right]. (16)$$

Por outro lado, a resolução da equação de Laplace com a condição de contorno de Neuman fornece:

$$U(x,y,z) = \frac{1}{2\pi} \int_{-\infty}^{\infty} \frac{g(x',y',d) dx' dy'}{\left[(x-x')^2 + (y-y')^2 + (z-d)^2\right]^{1/2}},$$
 (17)

de modo que o campo gravimétrico g em z=0 é dado por:

$$g = \frac{\partial U(x,y,z)}{\partial z} = \left[\frac{(z-d)}{2\pi} \int_{-\infty}^{\infty} \frac{g(x',y',d) dx' dy'}{\left[(x-x')^2 + (y-y')^2 + (z-d)^2 \right]^{3/2}} \right] . (18)$$

As equações (16) e (18) podem ser igualadas se

$$h(x,y) = \frac{z}{2 \pi x \delta \rho} \qquad (19)$$

Desta forma, podemos obter através da equação (19) a

profundidade da interface h(x,y) em relação ao nível de referência d, desde que se conheça o campo gravimétrico em z=d, que representa uma continuação para baixo, e o contraste real de densidade entre os dois meios.

Uma restrição adicional ao uso da equação (19) é que o nível d esteja acima das fontes uma vez que a equação (16), sendo a resolução da equação de Laplace, só tem validade na região fora das fontes.

Para levar em conta tal restrição, isolemos a região contendo as fontes anômalas com dois planos horizontais situados em z = d e z = d (Figura 9b). O campo anômalo em d l 2 l 2 devido à interface pode ser obtido pela subtração de dois campos. O primeiro produzido pela placa de espessura t = d - d e contraste de densidade $\Delta \rho = \rho - \rho$ e o segundo campo (g) 2 l 2 produzido pela parte hachurada . A expressão deste último pode ser relacionada com h(x,y) de acordo com o desenvolvimento acima, através da equação (19):

$$g, (x,y,d) = 2\pi x \rho h(x,y).$$
 (20)

Assim, o campo anômalo em d é:

$$g(x,y,d) = 2\pi \forall \Delta \rho t - g = 2\pi \forall \Delta \rho t - 2\pi \forall \Delta \rho h(x,y)$$
,

$$h(x,y) = \frac{2\pi \forall x \land t - g(x,y,d)}{z \cdot 1}.$$

$$(21)$$

A equação (21) mostra que o relevo h(x,y) da interface pode ser obtido se forem conhecidos: a) o contraste de densidade Ap; b) o campo gravimétrico em z=d e c) a profundidade d. 2

O contraste de densidade deve ser estimado a partir de informação <u>a priori</u> independente da gravimetria, como por exemplo, através da determinação de densidade de amostras de rochas que ocorrem na superfície ou da determinação da velocidade das ondas S.

O campo gravimétrico g da equação (21) deve ser conhecido, o que significa, na prática, efetuar a continuação para baixo do campo gravimétrico observado na superfície até o ní vel de referência d , próximo ao topo das fontes, que também, precisa ser determinado. A profundidade do topo das fontes pode ser estimada através da metodologia proposta por Roy (1966), onde o campo observado na superfície é continuado para baixo para diferentes níveis e a diferença entre os valores máximo e mínimo do campo continuado é desenhada contra o logaritmo do ní vel de continuação, constituindo um gráfico. O nível de continuação correspondente à máxima curvatura da curva desenhada uma estimativa do topo das fontes. Como a máxima curvatura ocorre a vários níveis de profundidades, não é possível determi nar uma profundidade única para o topo das fontes. Por outro lado, os níveis onde ocorrem pontos de máxima curvatura estão, em geral, limitados a um intervalo, de modo que a profundidade do topo das fontes é considerada limitada a este intervalo.

A continuação para baixo do campo gravimétrico é efetuada no domínio dos números de onda usando o filtro teórico
f(r)

$$d r$$
1
 $f(r) = e$, (22)

2 2 1/2 onde r = (u + v) e u e v são os números de onda nas direções x e y, respectivamente.

Este filtro cresce exponencialmente com o número de onda, produzindo, portanto, maior amplificação nas componentes de maior número de onda do sinal. Desta maneira, as componentes espectrais com números de onda altos devem ser atenuadas para evitar que o campo continuado seja dominado pelo ruído existente nesta faixa espectral. Com esta finalidade, utilizou-se o filtro g(r):

$$g(r) = f(r)$$
 , $0 \leqslant r < r$ (23a)

 tal que a região dentro da placa de espessura t = d - d conte
l 2 l

nha as irregularidades da interface e, usando um dos possíveis

valores de d obtidos pelo método da máxima curvatura (Roy,

l 1966), calculamos h(x,y) da equação (21). A seguir t é substi

l
tuído por kt (0 < k < 1) e o processo é repetido até o apare
cimento de valores negativos calculados para h(x,y) o que indi
ca, uma placa com profundidade da base menor do que a máxima

profundidade da interface. A estimativa de t é aquela imedia
tamente anterior à que produziu valores negativos para h(x,y).

3.3 - Aplicação em dados sintéticos

Com o objetivo de avaliar o desempenho do método proposto, este foi aplicado ao campo gravimétrico produzido por
prismas verticais adjacentes simulando a interface crosta-manto.

Nos testes realizados, o valor de 0,064 ciclos/km foi empregado como número de onda limite r nas equações (23a) e (23b). A escolha deste valor deu-se através do estudo de vários mapas do campo gravimétrico continuado para baixo em que se utilizaram valores decrescentes de r desde 0,20 ciclos/km até 0,01 ciclos/km em intervalos de 0,01 ciclos/km. O valor se lecionado foi aquele a partir do qual não houve mais mudança qualitativa no campo continuado correspondente. O valor empregado da constante positiva A na equação (23b) foi de 15, selecionado a partir de testes em dados sintéticos controlados. A escolha de A não é, no entanto, tão crítica como a de r.

Para que fosse minimizado o fenômeno de Gibbs, quando da obtenção do campo continuado para baixo no domínio dos núme-

ros de onda, procedeu-se à extensão dos dados na borda da área. Esta extensão foi baseada no procedimento apresentado por Tsay (1975) que consiste em acrescentar uma certa quantidade de valores constantes em ambas as extremidades do perfil. Neste trabalho, o procedimento de Tsay foi modificado para duas dimen sões de modo que o número de valores acrescentados é tal que se a quantidade original de dados nas direções x ou y for uma potência de dois, ela será estendida para a potência de dois subsequente em x ou y, respectivamente. Caso o número de observações em uma ou ambas as direções não seja potência de dois, a quantidade de dados estendida será a da segunda potência de dois subsequente ao número de observações na respectiva direção

O método proposto foi aplicado em vários modelos simulando a interface crosta-manto por fontes profundas 3-D, com um contraste de densidade de 0,4 g/cm e profundidades variando entre 27,0 e 38,0 km. Descreveremos abaixo os resultados de dois testes apenas. O modelo # 1 simula uma ondulação suave, onde o desnível máximo é de 2 km em 300 km e o modelo # 2 simula uma ondulação menos suave, em que o desnível máximo é de 11 km em 250 km.

Modelo # 1

A Figura 10 mostra o campo gravimétrico do modelo teó rico em que a profundidade do topo das fontes varia de 27,5 a 29,5 km. Este modelo consiste de prismas verticais justapostos que, na porção centro-oeste da área constituem uma elevação (A) enquanto na porção sudeste constituem uma depressão (B). Separando estas duas feições 3-D há uma depressão alongada na

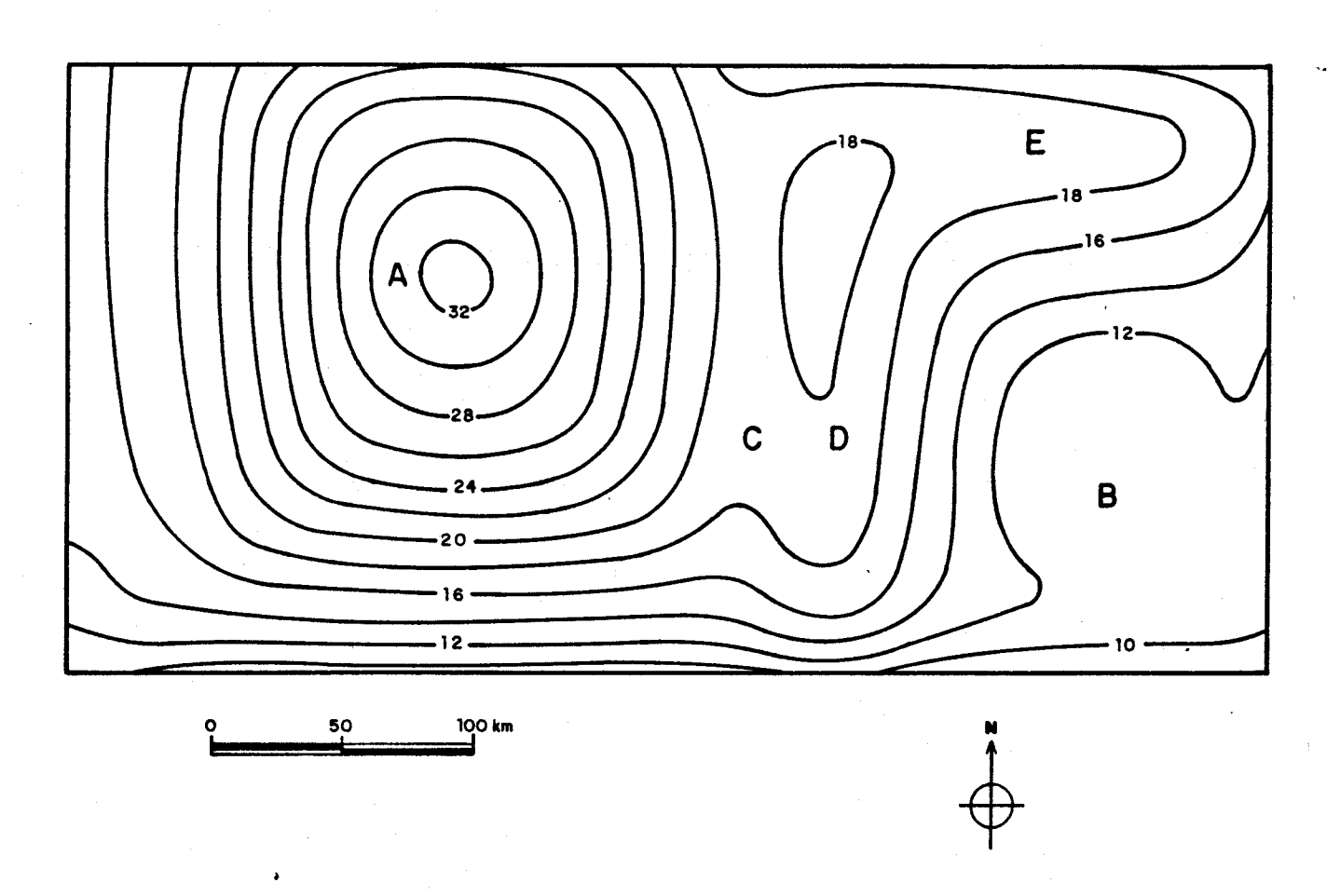


Fig. 10 - Campo gravimétrico sintético do Modelo # 1. Intervalo de contorno 2 mGal.

direção N-S, com 40 km de largura (C), e uma elevação (D), também alongada na direção N-S, com 60 km de largura, mas não se estendendo por toda a área. A depressão B é limitada ao norte por uma elevação (E) alongada na direção E-W, com 60 km de largura.

Aplicou-se o método da máxima curvatura (Roy, 1966) aos dados do modelo # 1 e obteve-se um intervalo de 26 a 28 km para a profundidade do topo das fontes cujo ponto médio (27 km) foi tomado como a estimativa para d.

O campo gravimétrico da Figura 10 foi transformado no mapa de distâncias verticais da Figura 11a, em relação ao nível de referência d = 27 km. Este mapa mostra um aumento de resolu - ção das feições causadoras do campo gravimétrico, como por exemplo as feições A, B, C, D e E descritas acima.

A Figura 11b mostra o perfil FF' indicado no mapa de distâncias verticais (Figura 11a), em que é feita a comparação entre a estrutura verdadeira (linha contínua) e a superfície de terminada pelo método proposto (linha tracejada). A concordância entre as duas superfícies é, em geral, bastante boa.

Modelo # 2

A Figura 12a mostra o campo gravimétrico do modelo teórico em que a profundidade do topo das fontes sintéticas está entre 27 e 38 km. Este modelo consiste de prismas verticais justapostos de modo que, tanto na porção centro-oeste como na porção sudeste, constituem elevações a diferentes profundidades (A é B). Separando estas duas feições 3-D, na porção central da área, temos uma feição alongada (C) na direção N-S, com 60

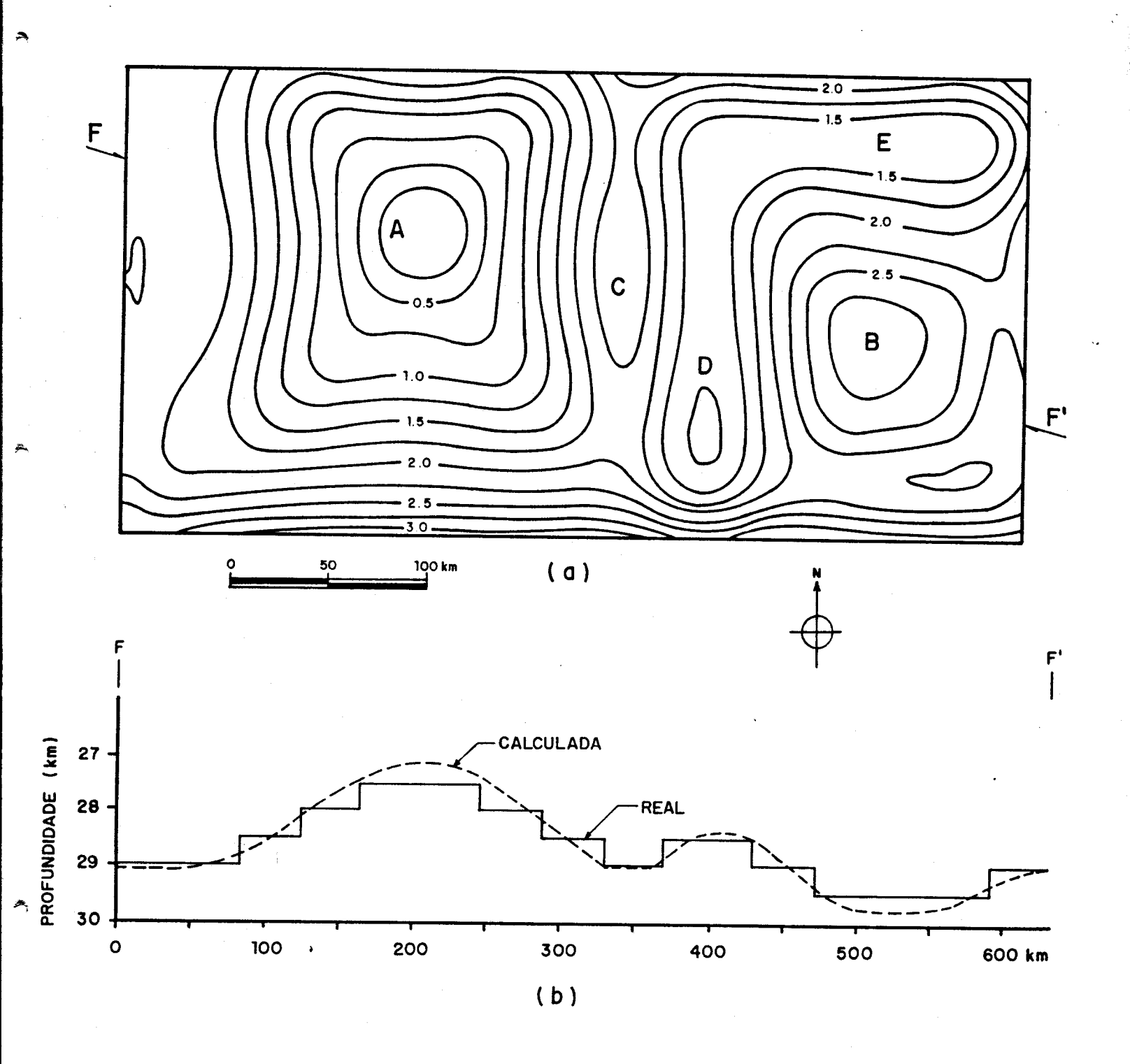


Fig. 11 - (a) Mapa de distâncias verticais em relação ao nível de 27 km, obtido a partir do campo sintético do Modelo 10 # 1. Intervalo de contorno 0,25 km. (b) Perfil FF' comparando a estrutura verdadeira (linha contínua) e a calculada pelo método proposto (linha tracejada).

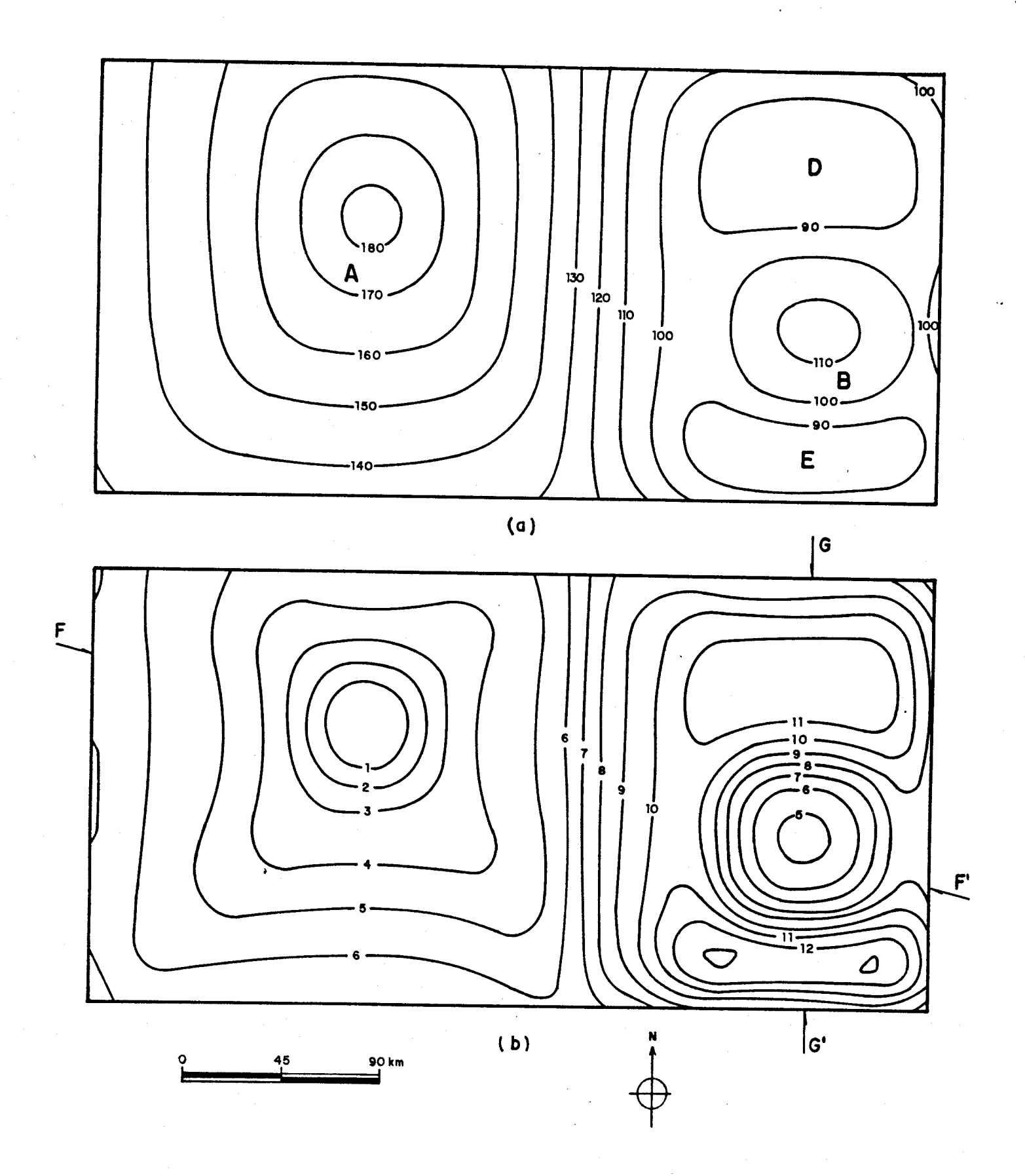


Fig. 12 - (a) Campo gravimétrico sintético do Modelo # 2. Inter valo de contorno 10 mGal. (b) Mapa de distâncias verticais em relação ao nível de 27 km, obtido a partir do campo em (a). Intervalo de contorno 1 km.

km de largura, que constitui uma depressão. A elevação, da por ção sudeste (B), está limitada por duas feições alongadas na direção E-W, uma ao norte (D) com 40 km de largura e outra ao sul (E) com 60 km de largura constituindo depressões.

O campo gravimétrico foi transformado no mapa de distâncias verticais (Figura 12b) em relação ao nível de 27 km. Nota-se o aumento de resolução em relação ao campo gravimétrico, levando ao delineamento das feições da interface descritas acima.

Os perfis FF' e GG' indicados na Figura 12b são apresentados nas Figuras 13a e 13b, respectivamente. Como podemos observar na Figura 13a existe concordância razoável entre a es trutura verdadeira e a interface calculada, apresentando, contudo, profundidades superestimadas onde o gradiente é mais for te. Da mesma maneira, na Figura 13b observamos que as profundidades estimadas dos blocos baixos que ladeam a elevação da porção sudeste (B), estão superestimadas. Isto ocorre porque neste modelo foi violada a premissa de que a interface é suave, com desníveis muito menores do que a profundidade do nível de referência. Mesmo nestas circunstâncias, o método proposto ainda fornece uma boa aproximação da topografia da interface.

3.4 - Conclusões

Estudamos um método para mapeamento de uma superfície irregular, suave, separando dois meios homogêneos de densidades constantes, através de dados gravimétricos.

A metodologia apresentada requer a obtenção do campo gravimétrico produzido pela interface a um nível de referência.

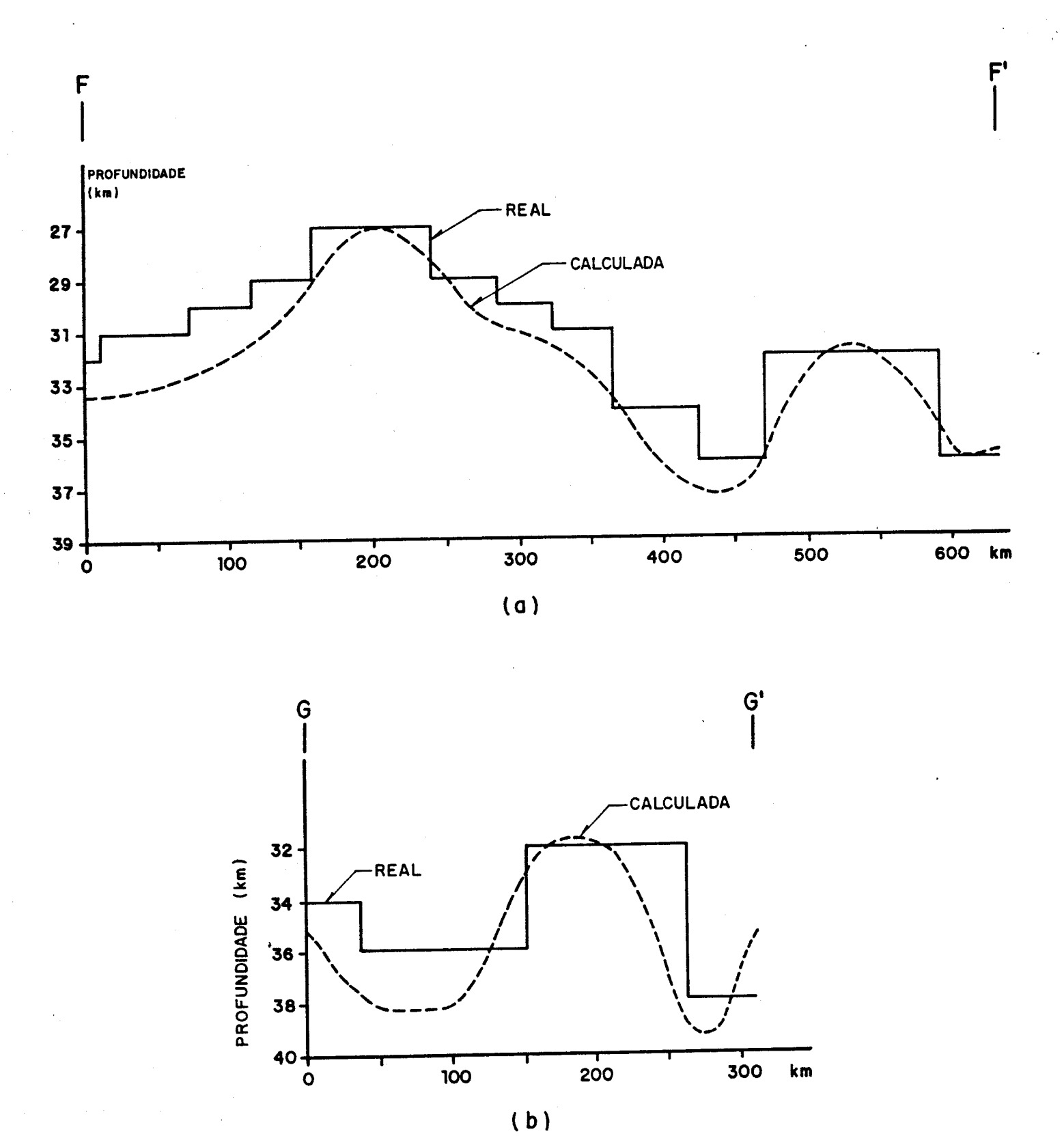


Fig. 13 - Perfis FF' (a) e GG' (b) comparando a estrutura verda deira (linha contínua) e a calculada (linha tracejada) para o Modelo # 2.

.

que esteja acima e próximo da profundidade mínima da interface bem como o conhecimento <u>a priori</u> do contraste de densidade entre os dois meios homogêneos.

Para obter o campo gravimétrico produzido pela interface em um nível de referência, é preciso conhecer a profundida
de deste nível, que pode ser obtida de informação <u>a priori</u>, como por exemplo estimativas provindas de estudos de sísmica ou
sismologia, dependendo da escala do trabalho. Já o contraste
de densidade pode ser obtido pela determinação da densidade de
amostras de rochas que ocorrem na superfície da Terra, podendo,
no entanto, ser de difícil estimativa quando ocorrem heterogeneidades litológicas, como no caso de bacias sedimentares. Todavia, a situação é menos crítica quando a interface a ser determinada é a interface crosta-manto, onde pequenas heterogeneidades laterais pouco afetam o valor médio efetivo do contras
te de densidade.

Adicionalmente, um intervalo para a profundidade do nível de referência pode ser estimado a partir dos dados gravimetricos empregando o método da máxima curvatura (Roy, 1966).

Este trabalho desenvolveu um método simples e pouco dispendioso para mapear a interface crosta-manto, cujo desempenho foi avaliado através de testes com dados sintéticos produzindo mapeamentos de interfaces bem próximas das estruturas reais.

É importante ressaltar, que estimativas bastante próximas da interface real foram obtidas mesmo em situações onde as premissas necessárias para a aplicação do método são parcialmente violadas.

4 - METODO DE INTERPRETAÇÃO DA COMPONENTE RESIDUAL DO CAMPO GRAVIMETRICO

4.1 - Introdução

A crosta terrestre é constituída por diversos tipos de rochas, com heterogeneidades de densidade, decorrentes de sua formação e organização pelos processos geológicos. Tais he terogeneidades são mais acentuadas em escala reduzida, podendo, por exemplo, resultar de bolsões mineralizados com sulfetos em rochas carbonáticas ou variações laterais de fácies numa bacia sedimentar. Por outro lado, em escala global, as heterogeneida des são menos acentuadas, sendo importantes apenas as grandes massas anômalas. Estas podem, no entanto, assumir formas bastante complexas se elas forem resultantes dos processos de deformação da crosta, onde são geradas feições do tipo falhas e dobras, por exemplo.

O estudo das feições intracrustais, caracterizadas por heterogeneidades de densidade, pode ser feito pela gravimetria em escala regional ou continental, através da componente residual do campo gravimétrico que contém primordialmente a resposta gravimétrica de tais feições. Este estudo consiste da resolução do problema inverso em gravimetria, ou seja, encontrar a distribuição de densidade, em subsuperfície, causadora da ano malia gravimétrica observada na superfície. No entanto, o problema inverso em gravimetria não é um problema bem-posto. Um problema é dito bem-posto no sentido dado por Hadamard (1902), de que, quando existe uma solução, ela é única e estável. Um problema não satisfazendo a pelo menos uma das três condições

acima é dito ser mal-posto. O problema gravimétrico inverso é um problema mal-posto porque a solução, apesar de existir, não é única nem estável, uma vez que existem infinitas distribuições de densidade que reproduzem exatamente as observações gravimétricas. Além disso, a presença de pequenas pertubações nas observações, causadas por ruído, provocam grandes variações nas estimativas da distribuição de densidade.

O problema inverso em gravimetria pode, no entanto, ser transformado em um problema bem-posto. A maneira de realizar essa transformação dependerá não só do tipo de abordagem adotado na resolução do problema inverso, como também das restrições impostas às fontes gravimétricas implícitas nos diversos métodos de interpretação.

O problema inverso não-linear, no qual as distribuições de densidade são restritas a formas geométricas simples
tendo densidade constante, é um problema bem-posto, ao passo
que, o problema inverso linear, na sua forma geral, com o objetivo de determinar uma distribuição contínua de densidade envolvendo todas as fontes, é mal-posto.

No estudo de feições intracrustais pela gravimetria é conveniente trabalhar com o problema linear inverso, uma vez que tal abordagem permite modelar formas geométricas complexas, havendo, no entanto, a necessidade de transformar tal problema (originalmente mal-posto) em um problema bem-posto.

Para tornar única a solução do problema linear inverso, é necessário introduzir informação <u>a priori</u> sobre as fontes. Um procedimento comumente adotado é postular que as fontes são bidimensionais, ou seja, apresentam variação de densidade em apenas duas variáveis espaciais, dentro de uma determinada seção discretizada do semi-espaço inferior consistindo

de fontes elementares justapostas. Fora desta seção presume-se não existir fonte. Além disso, a geometria e a posição das fon tes elementares (normalmente prismas retangulares) são supostas conhecidas. Esta quantidade de informação a priori é em geral, suficiente para tornar a solução do problema inverso matematicamente única, mas não é suficiente para tornar as soluções estáveis, não tendo, portanto, qualquer utilidade prática um problema inverso formulado desta maneira.

Para se obter estabilidade das soluções é necessário introduzir informação <u>a priori</u> adicional sobre as fontes. Braile et al. (1974) introduzem informação <u>a priori</u> sobre suavi dade na variação espacial da densidade através da imposição de menor norma Euclidiana para a solução (implícita na solução do inverso generalizado empregada por estes autores). Last e Kubik (1983) impõem à solução o menor volume compatível com um limite superior para a densidade, através de um algoritmo envol vendo mínimos quadrados reponderados iterativamente. Guillen e Menichetti (1984) impõem à solução o menor momento de inércia em relação ao centro de gravidade ou em relação a um eixo incli nado passando pelo centro de gravidade, através de um algoritmo semelhante ao proposto por Last e Kubik (1983).

Este trabalho apresenta uma solução do problema linear inverso em gravimetria que consiste em produzir um mapa de
contrastes de densidades aparentes a partir do mapa de anomalia
Bouguer com o objetivo de identificar as possíveis fontes intra
crustais causadoras da anomalia gravimétrica.

A fim de tornar única a solução do problema inverso, foi postulado o confinamento das fontes a uma placa horizontal com/espessura constante, contida dentro do semi-espaço inferior, e discretizada nas duas direções horizontais x e y em peque

nos prismas verticais, retangulares com contraste de densidade constante, mas podendo variar de um prisma para outro. A fim de estabilizar as soluções adotou-se como informação a priori adicional a suavidade espacial da variação de densidade, através de um inverso aproximado amortecido, semelhante ao descrito por Hoerl e Kennard (1970).

Uma restrição à resolução do problema linear inverso é que o número de prismas em que as fontes são discretizadas não deve ser excessivamente grande, pois a dimensão da matriz a ser invertida cresce com a quarta potência do número de prismas em uma das direções de uma malha retangular, tornando virtualmente proibitiva a obtenção de soluções para áreas contendo mais que algumas dezenas de prismas em uma direção. No entanto, devido à existência de um algoritmo eficiente (Leão e Silva, 1989) para reduzir esta limitação para o caso de mapeamento de fontes equivalentes, e ao fato do problema linear inverso formulado acima e o problema da obtenção das intensidades de fontes equivalentes apresentarem a mesma formulação matemática (resolução de um sistema de equações lineares), o referido algoritmo foi empregado neste trabalho.

O método acima descrito foi aplicado a modelos teóricos simples, com e sem interferência, com o objetivo de obter mapas de contrastes de densidade aparentes e analizar a possibi lidade de determinar, a partir destes mapas, os contornos horizontais aproximados dos corpos causadores das anomalias gravimé tricas. Além disso, são obtidos conjuntos de curvas, envolvendo contraste de densidade aparente em função da profundidade do topo e espessura presumidas para as fontes. Estas curvas são utilizadas em interpretações semi-quantitativas envolvendo tais parâmetros.

4.2 - Metodologia

O problema linear inverso em gravimetria consiste em determinar uma distribuição de densidade que explique as observações da componente vertical do campo gravimétrico feitas na superfície. O campo gravimétrico vertical (g) observado no ponto (x,y,z), fora das fontes é dado por:

$$g(x,y,z) = \iiint_{0-\infty}^{\infty} p(x',y',z') \ G(x,y,z,x',y',z') \ dx'dy'dz', \quad (24)$$

onde $\fine x$ é a constante gravitacional, p(x',y',z') é a distribuição de densidade e G(x,y,z,x',y',z') é a função de Green relativa ao ponto (x,y,z), dada por:

$$G(x,y,z,x',y',z') = \frac{\partial}{\partial z} \left[(x-x')^2 + (y-y')^2 + (z-z')^2 \right]^{-1/2}$$

Este problema, no entanto, não tem solução única, sen do, portanto, mal-posto. Como primeiro passo para tornar o problema bem-posto é necessário forçar a unicidade da solução através da introdução de informação a priori sobre as fontes. Assim sendo, postularemos que as fontes gravimétricas estão con finadas a uma placa com espessura constante t, limitada lateralmente em x e y e com o topo a uma profundidade d (Figura 14). A densidade é presumida variar, dentro desta placa apenas em x e y. Sob tais premissas, a equação (24) torna-se:

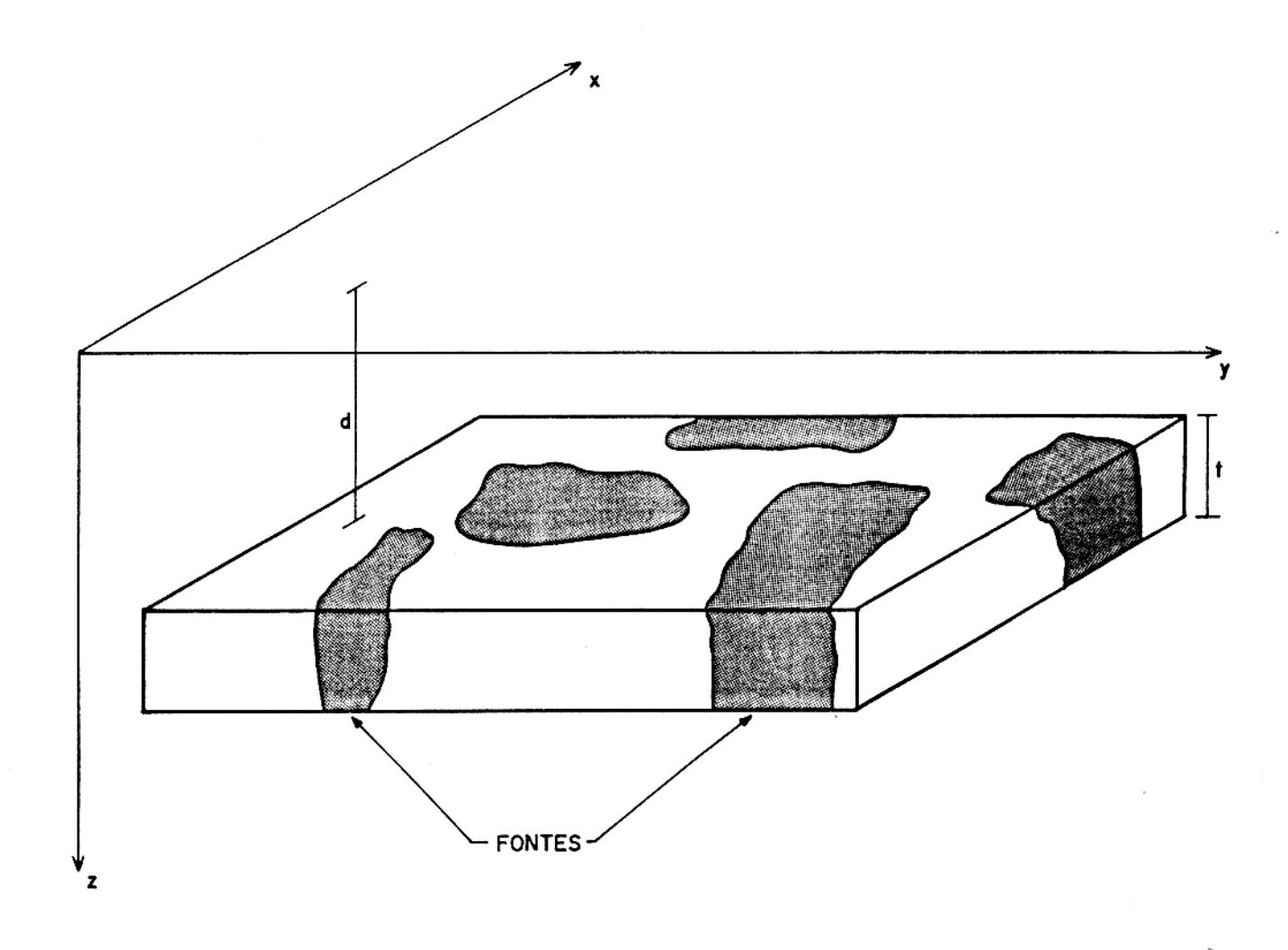


Fig. 14 - Fontes gravimétricas confinadas a uma placa de espessura constante t, limitada lateralmente em x e y e com o topo a uma profundidade d.

$$g_{z}(x,y,z) = y \int_{-\infty}^{\infty} \int_{-\infty}^{\infty} (x',y') G(x,y,z,x',y',d,t) dx'dy'.$$
 (25)

Por outro lado, o potencial gravimétrico U em um ponto (x,y,z) é dado por:

$$U(x,y,z) = 8 \int \frac{\int_{-\infty}^{\infty} \int_{-\infty}^{\infty} \left[\frac{p(x',y',z') dx'dy'dz'}{\left[(x-x') + (y-y') + (z'-z)^{2} \right]^{1/2}} \right]} . \tag{26}$$

Pelo teorema da camada equivalente, a distribuição tridimensional de densidade p (x',y',z') pode ser substituída por uma distribuição bidimensional de densidade $\mathcal{O}(x',y',d)$ lo calizada a uma profundidade d acima das fontes reais, tal que o potencial gravimétrico dado na equação (26) pode ser expresso de maneira exata como uma função de $\mathcal{O}(x',y',d)$ ao invés de p(x',y',z'):

$$U(x,y,z) = \sqrt[3]{\frac{C'(x',y',d) dx'dy'}{\left[(x-x')^{2} + (y-y')^{2} + (d-z)^{2}\right]^{1/2}}}.$$
 (27)

A componente vertical do campo gravimétrico (g) em $$z\!=\!0$$ é dada por:

$$g = \frac{\partial U(x,y,z)}{\partial z} = \sqrt[\infty]{G(x',y',d)} B(x,y,z,x',y',d) dx'dy' (28)$$

sendo B(x,y,z,x',y',d) a função de Green da camada equivalente.

Desta maneira, a solução do problema inverso de deter minar (x',y') na equação (25) é equivalente a resolver o problema da camada equivalente, dado pela equação (28), que con siste na resolução de uma equação integral.

Na prática, o campo gravimétrico vertical é conhecido em um número finito de pontos impondo-se ainda que as fontes também sejam discretas e limitadas a um volume finito da subsuperfície. Desse modo, as equações (25) e (28) podem ser transformadas em equações matriciais através de um procedimento seme lhante ao proposto por Silva e Hohmann (1984). Ambas as equações matriciais têm a mesma forma, dada por:

$$\overline{g}^{\circ} = \overline{\overline{A}} \overline{p}$$
 , (29)

onde \overline{g}° é o vetor que contém as N observações do campo gravizemétrico, \overline{p} é o vetor que contém M valores de densidades a serem determinados e $\overline{\overline{A}}$ é uma matriz N x M que descreve a função de Green da placa, no caso da equação (25), ou da camada equivalente, no caso da equação (28). A solução da equação (29) se rá obtida por:

$$\frac{\hat{\mathbf{p}}}{\mathbf{p}} = \overline{\overline{\mathbf{A}}} + \overline{\mathbf{g}} \, , \qquad (30)$$

onde $\frac{\hat{a}}{\hat{p}}$ é o vetor que contém a estimativa dos contrastes de den sidades e $\overline{\hat{A}}^+$ é um inverso aproximado amortecido.

Para obter \hat{p} da equação (30) seguiremos a metodologia proposta por Leão e Silva (1989). Esta metodologia consiste em efetuar transformações lineares de dados de campos potenciais usando o princípio da camada equivalente. Para tanto, o pseudo-inverso dos mínimos quadrados subdeterminado (N < M) é empregado como operador inverso, fazendo

$$\overline{\overline{A}}^{+} = \overline{\overline{A}}^{T} \overline{\overline{D}} (\overline{\overline{D}} \overline{\overline{A}} \overline{\overline{A}}^{T} \overline{\overline{D}} + \lambda \overline{\overline{I}})^{-1} \overline{\overline{D}} , \qquad (31)$$

na equação (30), onde λ é um número pequeno positivo e $\overline{\overline{D}}$ é a matriz diagonal normalizante com elementos

$$d_{ii} = \begin{bmatrix} \frac{M}{j=1} & 2 \\ \frac{1}{j=1} & ij \end{bmatrix}^{-1/2}, i=1,...,N.$$

A escolha do pseudo-inverso dos mínimos quadrados subdeterminado tem como vantagem o fato de que a matriz a ser invertida é
de dimensão N x N e não M x M, o que torna sua dimensão indepen
dente do número M de fontes equivalentes discretas, que podem
portanto ser estendidas além do limite da janela de dados, de
modo a levar em conta as fontes interferentes. Para tornar ope
racional a inversão desta matriz, a janela de dados empregada
deve ser pequena, de modo que áreas contendo grande número de
observações devem necessariamente ser processadas por partes.
No entanto, quando da aplicação do operador por partes, aparecem notáveis descontinuidades nas bordas de janelas adjacentes.
Para minimizar este efeito de borda, a propriedade física é

calculada apenas no ponto central da janela de dados, o que equivale, na equação (30) a pré-multiplicar o vetor \overline{g}° apenas pela linha de $\overline{\overline{A}}^{+}$ correspondente à fonte localizada no ponto cen tral da janela de dados. Desta maneira, o operador inverso, no caso de dados regularmente espaçados só precisa ser calculado uma única vez e aplicado às observações de modo semelhante a uma operação de convolução discreta.

A solução da equação (25) pelo método acima descrito usa a função de Green correspondente a prismas verticais finitos (Steiner, 1978), uma vez que a placa, onde as fontes estão supostamente confinadas, é discretizada, presumindo-se prismas como fontes elementares. Todos os prismas têm a mesma espessura e profundidade do topo e os contrastes de densidade (constantes para cada prisma) são os parâmetros a serem determinados.

Conhecendo-se a profundidade do topo e a espessura, de ser desenhado o mapa de contraste de densidade aparente. Es te mapa fornece uma interpretação quantitativa da posição e da extensão horizontal das fontes, pois a curva de contorno corres pondente à metade do valor máximo do contraste de densidade de limita o contorno aproximado do corpo causador da anomalia, mes mo quando a profundidade do topo e a espessura são fixadas em valores diferentes dos reais.

Quando não se dispõe de informação <u>a priori</u> sobre a profundidade do topo e a espessura das fontes, é conveniente ob ter uma família de curvas de densidades aparentes versus profundidade do topo presumida para cada valor de espessura, também presumida, cobrindo intervalos factíveis para a profundidade do topo e a espessura. Este tipo de gráfico permite uma interpretação semi-quantitativa, conforme será mostrado na próxima seção.

4.3 - Aplicação em dados sintéticos

Com o objetivo de avaliar o desempenho do método proposto, este foi aplicado ao campo gravimétrico produzido por prismas verticais finitos, tanto isolados como interferentes.

Nos testes realizados, a placa, onde as fontes são presumidas estar contidas, foi discretizada em 31 prismas verticais finitos, em cada direção horizontal x e y, tendo a mesma profundidade do topo e espessura. Cada prisma tem dimensões de 7,5 km na direção x por 7,5 km na direção y. A janela de observações utilizada foi definida numa malha de 7 x 7 pontos cobrindo uma área de 2756,25 km.

O valor de 0,1 foi utilizado para a constante positiva λ da equação (31), selecionado com base em testes empregando dados sintéticos, onde, através da inspeção de vários mapas de densidade aparente, correspondentes a diferentes valores crescentes de λ , selecionou-se o menor valor de λ a partir do qual não houve mudanças qualitativas nos mapas.

Modelo # 1: Corpo isolado

Este modelo consiste de um prisma vertical finito com 3 espessura de 5 km, contraste de densidade de 0,35 g/cm e a profundidade do topo de 8 km. A Figura 15 mostra o campo gravimétrico produzido por este corpo.

Para se empregar o método proposto com o objetivo de obter um mapa de densidades aparentes, é necessário conhecer a profundidade do topo e a espessura que serão empregadas na discretização da placa.

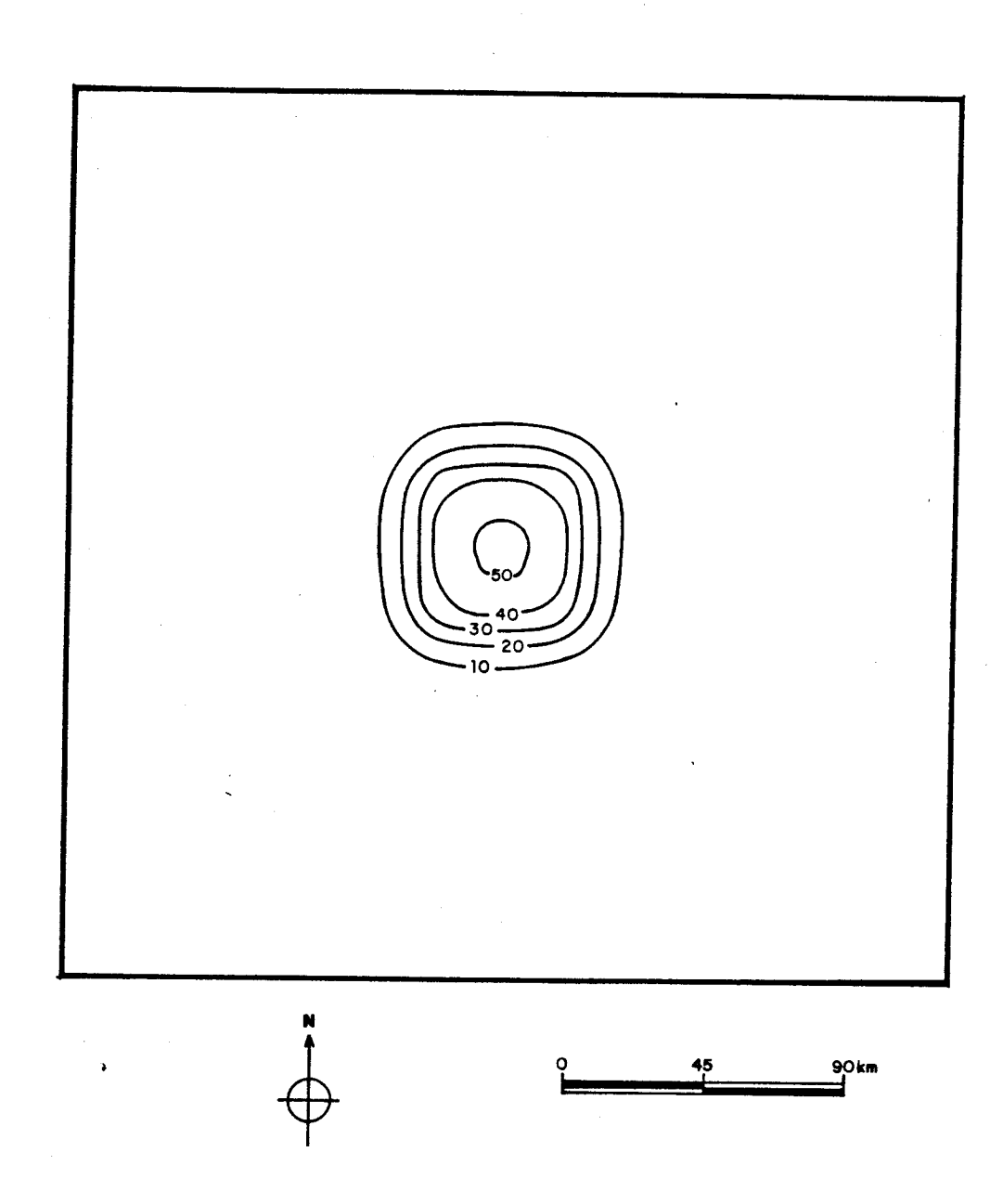


Fig. 15 - Campo gravimétrico sintético do Modelo # 1. Intervalo de contorno 10 mGal.

Ž

Quando não se dispõe de informação a priori sobre profundidade do topo e a espessura que devem ser empregadas na discretização da placa, é conveniente construir uma família de curvas de densidade aparente versus profundidade presumida para o topo, cobrindo diferentes valores de espessura presumida, den tro de um intervalo factível de ocorrência dos referidos parâme Para se obter os pontos das referidas curvas, transforma se o campo gravimétrico em um mapa de contrastes de densidade a parentes fixando-se determinados valores para a profundidade do topo e para a espessura. O valor máximo do contraste de densidade aparente estimado é tomado como o valor representativo, uma vez que ele ocorre no centro do corpo causador da anomalia, sendo portanto o menos afetado pelo efeito de borda. Este valor máximo e a profundidade do topo presumida compõem um par de coordenadas do gráfico para o valor fixado de espessura. cedimento é então repetido para outros valores de profundidades do topo mantendo fixa a espessura, gerando assim uma

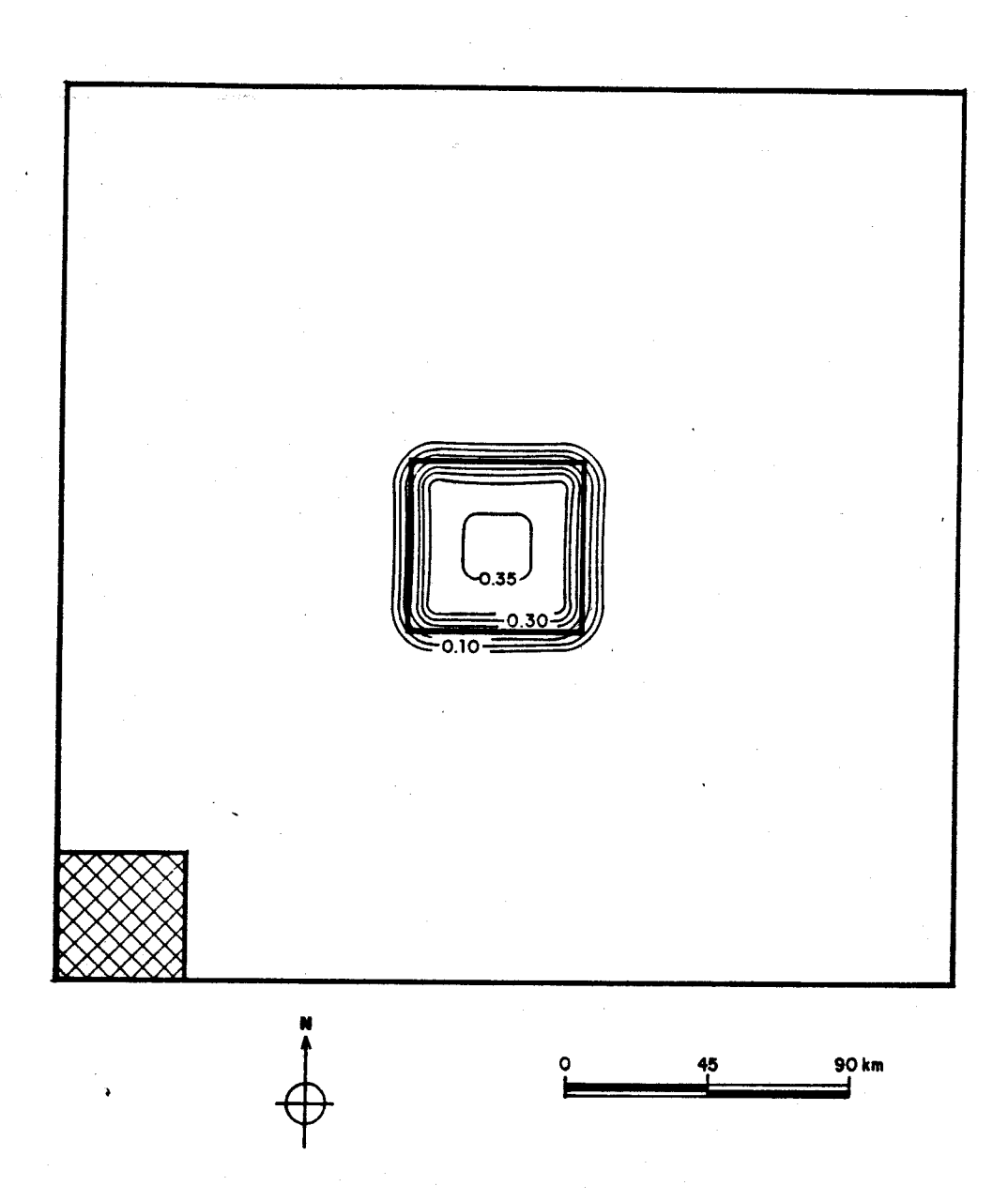
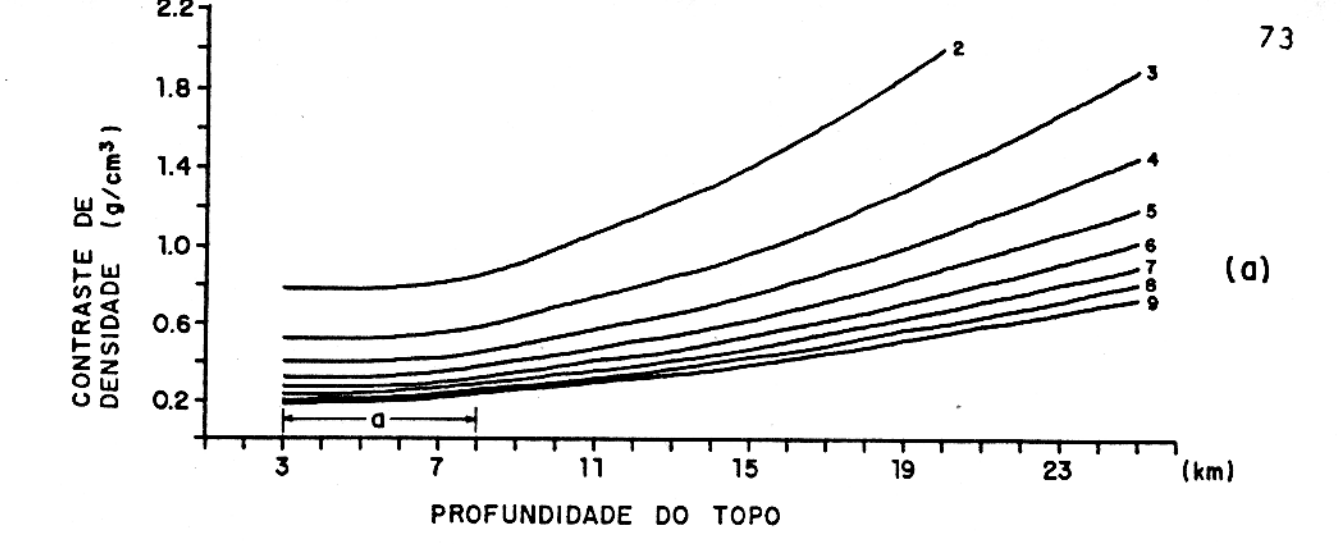


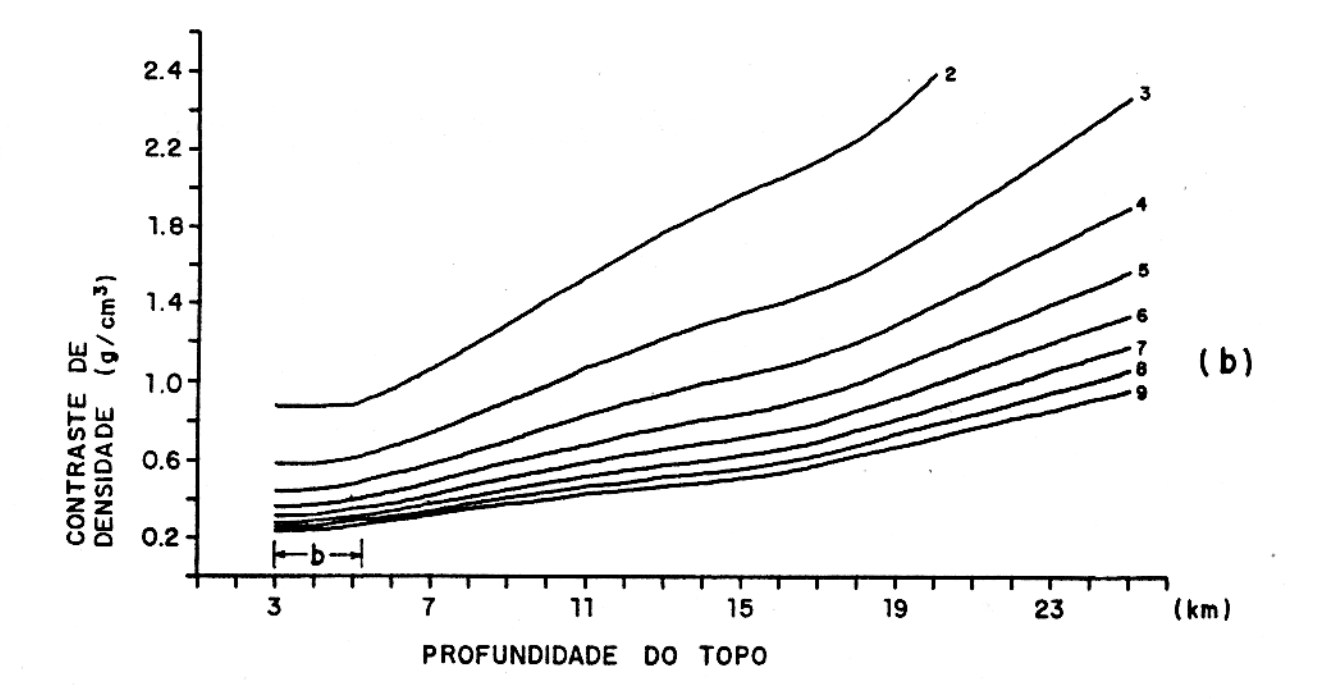
Fig. 16 - Mapa de contraste de densidade aparente obtido a partir do campo sintético do Modelo ‡ 1, postulando uma profundidade do topo de 8 km e espessura de 5 km para a placa que contém as fontes. A fonte real, cujo contorno é mostrado em linha grossa, tem profundidade do topo a 8 km e espessura de 5 km. O valor de λ empregado foi de 0,1 e a janela de dados, mostrada no canto inferior esquerdo, tem dimensão de 6 X 6 intervalos de espaçamento. Intervalo de contorno 0,05 g/cm³.

correspondente à espessura fixada. Um outro valor é agora atribuído à espessura e o processo é repetido, gerando uma família de curvas, cada uma correspondendo a um valor constante de espessura.

2

A Figura 17 mostra estas famílias de curvas de densidades aparentes versus profundidade do topo para diversos valores de espessura para o modelo # 1 (Figura 17a) onde a profundi dade do topo real é de 8 km, bem como para os casos da profundidade do topo real ser de 5 km (Figura 17b) e 15 km (Figura 17c). Para uma dada profundidade da fonte real, o contraste de densidade aparente varia monotonicamente com a profundidade para uma mesma espessura e o gradiente se torna cada vez mais sua ve à medida que aumenta a espessura das fontes equivalentes. Observa-se ainda que as curvas apresentam um certo intervalo de profundidade onde o gradiente é virtualmente horizontal (a, b e c nas Figuras 17à, 17b e 17c, reapectivamente). O comprimento deste intervalo caracteriza a profundidade relativa da fonte Por exemplo, na Figura 17 temos b < a < c, correspondendo a corpos com topo a 5, 8 e 15 km, respectivamente. Este tipo de gráfico pode ser utilizado em interpretações quantitativas ou semi-quantitativas. A interpretação quantitativa só possível se se dispõe de informação a priori sobre dois dos três parâmetros envolvidos. Por exemplo, se o contraste de den sidade é 0,4 g/cm e a profundidade do topo é de 8 km, então a espessura do corpo é de 5km para o modelo da Figura 17a. terpretação semi-quantitativa, por sua vez, exige apenas o conhecimento <u>a priori</u> de um dos parâmetros e um limite inferior ou superior para um segundo parâmetro. Por exemplo, se o contraste de densidade é 0,35 g/cm e o corpo se localiza no mínimo a 13 km de profundidade então a espessura mínima do corpo é





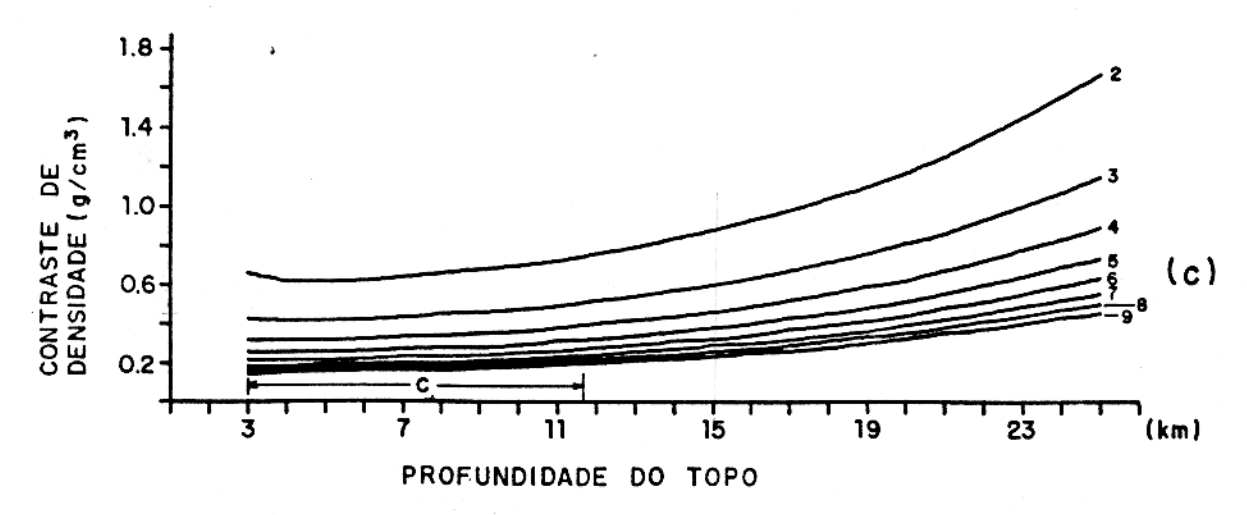


Fig. 17 - Famílias de curvas de contraste de densidade aparente versus profundidade do topo da placa para diversos valores de espessura (em km) para corpos com a mesma seção do Modelo # 1; espessura de 5 km e profundidades do topo a 8 km (a), 5 km (b) e 15 km (c).

de 5 km para o modelo da Figura 17c. Nas Figuras 17a a 17c observamos que as estimativas do topo são menores do que os valores verdadeiros, mesmo quando o contraste de densidade e a espessura da placa são as mesmas do modelo que geraram o campo sintético. Por exemplo, o modelo da Figura 17c tem contraste de densidade 0,35 g/cm, espessura de 5 km sendo a profundidade do topo estimada de 13 km ao invés de 15 km, que é a profundidade do topo verdadeira. Esta imprecisão é devida ao uso de um valor muito baixo para o parâmetro de amortecimento. Tal valor foi suficiente para estabilizar o problema, mas insuficiente para recuperar a amplitude máxima correta da densidade aparente, produzindo valores maiores que os verdadeiros.

Modelo # 2: Corpos interferentes

A Figura 18 mostra o campo gravimétrico produzido pelo modelo ‡ 2. Este modelo consiste de três prismas verticais finitos, com contraste de densidade de 0,35 g/cm. O maior prisma (A), alongado na direção NE-SW, localizado na porção central da área tem 15 km de profundidade do topo e 5 km de espes sura. O segundo (B), alongado na direção NW-SE, localiza-se na porção SE da área, tem 20 km de profundidade do topo e 4 km de espessura. O terceiro prisma (C), alongado na direção NE-SW, localizado na porção leste da área, possui 22 km de profundida de do topo e 4 km de espessura.

A Figura 19 mostra o mapa de contraste de densidade aparente, obtido a partir do campo gravimétrico da Figura 18, quando a placa horizontal que contém as fontes foi discretizada por prismas cujas profundidades do topo se encontram a 15 km e

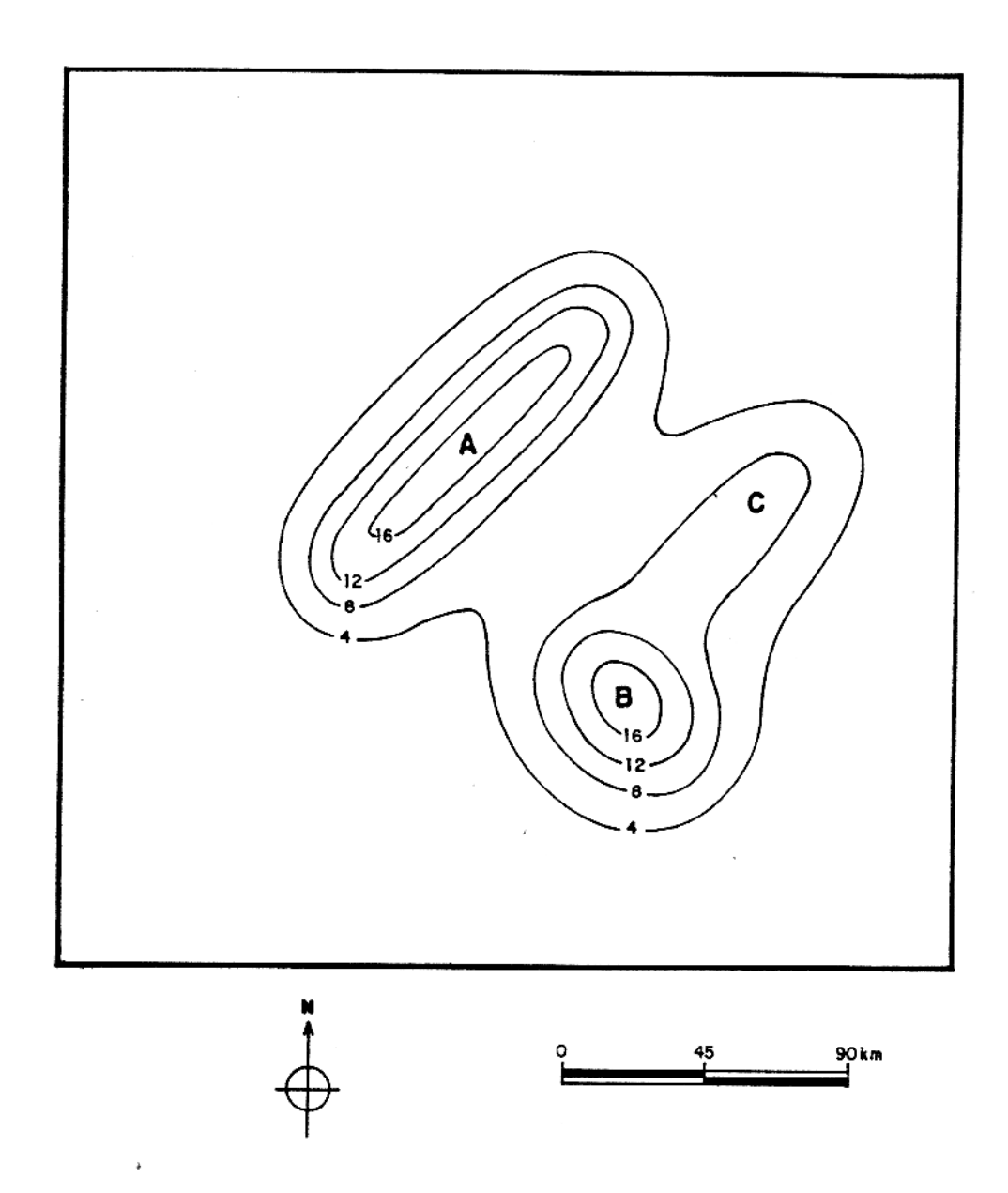


Fig. 18 - Campo gravimétrico sintético do Modelo # 2. Intervalo de contorno 4 mGal.

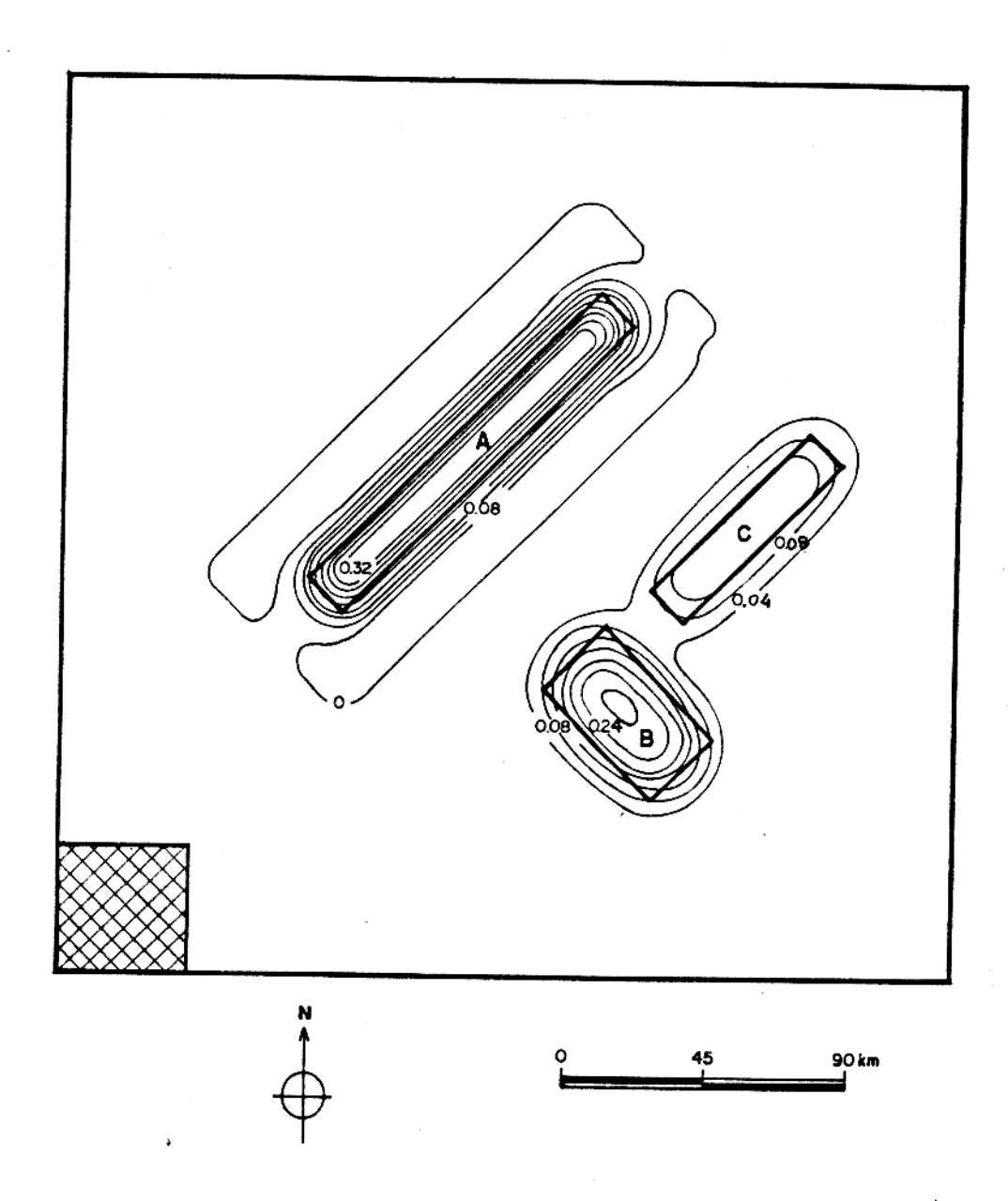
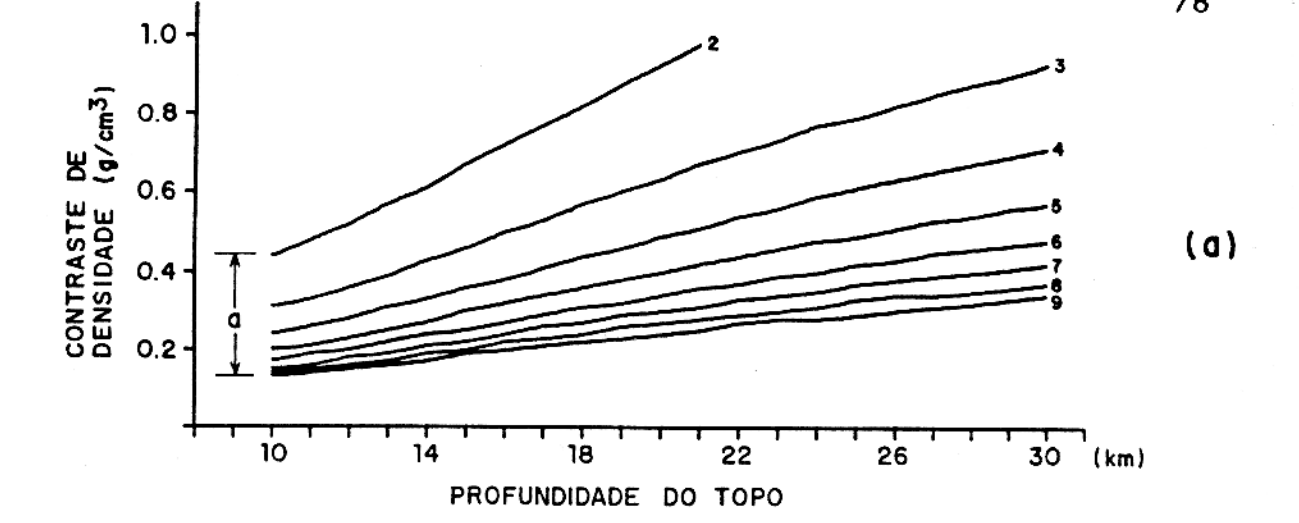
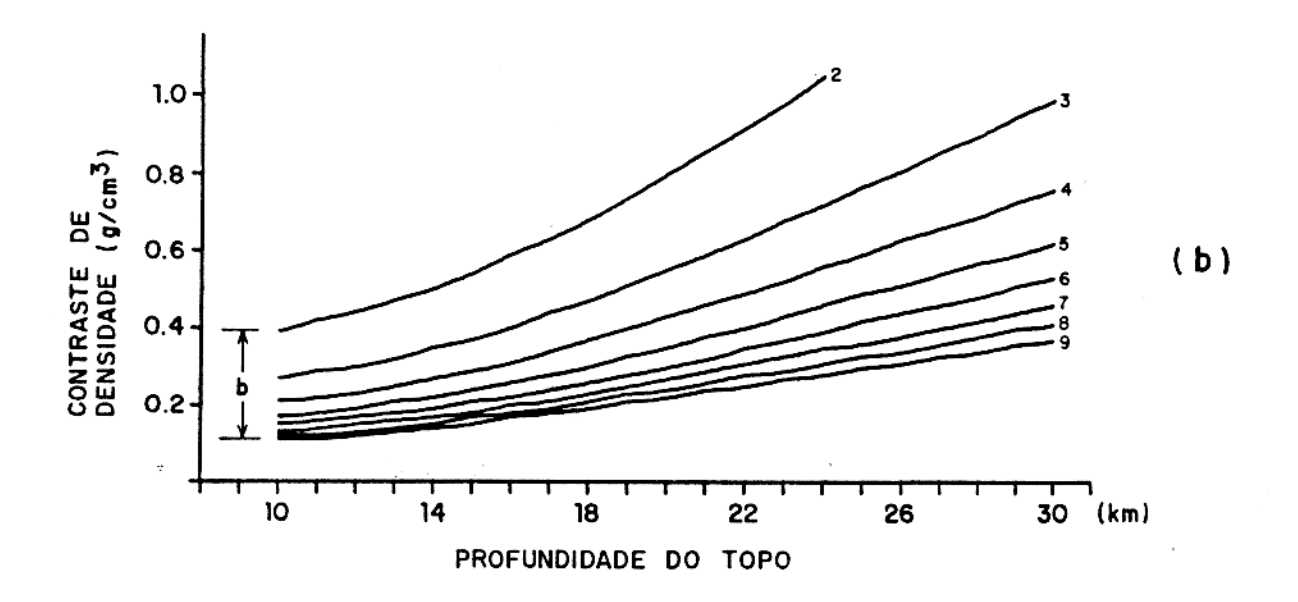


Fig. 19 - Mapa de contraste de densidade aparente obtido a partir do campo sintético do Modelo ‡ 2, postulando uma profundidade do topo de 15 km e espessura de 4 km para a placa que contém as fontes. As fontes reais, cujos contornos são mostrados em linha grossa, têm profundidades do topo e espessuras, respectivamente, de 15 km e 5 km (corpo A), 20 km e 4 km (corpo B) e 22 km e 4 km (corpo C). O valor de λ empregado foi de 0,1 e a janela de dados, mostrada no canto inferior esquerdo, tem dimensão de 6 X 6 intervalos de espaçamento. Intervalo de contorno 0,04 g/cm³.

com espessuras de 4 km. Este mapa mostra que o contorno de cada um dos prismas pode ser delineado, aproximadamente, pela cur va de contorno referente à metade do valor máximo do contraste de densidade aparente correspondente a cada prisma. No caso dos dois corpos alongados na direção NE-SW (A e C) a curva correspondente à metade do valor máximo do contraste aparente fornece uma estimativa da largura maior do que a real, decorrente das reduzidas dimensões dos prismas A e C na direção NW-SE (14 km) em relação às dimensões das fontes prismáticas elementares (7,5 km). Para que a largura seja bem estimada, ela deve ser pelos menos três vezes maior do que a dimensão da fonte elementar (Silva e Holmann, 1984). Apesar disso, a estimativa do comprimento dos dois corpos (A e C), na direção NE-SW coincide com o comprimento real.

As Figuras 20a, 20b e 20c mostram famílias de curvas de densidade aparente versus profundidade do topo para diversos valores de espessuras para os corpos A, B e C do modelo # 2, respectivamente. Estes gráficos mostram que, na presença de múltiplas fontes, pode-se obter uma relação semi-quantitativa entre as profundidades do topo das diversas fontes, através da análise da inclinação das curvas. Os corpos produzindo curvas de densidade aparente com maior inclinação serão os mais rasos. Por exemplo, o corpo mais raso A apresenta curvas mais inclina-(Figura 20a) que o corpo B que está mais fundo (Figura 20b). O corpo C é o mais fundo de todos e apresenta as curvas mais suaves. Além disso, a diferença entre os valores da densidade aparente correspondente ao menor e maior valor da espessura, para o menor nível de profundidade presumido (distâncias a, b e c nas Figura 20a, 20b e 20c, respectivamente) também caracteriza a profundidade relativa da fonte real. Por exemplo





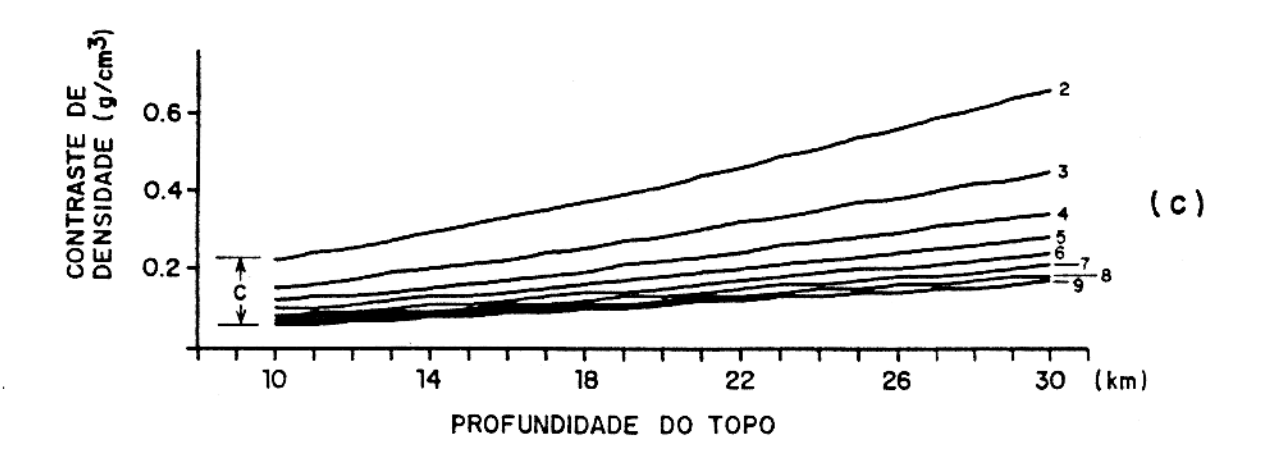


Fig. 20 - Famílias de curvas de contraste de densidade aparente versus profundidade do topo da placa para diversos valores de espessura (em km) para os corpos A (a), B (b) e C (c), cujos contornos estão assinalados na Figura 19, tendo profundidades do topo a 15 km, 20 km e 22 km, respectivamente.

na Figura 20 temos a > b > c, correspondendo ao corpo A mais ra so que o corpo B e este mais raso que o corpo C. A determinação do valor absoluto de um dos 3 parâmetros (densidade, profundidade do topo e espessura), no entanto, dependerá do conhecimento a priori sobre os outros 2.

4.4 - Conclusões

Apresentamos uma solução do problema inverso linear em gravimetria, voltado à interpretação de anomalias intracrus tais, que consiste no mapeamento de contrastes de densidades aparentes a partir do mapa de anomalia Bouguer.

Para realizar este mapeamento é necessário postular ou ter informação <u>a priori</u> sobre a profundidade do topo e a espessura das fontes elementares que discretizam a placa onde as fontes estão supostamente confinadas, obtendo-se então os limites laterais do corpo causador da anomalia através da inspeção da curva correspondente à metade do valor máximo do contraste de densidade aparente mapeado. Quando se postulam valores para a profundidade do topo e para a espessura que não são os valores verdadeiros, ainda assim se obtém estimativas razoáveis dos limites laterais do corpo, mesmo na presença de corpos interferentes.

Através do método desenvolvido é possível ainda obter-se famílias de curvas, envolvendo o contraste de densidade aparente, a profundidade do topo e a espessura postuladas, que possibilitam uma interpretação quantitativa ou semi-quantitativa dependendo da quantidade e da qualidade da informação a priori disponível sobre os três parâmetros. Nas análises com

dados sintéticos obtivemos estimativas para a profundidade do topo menores do que as verdadeiras em decorrência da utilização de um valor do parâmetro de amortecimento menor do que o necessário para recuperar corretamente a amplitude máxima da densida de aparente. No entanto, mesmo no caso de fontes interferentes, as estimativas das profundidades relativas estão de acordo com os do modelo teórico.

5 - APLICAÇÃO EM DADOS REAIS

5.1 - Introdução

No contexto da Plataforma Sul-Americana, vários modelos geotectônicos tem sido propostos para explicar as diferentes feições lito-estruturais presentes no domínio do seu embasa mento. Assim, por exemplo, têm sido contemplados modelos de evolução ensiálica para muitas faixas de dobramentos (Almeida, 1968; Hasui et al., 1975; Brito Neves, 1975; Sá et al., 1976; Pflug e Renger, 1973; Costa e Inda, 1982); de evolução envolven do ciclo de Wilson (Torquato e Fogaça, 1981; Marini et al., 1981; Ribeiro e Lichtenberg, 1978; Issler, 1982; Abreu et al., 1984); de evolução em contexto de "back-arc" (Porada, 1979; Cesar, 1980; Jost, 1984); e de evolução envolvendo belts" (Almeida, 1981; Mascarenhas, 1981; Mello, 1978; Cordani e Brito Neves, 1982). No entanto, a maioria dos modelos propostos não recebeu um suporte adequado dos diferentes métodos geofísicos de modo que a interpretação da estrutura crustal, volta da para o entendimento geodinâmico, ficou prejudicada, chegando-se inclusive a proposição de modelos conflitantes para mesàreas (Marini et al., 1981; Hasui et al., 1981; Hasui e mas Haralyi, 1985).

Apenas em algumas regiões foram desenvolvidos trabalhos geológicos com apoio da interpretação de dados geofísicos
envolvendo, particularmente, dados de levantamentos gravimétricos. Os primeiros trabalhos foram desenvolvidos no Estado da
Bahia (Gomes e Motta, 1978) e no oeste do Estado de Minas Gerais e regiões adjacentes (Haralyi, 1978). Mais recentemente,

a partir da integração e interpretação a nível regional dos dados geofísicos disponíveis têm sido divulgados modelos geotectô nicos para diferentes regiões do território brasileiro, a exemplo do oeste de Minas Gerais e regiões adjacentes (Almeida et al., 1980), leste de Pernambuco, Alagoas, centro-norte de Sergi pe e nordeste da Bahia (Rand et al., 1980), do Estado da Bahia (Davino, 1980), do Estado de Goiás (Haralyi et al., 1985), da região Amazônica (Hasui et al., 1984), do Estado de Minas Gerais (Haralyi et al., 1985) e da parte leste do Brasil (Haralyi e Hasui, 1982a e b e 1985), mostrando que estudos envolvendo a integração geologia-geofísica são fundamentais no entendimento da estrutura crustal. Tais interpretações demonstram a existên cia de vários blocos crustais que se articulam através de descontinuidades de baixo ângulo com caráter de cavalgamento, além de descontinuidades de alto ângulo com grandes deslocamentos ho rizontais. Nas regiões de interação entre os blocos, as unidades litológicas experimentaram forte estiramento e estão arranjadas em um padrão anastomótico ou lenticularizado, definindo faixas linearizadas que, em alguns casos, podem alcançar algumas centenas de quilômetros de largura. Nesse contexto, comparecem rochas de alto grau metamórfico (gnaisses diversos, corpos metamáficos e/ou metaultramáficos e metassedimentos). As porções internas dos blocos são formadas, no geral, por tóides sequências metavulcano-sedimentares do tipo "greenstone belts" e, ao contrário das porções de interação dos blocos, não apresentam arranjos fortemente linearizados.

Desta forma, tornou-se possível a visualização das relações estruturais e tectônicas entre os terrenos granitos"gréenstone" e os cinturões de alto grau no contexto da evolúção da crosta continental antiga no Brasil.

Com esse enfoque, aplicou-se o método gravimétrico em busca do entendimento da arquitetura crustal na região que compreeende os setores norte e noroeste dos estados do Piauí e Cea respectivamente. A interpretação dos dados gravimétricos será feita de acordo com a metodologia desenvolvida nos capítulos anteriores do presente trabalho e não com os métodos corren temente usados. A metodologia desenvolvida consiste da separação das componentes regional e residual, do mapeamento da topo grafia da interface crosta-manto a partir da componente regional e do mapeamento dos contrastes de densidades das fontes intracrustais a partir da componente residual, tendo cada etapa sido analizada individualmente através de testes com dados sintéticos. Com o objetivo de avaliar a aplicação simultânea das três etapas em uma determinada área, apresentamos a seguir teste com dados sintéticos simulando um contexto geológico seme lhante ao que esperamos encontrar na área a ser estudada.

5.2 - Metodologia aplicada a dados sintéticos

O modelo teórico ao qual será aplicada a metodologia corresponde ao modelo # 3 do capítulo 2. Este modelo tem como fontes regionais profundas prismas verticais justapostos com a profundidade do topo variando entre 27,5 e 29,5km e como fontes residuais dois prismas verticais finitos, com a mesma profundidade do topo de 12,5 km, mesma espessura de 2,5 km e o mesmo contraste de densidade de 0,2 g/cm. Assim sendo, o campo gravimétrico total (Figura 7a) que está contaminado com ruído Gaus siano aditivo com média nula e desvio padrão 0,3 mGal é o resultado da superposição do campo regional teórico (Figura 10)

com o campo residual teórico (Figura 8a). O campo regional foi modelado por um polinômio de grau 9 pelo método PNW e o resulta do é mostrado na Figura 7e. O campo residual (Figura 8d) foi obtido subtraindo-se do campo total (figura 7a) o campo regional produzido pelo método PNW.

Aplicou-se o método da máxima curvatura (Roy, 1966) aos dados do campo regional separado pelo método PNW e obteve-se o intervalo de 26 a 28 km para a profundidade do topo das fontes regionais cujo ponto médio (27 km) foi tomado como estimativa para o nível de referência.

O campo regional separado (Figura 7e) foi transformado no mapa de distâncias verticais da Figura 21a, em relação ao
nível de referência d = 27 km. Este mapa mostra um aumento de
l
resolução das feições causadoras do campo regional, como por exemplo as feições A, B e E, assinaladas nas Figuras 10 e 21a.

A Figura 21b mostra o perfil FF' indicado no mapa de distâncias verticais (Figura 21a), em que é feita a comparação entre a estrutura verdadeira (linha contínua) e a superfície de terminada pelo método de mapeamento da interface (linha tracejada). Observa-se, que a concordância entre as duas superfícies é, em geral, bastante boa, com exceção do baixo C, para o qual o método de ajuste polinomial não tem resolução, devido ao grau do polinômio ajustado ser ainda insuficiente para detetar feições dessa ordem de grandeza.

A Figura 22 mostra o perfil GG' indicado no mapa de distâncias verticais (Figura 21a) em que é feita a comparação entre a estrutura verdadeira (linha contínua) e a superfície de terminada pelo método de mapeamento da interface (linha tracejada). Nota-se, uma concordância boa entre as duas superfícies, embora a superfície calculada apresente um ligeiro desloca-

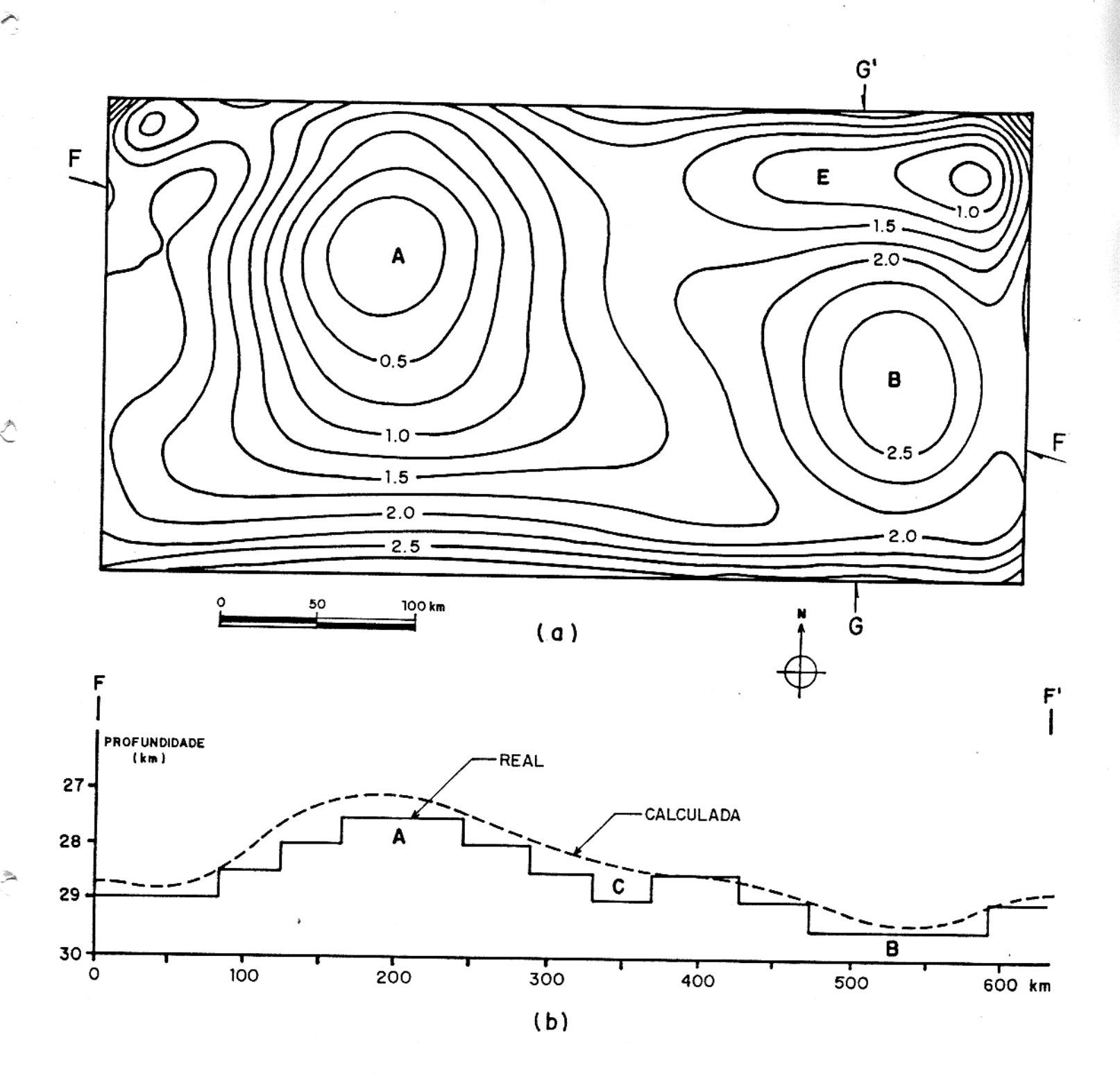


Fig. 21 - (a) Mapa de distâncias verticais em relação ao nível de 27 km, obtido pela transformação do campo regional separado pelo método PNW (Figura 7e). Intervalo de contorno 0,25 km. (b) Perfil FF' comparando a estrutura verdadeira (linha contínua) e a calculada pelo método proposto (linha tracejada).

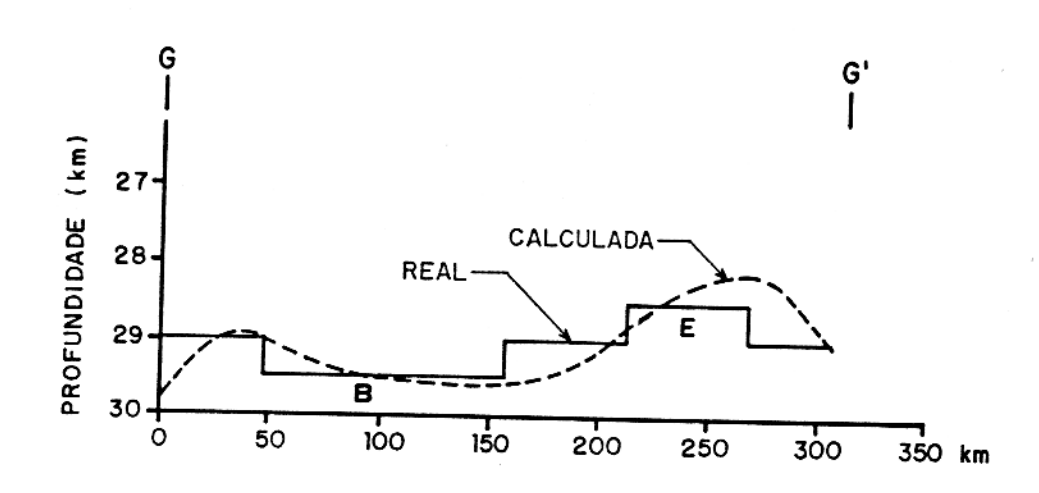


Fig. 22 - Perfil GG' (localizado na Figura 21a) comparando a estrutura verdadeira (linha contínua) e a calculada pelo método proposto (linha tracejada).

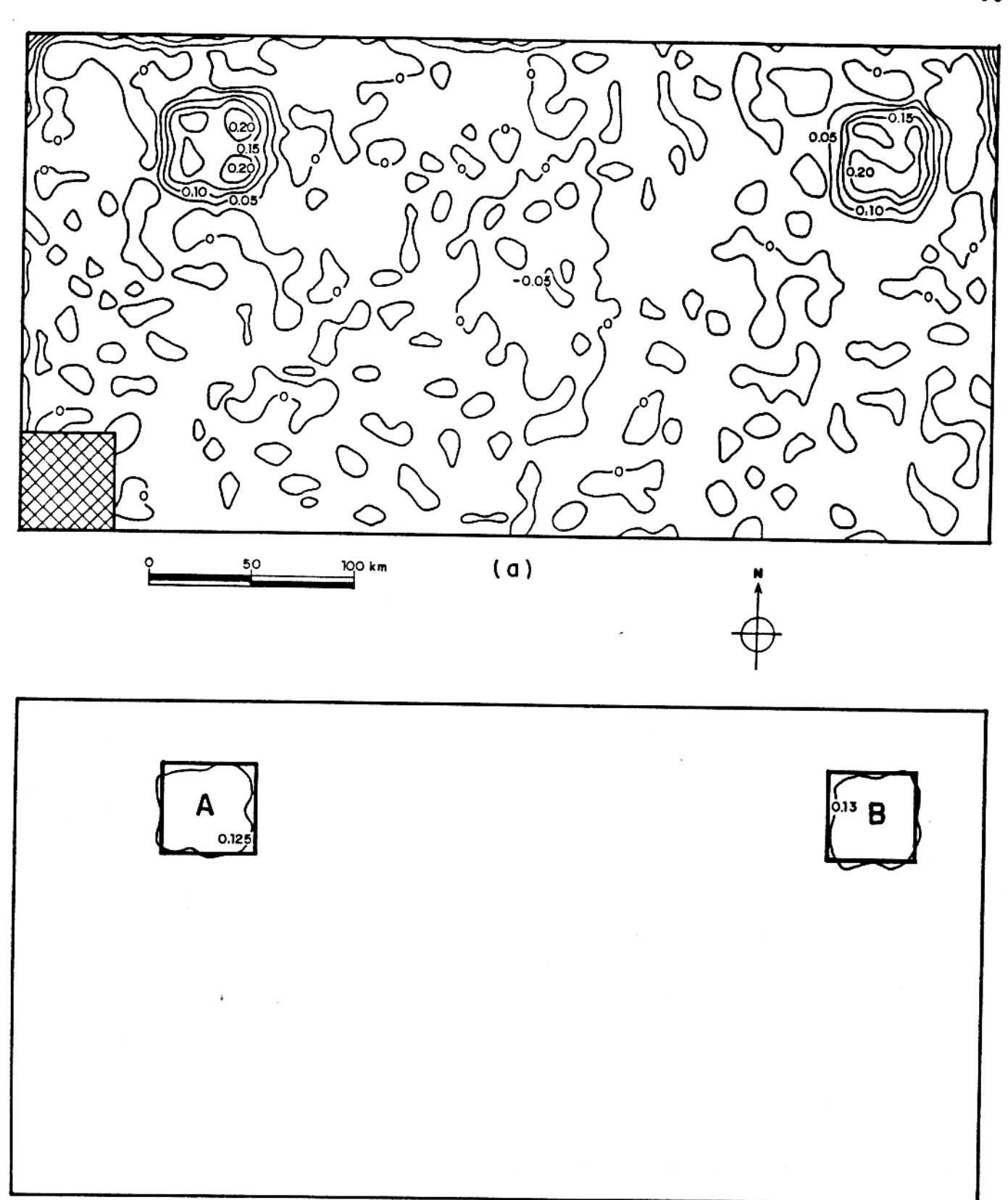
mento em relação à estrutura verdadeira.

A Figura 23a mostra o mapa de contraste de densidade aparente obtido a partir do campo residual da Figura 8d, discretizando-se a placa que, supostamente contém as fontes, em prismas com profundidade do topo de 12,5 km e espessura de 2,5 km. Este mapa mostra que a curva correspondente à metade do valor máximo do contraste de densidade aparente fornece uma boa estimativa dos contornos dos corpos. Neste caso, os valores máximos obtidos para os contrastes de densidade foram de 0,25 e 3 0,26 g/cm para os corpos A e B, respectivamente. As curvas de 0,125 e 0,13 correspondem, portanto, à estimativa dos contornos dos corpos A e B, respectivamente. A Figura 23b mostra os contornos reais dos corpos A e B comparados às curvas de 0,125 e 3 0,125 g/cm, respectivamente.

A Figura 24a mostra o mapa de contraste de densidade aparente obtido, sob as mesmas premissas do mapa da Figura 23, a partir do campo residual da Figura 8b, o qual foi produzido pelo método dos mínimos quadrados. Os valores máximos obtidos para os contraste de densidade foram 0,18 e 0,16 g/cm para os corpos A e B, respectivamente. As curvas de 0,09 e 0,08 g/cm são mostradas na Figura 24b juntamente com os contornos reais dos corpos A e B.

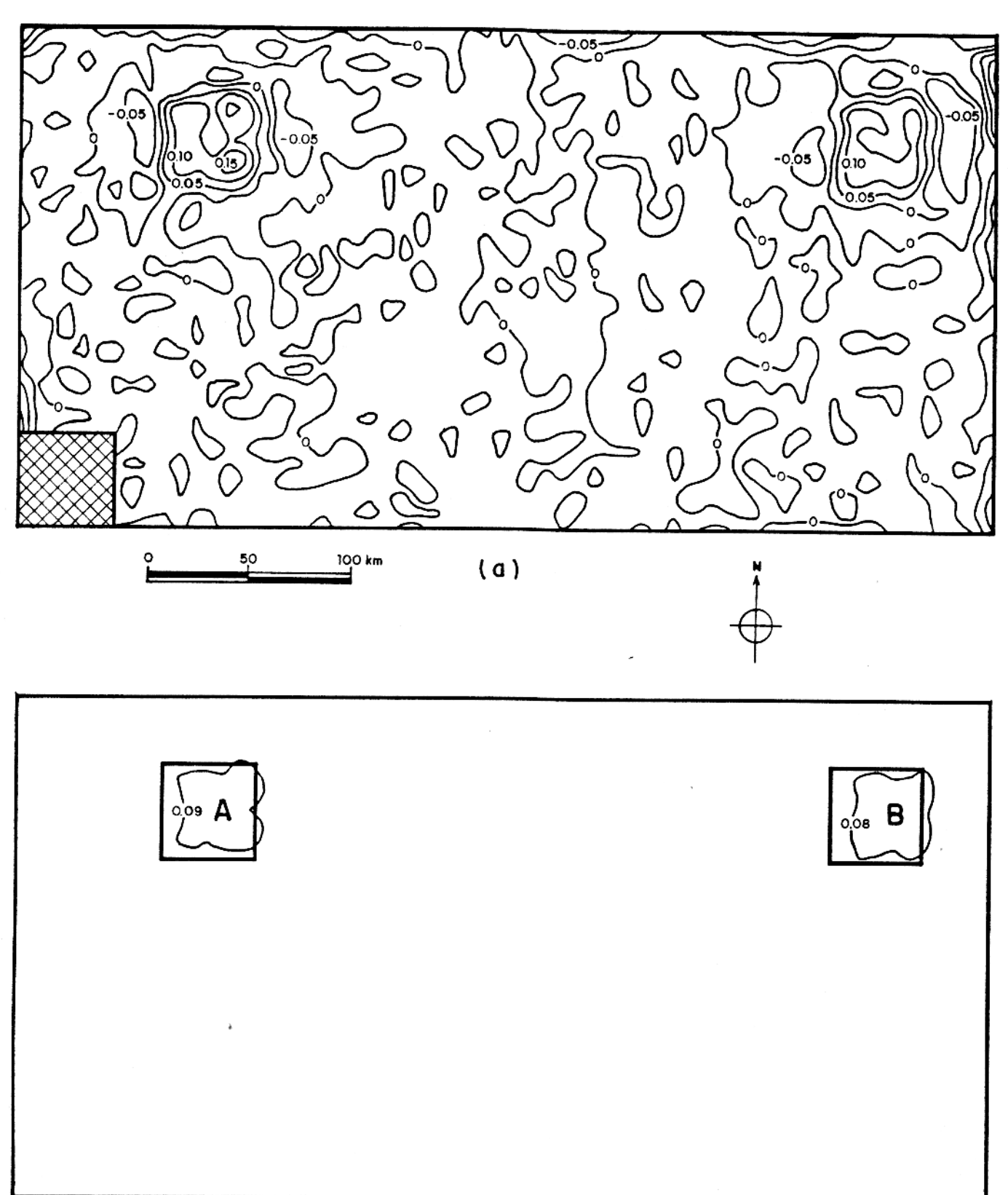
Comparando as Figuras 23b e 24b constatamos que apesar da perda de amplitude ocorrida no campo residual produzido pelo método dos mínimos quadrados, os limites laterais do corpo são tão bem definidos como os obtidos pelo método PNW, no entan to, ligeiramente deslocados.

As Figuras 25a e 25b mostram as famílias de curvas de contraste de densidade aparente versus profundidade do topo para diversos valores de espessura para os corpos A e B, respec-



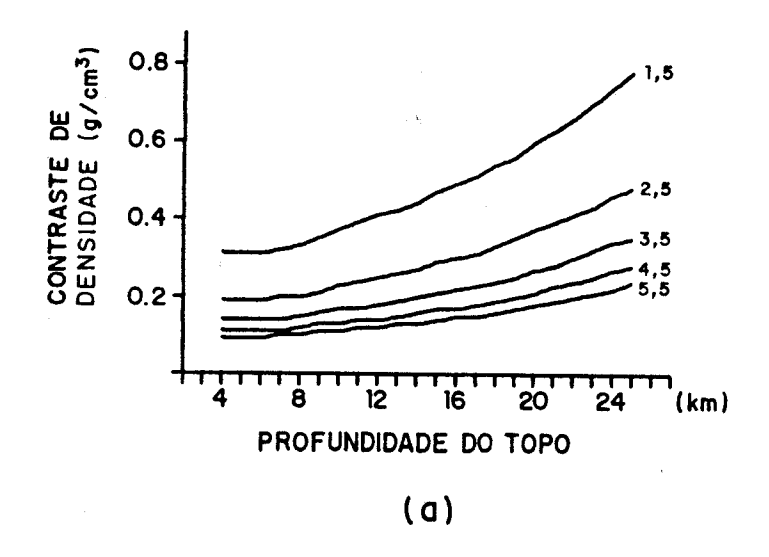
(b)

Fig. 23 - (a) Mapa de contraste de densidade aparente, produzido pela transformação do campo residual obtido por separação através do método PNW (Figura 8d), discrezando-se a placa em prismas com profundidade do topo de 12,5 km e espessura de 2,5 km, empregando λ = 0,1 e a janela de dados, mostrada no canto inferior esquerdo, tem dimensão de 6 X 6 intervalos de espaçamento. Intervalo de contorno 0,05 g/cm³. (b) Comparação entre os contornos reais dos corpos A e B (linha grossa) e os contornos estimados (linha fina).



(b)

Fig. 24 - (a) Mapa de contraste de densidade aparente, produzido pela transformação do campo residual obtido por separação através do método dos mínimos quadrados (Figura 8b), discretizando-se a placa em prismas com profundidade do topo de 12,5 km e espessura de 2,5 km, empregando λ = 0,1 e a janela de dados, mostrada no canto inferior esquerdo, tem dimensão de 6 x 6 intervalos de espaçamento. Intervalo de contorno 0,05 g/cm³. (b) Comparação entre os contornos reais dos corpos A e B (linha grossa) e os contornos estimados (linha fina).



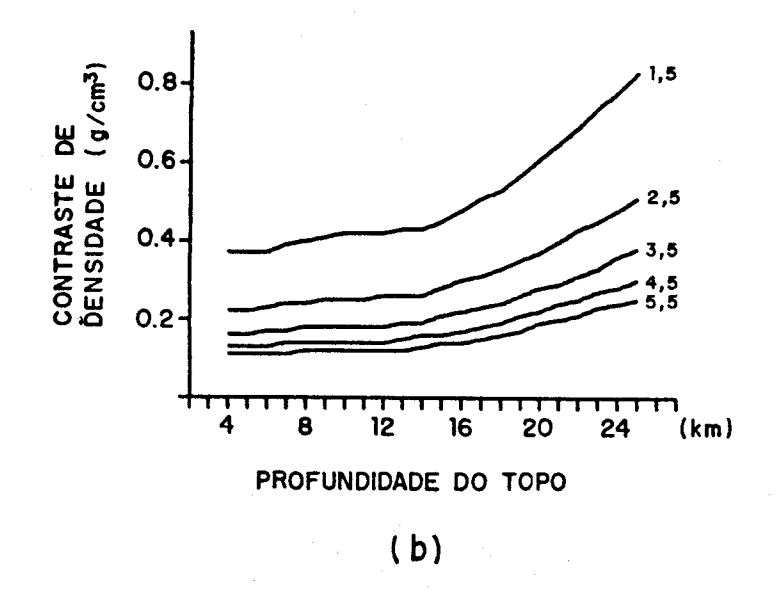


Fig. 25 - Famílias de curvas de contraste de densidade aparente versus profundidade do topo para diversos valores de espessura (em km) para os corpos (a) A e (b) B, assinalados na Figura 23b.

tivamente. Em função da grande distância entre os dois corpos pode-se analisar as famílias de curvas como provenientes de cor pos isolados. Observa-se, no caso do corpo B (Figura 25b), que a família de curvas apresenta um longo intervalo de gradientes sub-horizontais, o que produz grande instabilidade na estimativa da profundidade do topo para pequenas incertezas no contraste de densidade, como por exemplo se utilizarmos 0,26 ou 0,28 g/cm para o contraste de densidade e fixarmos a espessura 2,5 km obteremos 8 ou 13,5 km para profundidade do topo, respec tivamente. Tal situação tem, provavelmente, como causa, o baixo valor do contraste real de densidade (0,2 g/cm) com a grande profundidade em que se encontra o corpo (12,5 km). Sob tais circunstâncias, algumas anomalias podem apresentar este padrão de curvas e outras não, devido, provavelmente, à presença de ruído. Nestes casos, embora as estimativas do contras te de densidade aparente obtidas do mapeamento de densidade sejam razoáveis (0,25 e 0,26 g/cm) para os corpos A e B, respecti vamente), a incerteza na estimativa da profundidade do topo é muito grande. As estimativas obtidas para as profundidades do topo, tanto para o corpo A (6 km) como para o corpo B (8 km), quando se utiliza a espessura correta (2,5 km) são menores do que o valor verdadeiro (12,5 km), conforme já havia sido verificado anteriormente, o que é causado pela introdução do parãmetro de amortecimento (λ = 0,1), e, no presente caso, reforçado pela instabilidade na determinação da profundidade do topo, como consequência do baixo valor do contraste real de densi dade combinado com a grande profundidade real do topo das fontes e pela presença do ruído.

5.3 - Geologia

A área estudada compreende parte dos estados do Piauí e Ceará com os seguintes limites: a leste o meridiano 39 30' W; a oeste o rio Parnaíba; a norte a costa Atlântica e a sul o paralelo 6 S (Figura 26). Nesta área ocorrem produtos lito-estruturais arranjados complexamente e atribuídos ao Arqueano, Proterozóico e Fanerozóico. Para facilitar o entendimento desse quadro geológico (Figura 27) são apresentados e discutidos aqui os dados geológicos inerentes aos setores E, N e W da área separadamente (Figura 26), de acordo com Gomes et al. (1981), Nascimento et al. (1981), Brasil.DNPM (1983), Abreu et al. (1988) e Gama Jr. (em preparação).

O Setor E é constituído por:

- 1) gnaisses variados, mais ou menos migmatizados, que têm sido enfeixados sob as designações Complexo Nordestino e Complexo. Itatira; tais rochas são predominantes;
- 2) rochas granulíticas da região de Tróia, Boa Vista e Pedra Branca;
- 3) xistos máficos e ultramáficos e gnaisses que parecem representar uma sequência metavulcano-sedimentar, referida sob a denominação Complexo Pedra Branca; compõem faixas restritas;
- 4) metassedimentos diversos (filitos, xistos, quartzitos, gnais ses, mármores) do Grupo Ceará; essas rochas constituem faixas esparsas;
- 5) granitóides intrusivos ocasionais.

As idades dessas rochas não estão determinadas com se gurança, sendo atribuídas ao Pré-Cambriano Inferior a Superior (Gomes et al., 1981).

O Setor E é delimitado pelas zonas de cisalhamento

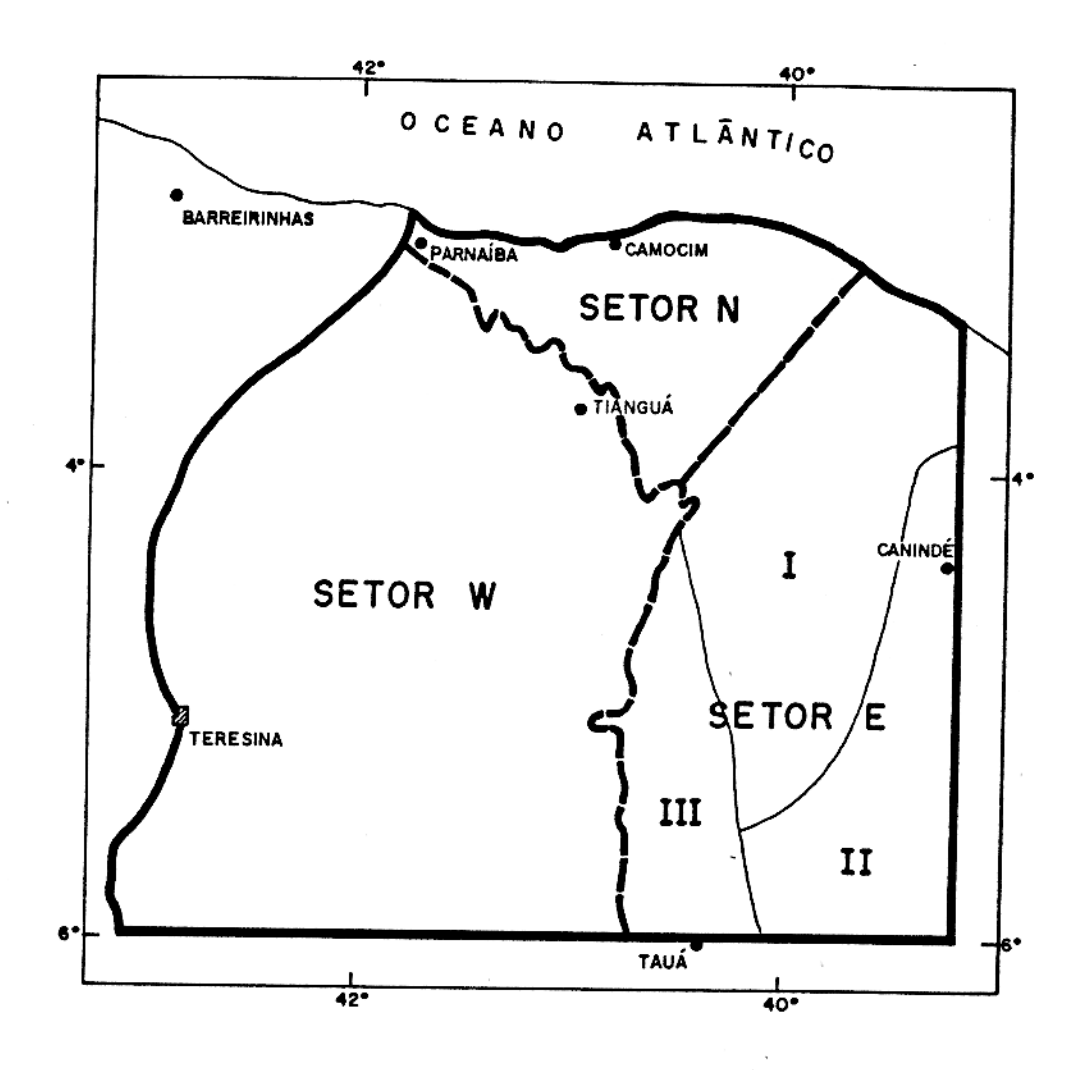


Fig. 26 - Mapa de localização da área estudada, mostrando os setores N, E e W (separados pela linha grossa trace-jada) e a subdivisão do Setor E nos compartimentos I, II e III (separados pela linha contínua fina).

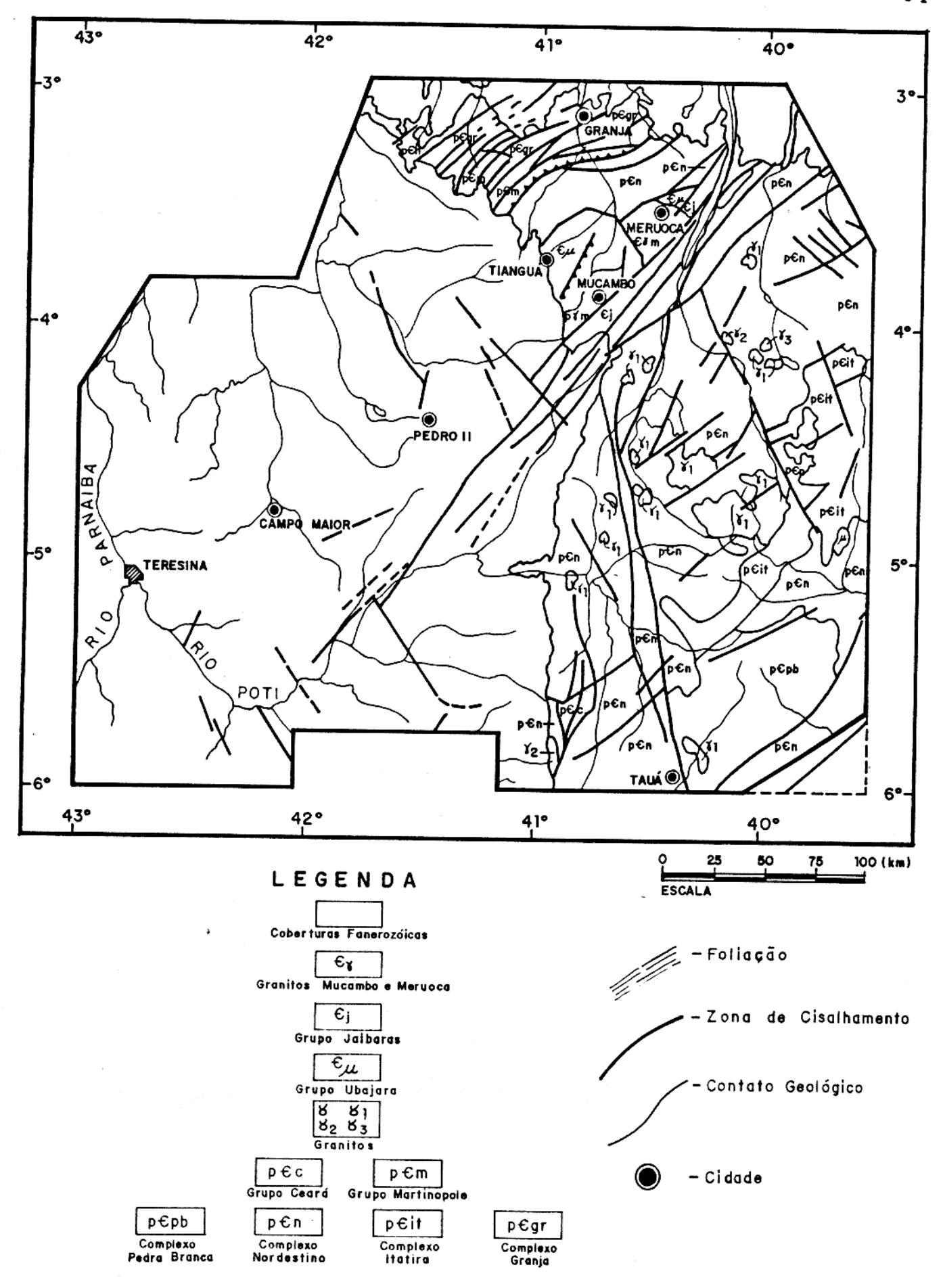


Fig. 27 - Mapa geológico da área estudada compilado a partir de Gomes et al., 1981, Nascimento et al., 1981 e Abreu et al., 1988.

transcorrente de Sobral-Pedro II a noroeste e Senador Pompeu a sudeste. Outras zonas de cisalhamento de menor porte estão também presentes, como a de Tauá na porção sudoeste.

Essas feições de movimentação direcional afetam estru turas preexistentes vinculáveis a tectônica compressiva, das
quais a foliação (bandamento composicional, xistosidade e folia
ção milonítica, em geral paralelizados) é a mais importante.

O Setor N é formado por:

- 1) gnaisses diversos, mais ou menos migmatizados, que são enfei xados no Complexo Nordestino; são os litotipos mais expressivos;
- 2) gnaisses granulíticos, de composições variadas, fortemente cisalhados, mais ou menos migmatizados, reunidos no Complexo Granja;
- 3) xistos, filitos e quartzitos, que representam os litotipos essenciais do Grupo Martinópole;
- 4) metassedimentos psamíticos, pelíticos e carbonáticos, de bai xo grau, reunidos no Grupo Ubajara;
- 5) sedimentos imaturos, vulcanitos e hipabissais básicas e áci das, do Grupo Jaibaras;
- 6) granitóides intrusivos (Meruoca e Mucambo).

As unidades 1, 2 e 3 não têm idades bem definidas, sendo atribuídas ao Pré-Cambriano Inferior. Já as unidades 4, 5 e 6 são vinculadas ao Ciclo Brasiliano (Proterozóico Superior/Cambro-Ordoviciano).

As zonas de cisalhamento transcorrentes presentes são numerosas, destacando-se a de Sobral-Pedro II que limita o Setor a sudeste. Tais zonas de cisalhamento afetam feições estru turais mais antigas, que nas unidades 1, 2 e 3 são atribuídas a um evento de cisalhamento compressivo, sendo de se destacar a

foliação de direção NE-SW e mergulho baixo para SE.

O Setor W compreende parte da Bacia do Parnaíba, representada por rochas de toda a seção paleozóico-mesozóica, bem como sedimentos e lateritas mais jovens. As estruturas que se destacam são falhas normais, principalmente de direção NNE-SSW e NW, que parecem refletir reativação de descontinuidades do embasamento.

No domínio da Província Borborema, foram referidos ma - ciços gnáissico-migmatítico-graníticos alternados com sistemas de dobramentos, Santos e Brito Neves (1984). Os maciços envolvendo essencialmente rochas gnáissicas e graníticas mais ou menos migmatizadas, são representados pelos blocos de Tauá, Santa Quitéria e Granja. Os sistemas de dobramentos compreendem essencialmente pacotes de rochas supracrustais e são representados pelas faixas Rio Curu-Independência e Médio Coreaú.

Considerando as últimas informações lito-estruturais (Abreu et al., 1988; Gama Jr., em preparação) dessa região é possível dividir a área em cinco compartimentos geotectônicos maiores que são o Setor N, Setor E subdividido nos compartimento I, II e III e o Setor W (Figura 26).

O Setor N é caracterizado por faixas de gnaisses diversos (granito-gnaisses, gnaisses tonalíticos, gnaisses anfibolíticos e gnaisses granulitos) alternados com faixas de rochas supracrustais (xistos, filitos e quartzitos) orientadas, preferencialmente, na direção NE-SW, definindo um aleitamento tectônico. Essa estruturação está relacionada a um evento de deslocamento de baixo ângulo que levou à edificação de um cinturão de cisalhamento a partir do cavalgamento do bloco a leste da cidade de Granja sobre o bloco a oeste, permitindo a exposição de rochas granulíticas da base do bloco orien-

tal. Esse processo foi acompanhado de metamorfismo sob condições do fáceis anfibolito. Esse quadro acha-se parcialmente modificado em função da implantação das zonas de cisalhamento dúctil direcionais, de alto ângulo, orientadas na direção NE-SW e pelo desenvolvimento de um sistema de grábens e horstes que alojam as unidades mais jovens (grupos Ubajara e Jaibaras).

O compartimento I do Setor E, corresponde à parte cen tro-leste da área, e é caracterizado essencialmente por conjuntos gnáissicos e graníticos contornados por unidades supracrustais. No conjunto gnáissico predominam estruturas dômicas, geralmente alongadas, que se assemelham a ovais gnáissicas no sen tido de Mac Gregor (1951). Os pacotes de rochas supracrustais, alguns com natureza vulcano-sedimentar (Complexo Pedra Branca), apresentam uma estruturação complexa com pelo menos duas gerações de dobras apertadas, ocupando, em parte, espaços interovais. O padrão geral de distribuição das unidades, pelo menos no que é mostrado no mapa geológico apresentado por Gomes et al. (1981), não chega a configurar um quadro característico dos terrenos granito-"greenstone" definidos em regiões clássicas, a exemplo dos crátons da Rodésia e Kaapval, mas alguns elementos desses terrenos podem ser observados com facilidade no contexto da região. A dificuldade de reconhecer tal padrão parece em grande parte devida à superposição de eventos tectônicos mais jovens responsáveis pelo desenvolvimento de zonas de cisalhamento dúctil de alto ångulo.

O compartimento II do Setor E é definido por gnaisses tonalíticos, gnaisses anortosíticos, leptinitos intercalados com rochas supracrustais definindo um aleitamento tecto nico orientado na direção NE-SW com caimento para SE. Essa estruturação está associada ao desenvolvimento da Zona de Cisalha

mento Senador Pompeu através de um processo de cisalhamento de baixo ângulo com caráter de cavalgamento que permitiu a exposição de rochas granulíticas que ocorrem nas adjacências das cidades de Tróia, Boa Vista e Pedra Branca.

O compartimento III do Setor E é definido por um conjunto de gnaisses de composição granítica e tonalítica in tercalados com rochas supracrustais, que a exemplo do Setor N e compartimento II, caracterizam um bandamento tectônico orientado na direção submeridiana com caimento para leste. Essa estru turação caracteriza a zona de cisalhamento Tauá originada a par tir de um processo de cisalhamento dúctil, provavelmente de caráter direcional, que propiciou o deslocamento do bloco Indepen dência para sul.

As feições estruturais dos compartimentos II e III se articulam nas adjacências da cidade de Tauá e não há evidência de superposição, indicando que as zonas de cisalhamen to Senador Pompeu e Tauá podem estar ligadas a um único evento tectônico.

Quadros tectônicos semelhantes, envolvendo unidades litológicas antigas, foram descritos na região Central do Brasil (Haralyi e Hasui, 1981, 1982a e b; Hasui e Haralyi, 1985; Costa, 1985), no contexto da plataforma Amazônica (Hasui et al., 1984), Minas Gerais (Haralyi et al., 1985), sul da Africa envolvendo os crátons Kaapvaal e Rodésia e o cinturão Limpopo (Coward, 1980) e noroeste da Europa (Hall, 1986).

O Setor W é representado por sedimentos que fazem parte da Bacia do Parnaíba desenvolvida a partir do Paleo zóico. Essa feição tectônica recobre grande parte dos compartimentos tectônicos do Pré-Cambriano e mostra os reflexos da reativação das linhas de fraqueza antigas, principalmente aquelas

de orientação NE, que se desenvolveram durante o Pré-Cambriano.

5.4 - Dados gravimétricos

A

Um total de 1220 dados foram coletados ao longo estradas existentes (Figura 28) usando um gravímetro LaCoste & Romberg. Cerca de 20% das estações estão localizadas em referências de nível e 73% foram posicionadas nas estradas mapeadas com o auxílio de um odômetro. As 7% restantes foram localizadas em estradas não mapeadas e posicionadas com o auxílio de uma prancheta e do odômetro do carro. A precisão na determinação da altitude é melhor do que 5 cm para as estações localizadas em referências de nível e de 2 m para as restantes, onde as altitudes foram obtidas com altímetros. A posição horizontal das estações não localizadas em referências de nível tem uma imprecisão de cerca de 90 m. A cobertura gravimétrica é aproximadamente uniforme; o espaçamento entre as estações varia de 1 a 17 km com uma média de 8 km. Os dados foram corrigidos para o efeito da latitude usando a "Fórmula Internacional" de 1930 (Nettleton, 1976) e reduzidos para o nível do mar pela cor reção combinada de altitude. A densidade de 2,5 g/cm foi empregada na correção para as estações localizadas sobre rochas sedimentares e 2,67 g/cm para o restante das estações. As incertezas na determinação das posições horizontal e vertical das estações produzem erros máximos de 0,02 e 0,41 mGal nas correções de latitude e altitude, respectivamente. Não foi aplicada aos dados a correção de terreno porque a topografia é essen cialmente suave, com exceção de uma serra, aproximadamente N-S, de 600 m de altitude no centro da área. Os dados resultantes

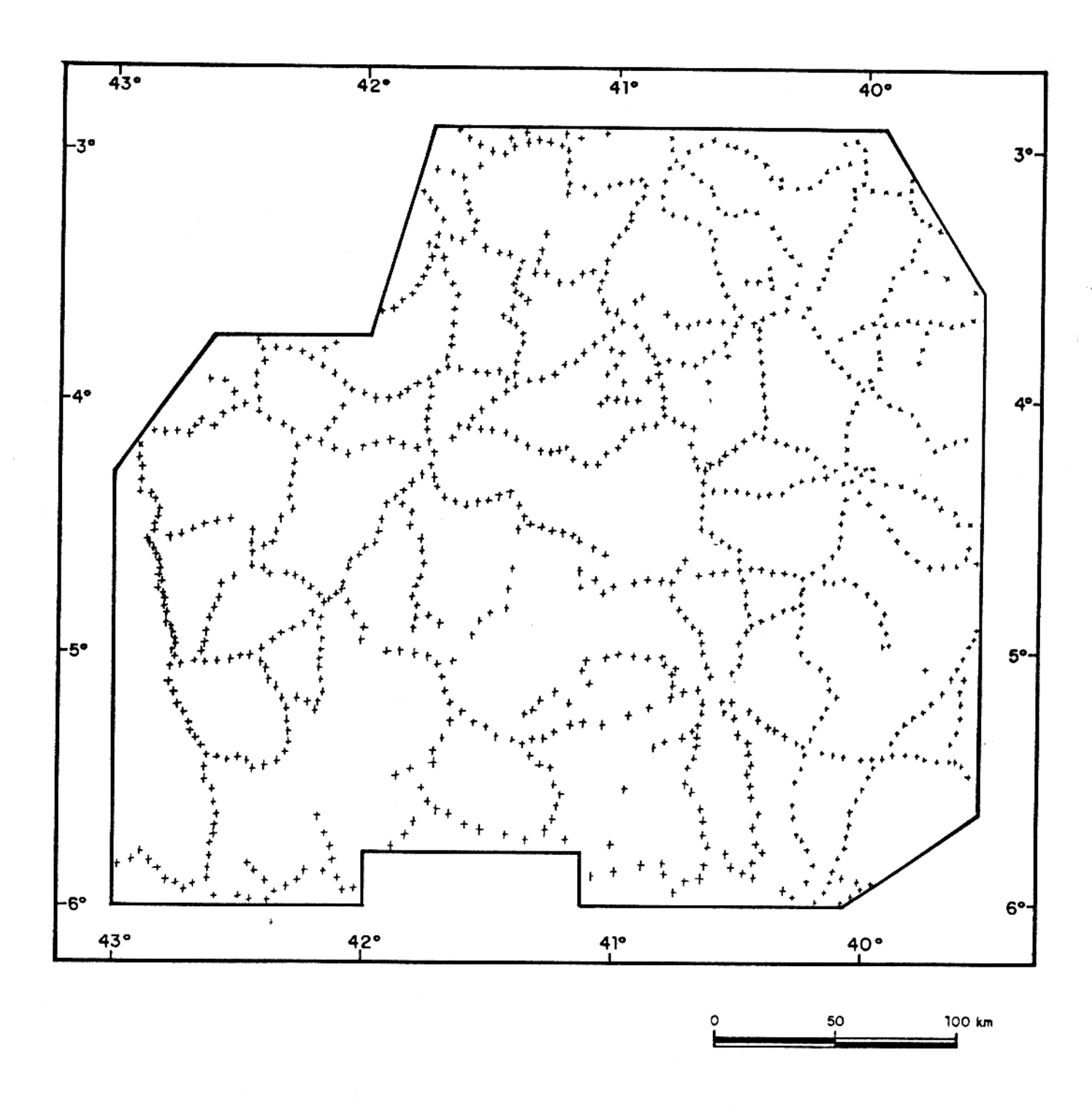


Fig. 28 - Mapa de posicionamento das observações gravimétricas.

foram interpolados para uma malha regular de espaçamento de 7,5 km tanto na direção N-S como E-W usando o método de La Porte (La Porte, 1962). Os dados reduzidos foram contornados por computador para produzir o mapa de anomalia Bouguer (Figura 29).

5.5 - Densidade de rochas

Dentre os diversos tipos de informação geológica priori que fornecem importantes vínculos restritivos na interpretação de dados geofísicos, o contraste de densidade é dos mais fáceis de ser obtido. Assim, procedemos à determinação de densidade de amostras de rochas da área estudada. amostras foram coletadas dentre as rochas que ocorrem no Setor Pode-se verificar pela descrição das litologias que ocorrem área que existe uma predominância de rochas gnáissicas relação aos demais tipos litológicos que ocorrem nos setores N e E da área estudada. No setor W, onde se encontram os sedimentos da Bacia do Parnaíba, é de se esperar que o seu embasaseja constituído essencialmente por rochas gnáissicas. Dentre os diversos tipos de gnaisses temos os gnaisses granulíticos, que compõem o Complexo de Granja, em geral apresentando valores de densidade acima do valor médio estimado de densidade para a crosta superior. Desta maneira, é de se supor que as anomalias gravimétricas que ocorrem na área podem ser produzidas pelo contraste de densidade entre os granulitos e os demais tipos de gnaisses. Portanto, as amostras utilizadas para a deter minação de densidade foram de dois tipos principais de rochas: gnaisses granulíticos e outros gnaisses. Os gnaisses granulíticos foram grupados em função de sua composição em ácidos, in-

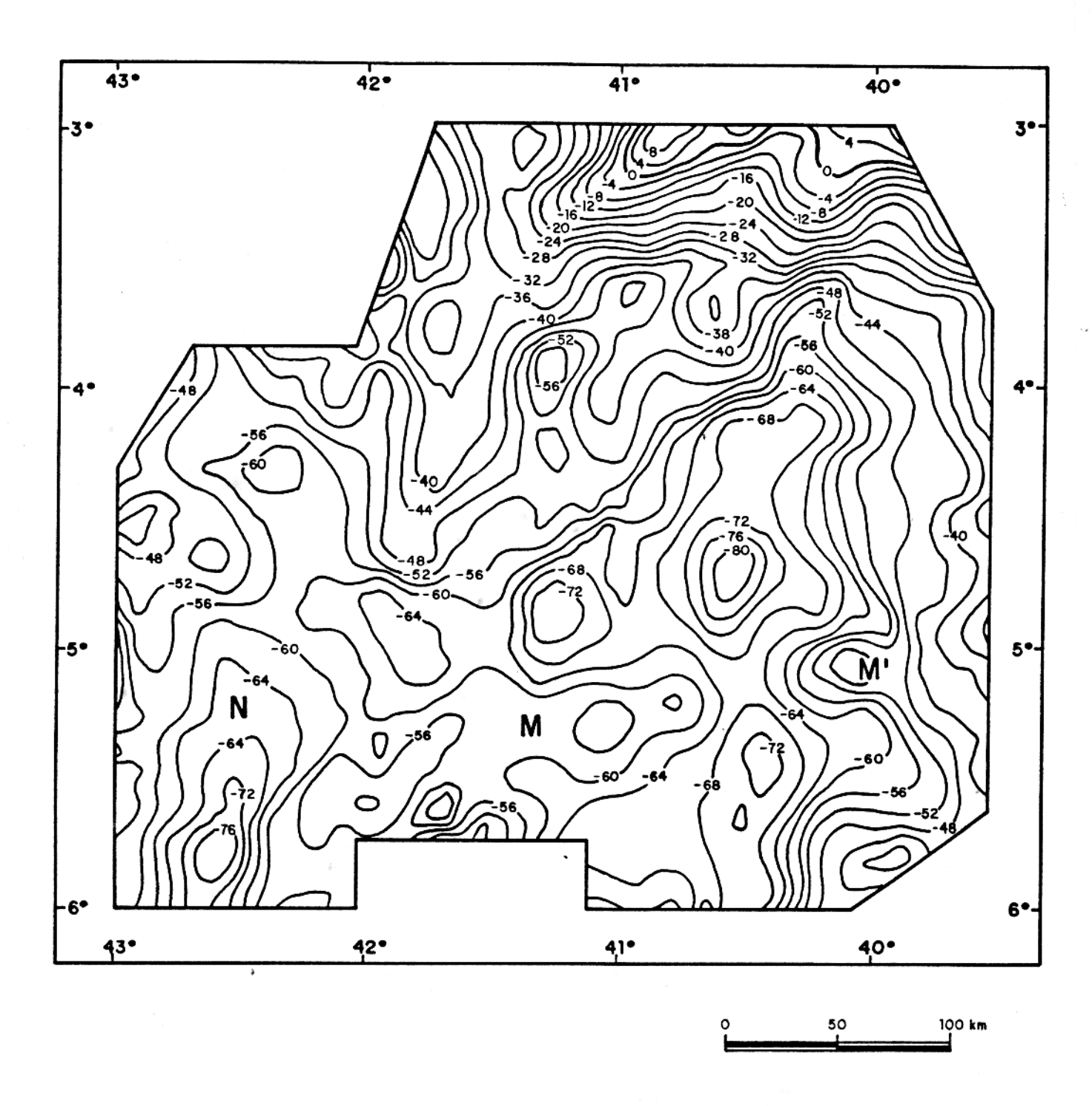


Fig. 29 - Mapa de anomalia Bouguer da área estudada. Intervalo de contorno 4 mGal.

termediários e básicos. Os resultados obtidos constam da Tabe-

TABÉLA 1 : Valores de densidades de amostras de rochas da região NW do Estado do Ceará

,	densidade		
	Nº de amostras	média 3	mediana
	<u> </u>	g/cm	
gnaisses			
granulíticos	3 · *	2,76	2,77
ácidos	•		
gnaisses	*	· · · · · · · · · · · · · · · · · · ·	
granulíticos	. 	2,84	2,83
intermediários			
gnaisses			
granulíticos	3	3,10	3,13
básicos			
outros			
gnaisses	18	2,69	2,69

Inspecionando a tabela acima, verificamos que a representatividade do valor médio é muito boa, uma vez que as médias e medianas para todos os conjuntos de amostras estão bem próximas, indicando a ausência de amostras com densidades muito diferentes do valor médio.

5.6 - Interpretação

A anomalia Bouguer (Figura 29) foi separada em suas componentes regional e residual através do ajuste de polinômios empregando o método robusto que admite pesos positivos e negativos (PNW) apresentado no capítulo 2. Os campos regional e residual estão apresentados nas Figuras 30 e 31, respectivamente. Com o propósito de comparação, os campos regional e residual produzidos pelo método dos mínimos quadrados são mostrados nas Figuras 32 e 33, respectivamente.

O campo regional (Figura 30), interpretado como sendo causado pela interface crosta-manto, exibe um grande baixo (A na Figura 30), de orientação NNE, na porção centro-leste da rea que pode representar um espessamento crustal no setor E, li mitado por FF , cuja expressão em superfície é o Sobral-Pedro II, causado pela compressão e cavalgamento do setor E em relação ao setor N. A direção NNE do baixo gravimétrico A é abruptamente interrompida por uma feição E-W (B na Figura 30), a qual evolui para um baixo menos acentuado de rientação NW-SE (C). O campo regional produzido pelo método dos mínimos quadrados (Figura 32) é qualitativamente equivalen te ao obtido pelo método PNW (Figura 30), mas exibe na borda norte uma grande influência da anomalia residual A (Figura 33). Aplicou-se o método da máxima curvatura (Roy, 1966) aos dados do campo regional (Figura 30) e obteve-se um intervalo de 27 a 38 km para a profundidade do topo das fontes regionais, onde o valor de 27 km foi tomado como estimativa para o nível de referência. O campo regional foi transformado em um mapa de distân cias verticais (Figura 34) entre a interface crosta-manto e o nível de referência de 27 km através do método descrito no ca-

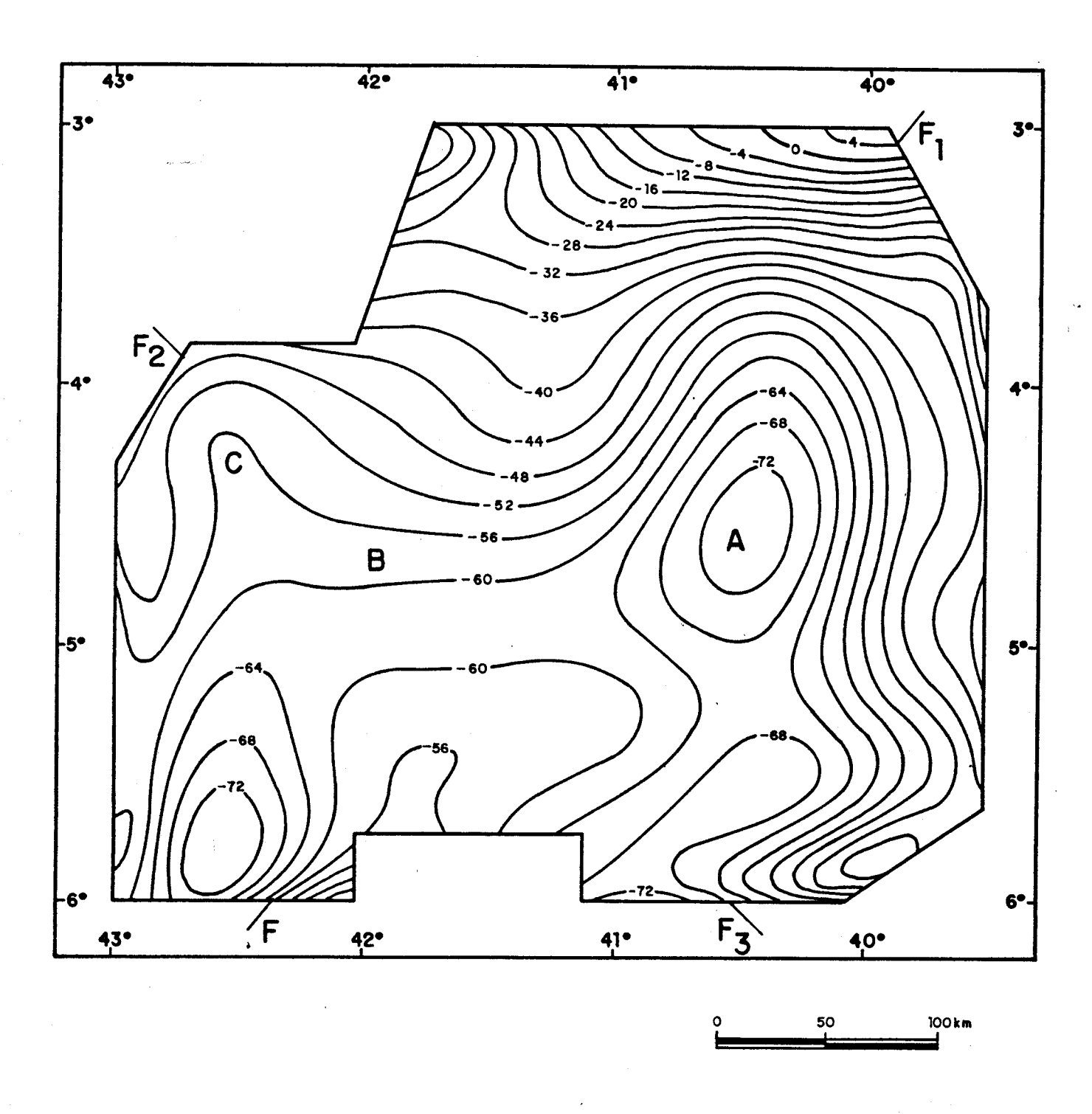


Fig. 30 - Mapa do campo regional da área estudada, obtido pela aplicação do método PNW ao mapa de anomalia Bouguer utilizando um polinômio de grau 9. Intervalo de contorno 4 mGal.

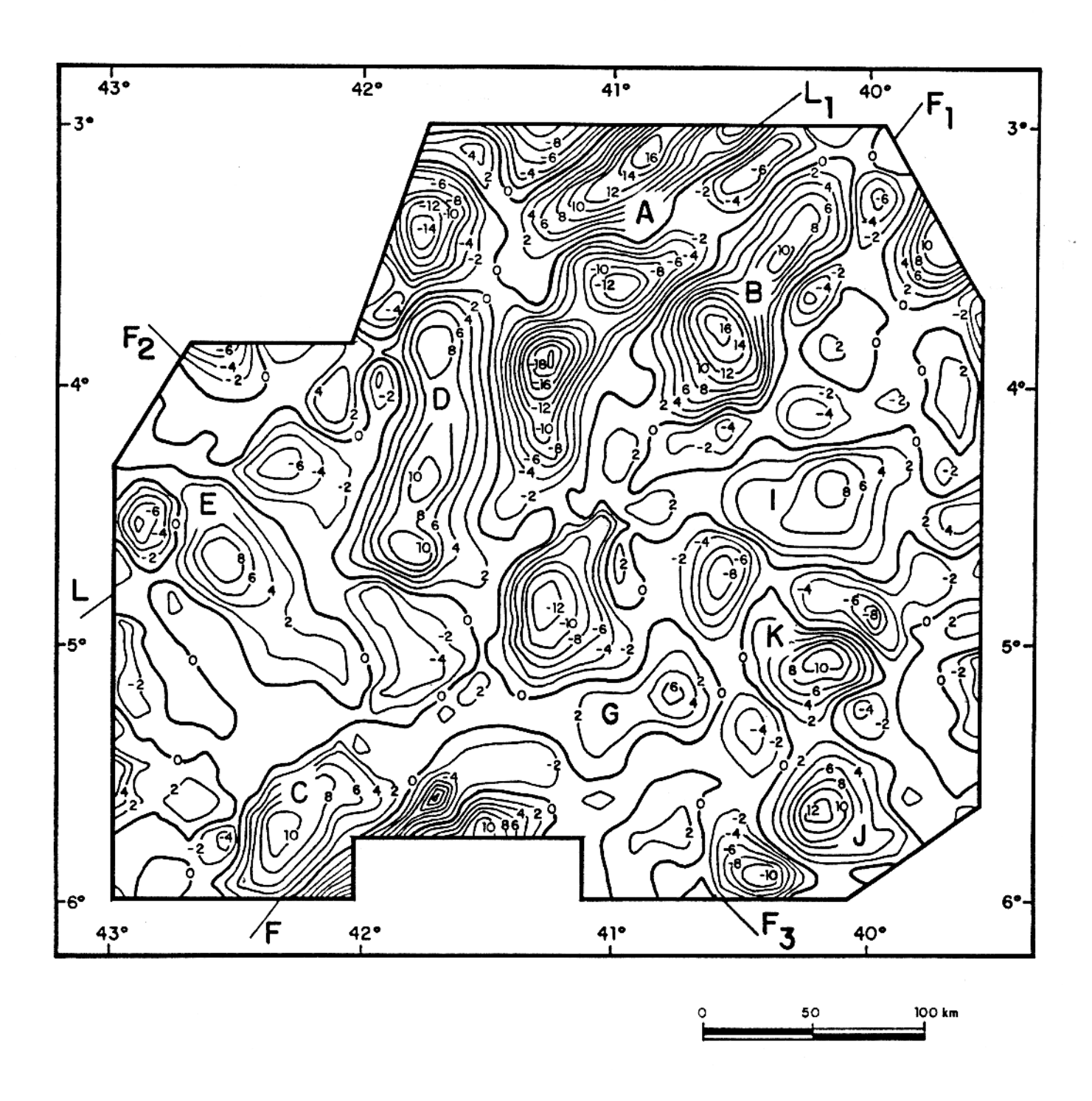


Fig. 31 - Mapa do campo residual da área estudada, obtido pela diferença entre a anomalia Bouguer e o campo regional produzido pelo método PNW. Intervalo de contorno 2 mGal.

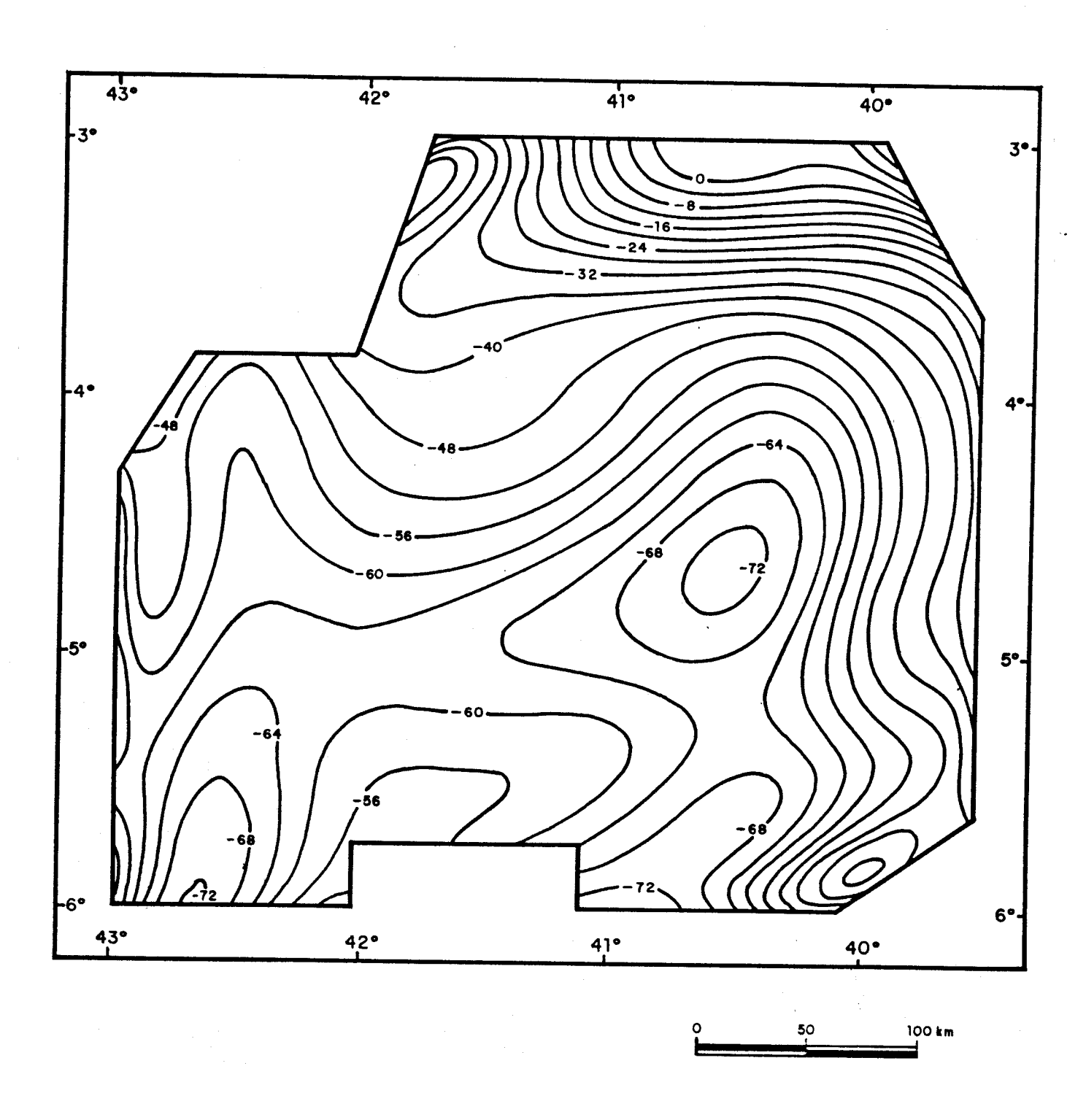


Fig. 32 - Mapa do campo regional da área estudada, obtido pela aplicação do método dos mínimos quadrados ao mapa de anomalia Bouguer utilizando um polinômio de grau 9. Intervalo de contorno 4 mGal.

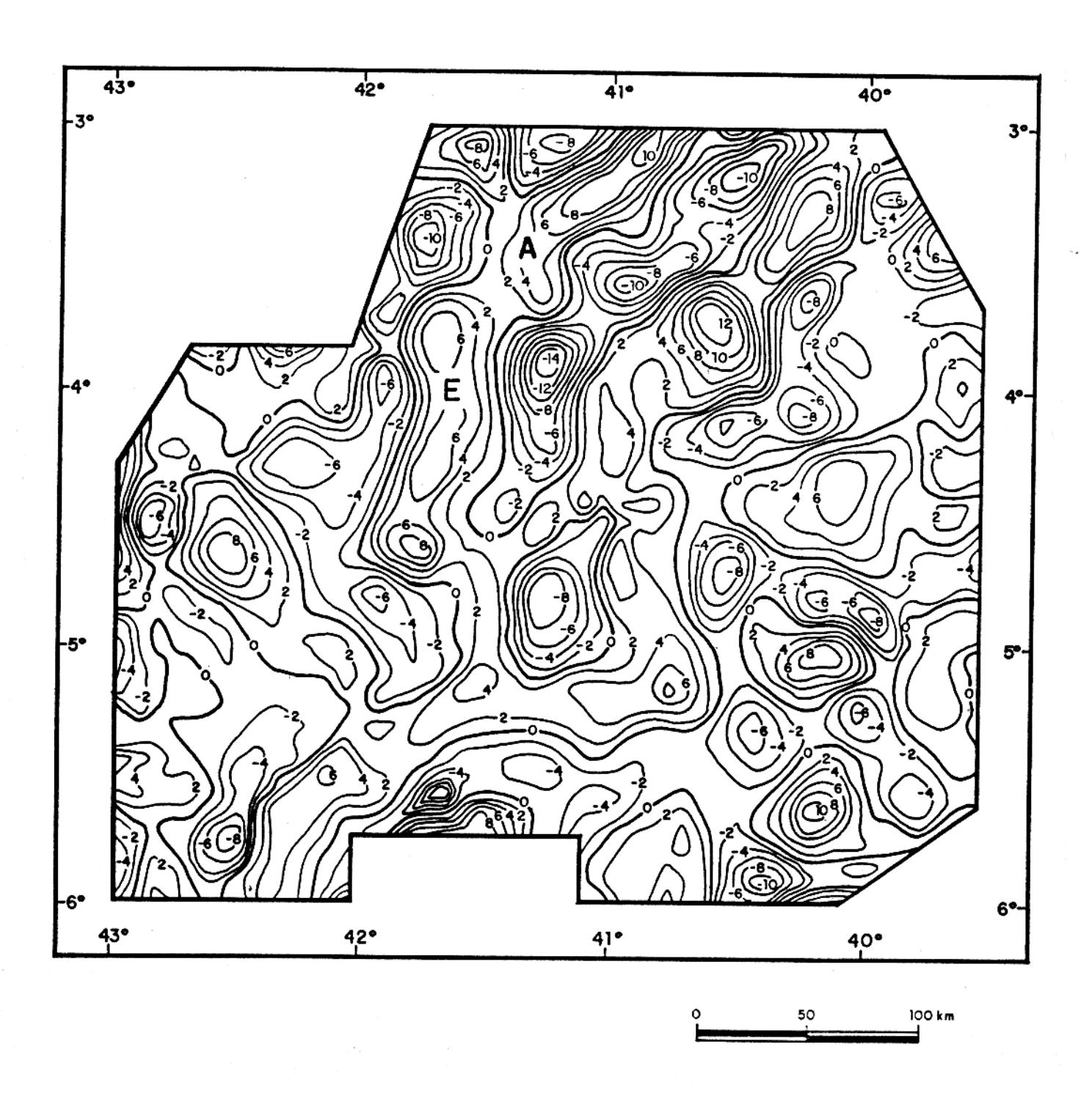


Fig. 33 - Mapa do campo residual da área estudada, obtido pela diferença entre a anomalia Bouguer e o campo regional produzido pelo método dos mínimos quadrados. Intervalo de contorno 2 mGal.

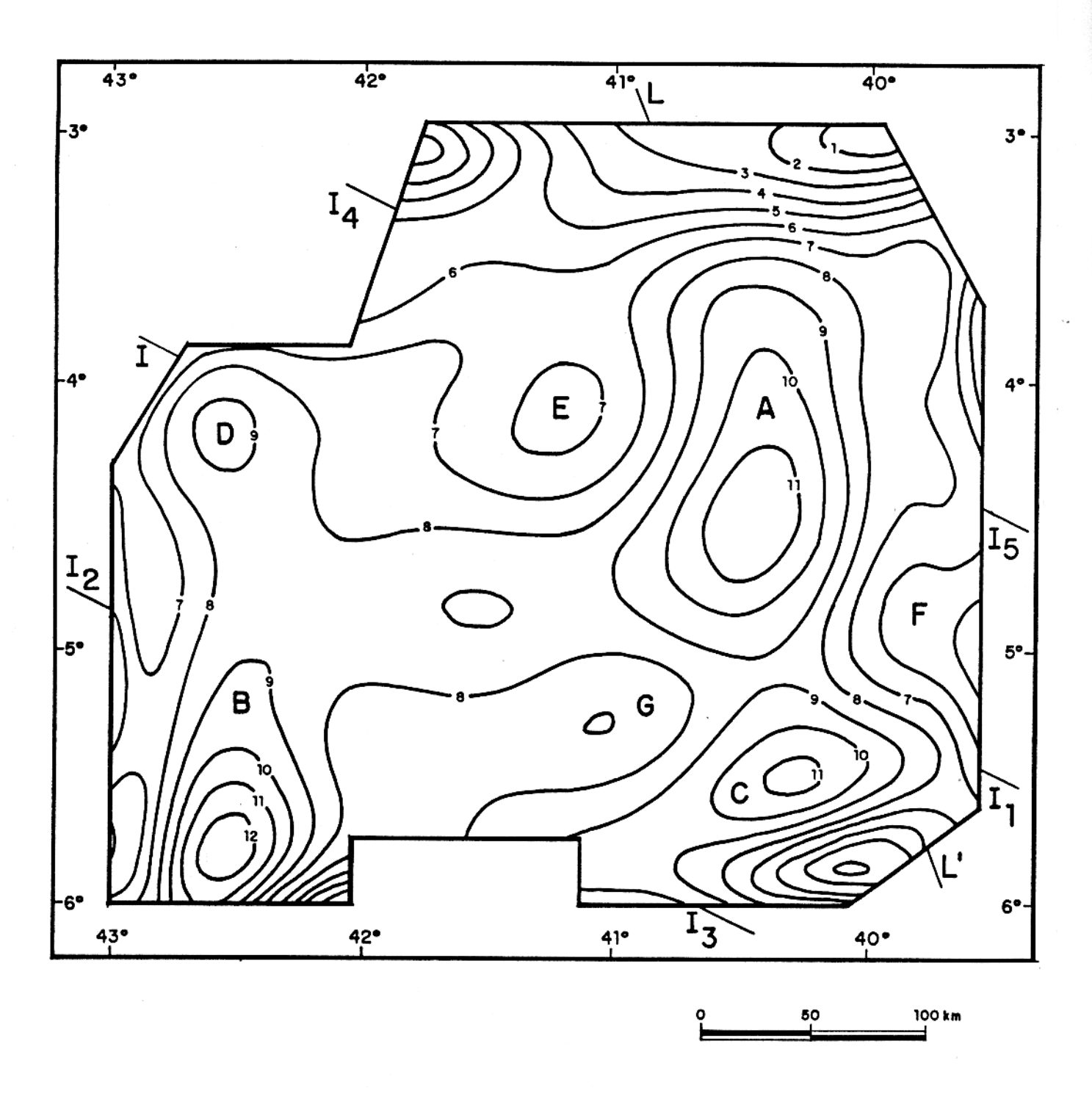


Fig. 34 - Mapa de distâncias verticais em relação ao nível de 27 km, para o modelo postulado para as fontes regionais da área estudada, obtido pela transformação do campo regional produzido pelo método PNW. Intervalo de contorno 1 km.

pítulo 3. O contraste de densidade presumido entre a crosta e o manto foi de 0,4 g/cm . Este mapa mostra feições representando espessamentos (A, B, C e D) e adelgaçamentos (E, F e G) crustais, alternados e aparentemente sem continuidade. No entanto, as bordas SW de A e E e as bordas NE de C e G apresentam um caráter retilíneo sugerindo a presença de uma zona de deslocamento sinistral II que teria deslocado as anomalias C e G em relação às anomalias A e E, respectivamente. De modo semelhan te, mas menos conspícuo, evidencia-se a presença de outra zona de deslocamento I I , que teria deslocado a anomalia B em relaanomalia D (movimento sinistral) ou em relação à anomalia C (movimento dextral). Além disso, a direção II sugere que houve, ao longo dela, movimentação, possivelmente de caráter sinistral, uma vez que a porção setentrional da anomalia A, de direção N-S, encontra-se defletida em relação à porção meridional, de direção NNE-SSW. A Figura 35a mostra ao longo do perfil LL', localizado na Figura 34, as ondulações calculadas da interface crosta-manto. A Figura 35b mostra uma seção geoló gica interpretativa da área ao longo de LL' onde estão assinala das as expressões em superfície das zonas de cisalhamento dúctil de Granja, Sobral-Pedro II e Senador Pompeu. Os adelgaçamentos crustais evidenciados pela gravimetria (u, v, x e y na Figura 35a) são interpretados como sendo resultantes não só do arqueamento devido ao regime de esforços compressivos, como tam bém do alçamento de porções da crosta inferior a profundidades mais rasas. Note-se que a interpretação dos dados gravimétricos (linha tracejada na Figura 35b) retrata apenas o efeito total: arqueamento mais alçamento de porções mais densas.

O campo regional produzido pelo método dos mínimos quadrados (Figura 32) também foi transformado em um mapa de dis

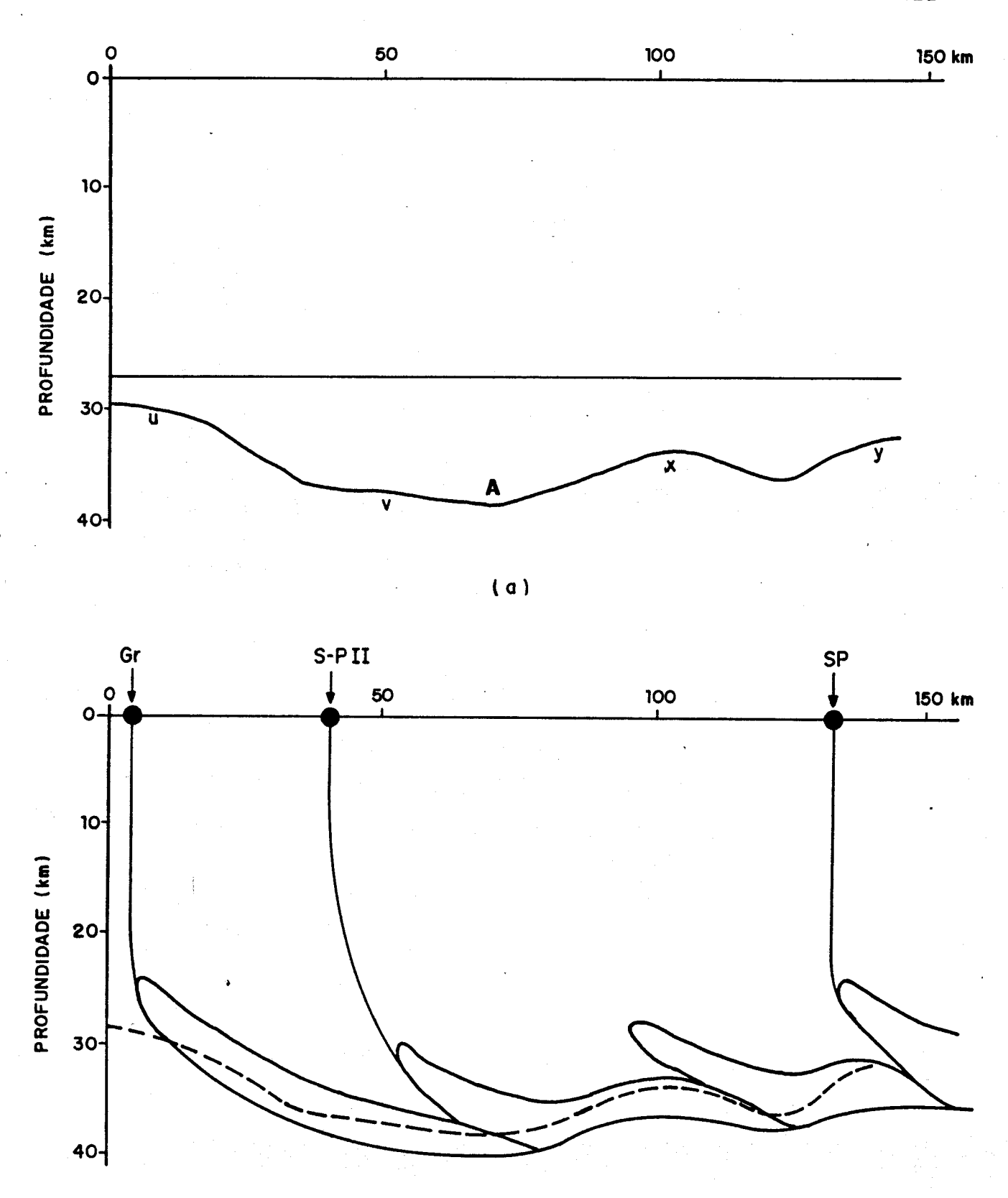


Fig. 35 - (a) Perfil LL' (assinalado na Figura 34) de distâncias verticais em relação ao nível de 27 km, para o modelo postulado para as fontes regionais da área es tudada, obtido pela transformação do campo regional produzido pelo método PNW. (b) Seção interpretativa da superfície mapeada (linha tracejada) e as localizações em superfície das zonas de cisalhamento de Granja (Gr), Sobral-Pedro II (S-P II) e Senador Pompeu (SP).

(b)

tâncias verticais (Figura 36) entre a interface crosta-manto e o nível de referência de 27 km. Este mapa mostra as mesmas fei ções de espessamentos e adelgaçamentos da Figura 34, mas com menores amplitudes. Além disso, percebe-se uma evidente influência da feição MM' presente no mapa Bouguer (Figura 29) que condicionou a caráter alongado de orientação NE-SW das feições C, F e G (Figura 36). As feições B e D tornaram-se alongadas na direção N-S devido a influência da feição N no mapa Bouguer (Figura 29) e a feição E foi severamente atenuada devido à influência da anomalia residual E (Figura 33). As distorções aci ma citadas ocorrem devido à transmissão do campo residual para o regional da Figura 36 obliterando assim as expressões das fei ções lineares II, II e II.

O campo residual obtido pelo método PNW (Figura 31) a presenta anomalias positivas lineares, de orientação NE-SW (A e B), alto gradiente no setor N, e anomalias arredondadas (G, I, J e K), gradientes fracos a moderados no setor E. Estas duas áreas estão separadas pela feição principal FF de orientação NE-SW, que coincide com o Lineamento Sobral-Pedro II. As anoma lias positivas que ocorrem no setor W (C, D e E) apresentam for te gradiente e são alongadas, mas aparentemente sem uma orienta ção preferencial comum. O campo residual produzido pelo método dos mínimos quadrados (Figura 33) exibe anomalias positivas muito estreitas e de menor amplitude em comparação com o obtido pelo método PNW (Figura 31). Este fato, confirma a transmissão do residual para a superfície regional ajustada pelo método dos mínimos quadrados, conforme já verificado anteriormente na análise da Figura 32.

Como as evidências geológicas indicam que as anomalias residuais são causadas por corpos com contrastes positivos

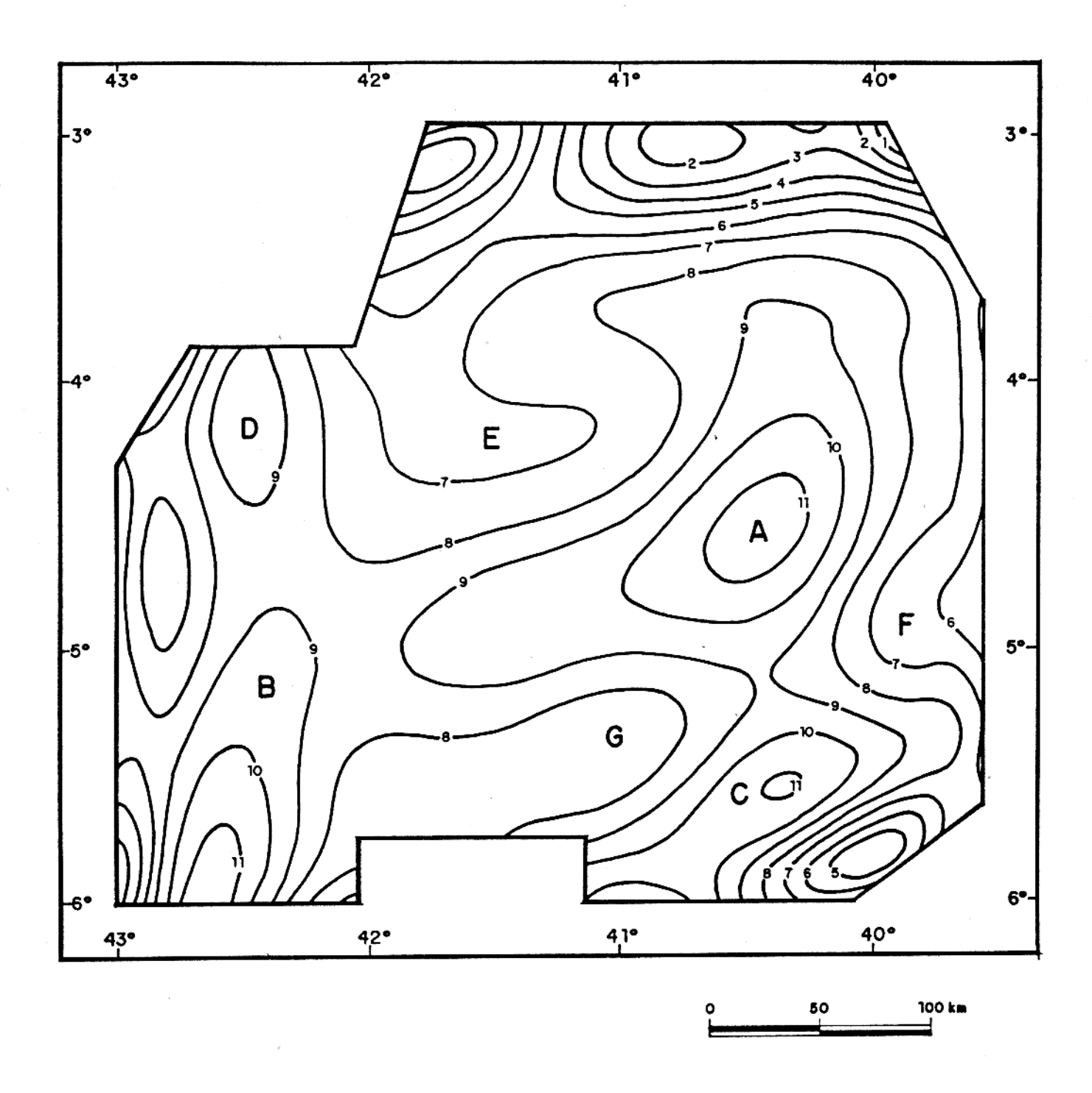


Fig. 36 - Mapa de distâncias verticais em relação ao nível de 27 km, para o modelo postulado para as fontes regionais da área estudada, obtido pela transformação do campo regional produzido pelo método dos mínimos quadrados. Intervalo de contorno 1 km.

de densidade, um valor constante de 8 mGal foi adicionado ao campo residual obtido pelo método PNW (Figura 31) para tornálo positivo na maior parte da área. Em seguida, o campo residual foi transformado em um mapa de contrastes de densidades aparentes (Figura 37) empregando o método descrito no capítulo 4, onde foi presumido um valor de 15 km para a profundidade do topo e 10 km para a espessura da placa que presumivelmente contém as fontes anômalas, e um valor de 0,1 para a constante λ positiva. Esse mapa permite delinear aproximadamente os limites horizontais dos corpos causadores das anomalias, através da curva de contorno correspondente à metade do valor máximo do contraste de densidade correspondente a cada anomalia positiva isolada. O mapa de contornos horizontais das fontes, numeradas de 1 a 31, é mostrado na Figura 38.

Comparando o mapa de anomalia residual (Figura 31) com o mapa de contrastes de densidade aparentes (Figura 37) verificamos que as anomalias alongadas A e C, são produzidas por corpos alongados na direção NE-SW, enquanto as anomalias D e E são de fato resultantes da soma dos efeitos gravimétricos de três corpos e dois corpos menores, respectivamente. Os três corpos (10, 18 e 23), associados à anomalia D, parecem ter sido deslocados ao longo das direções SS e S (Figura 38), aparentemente relacionadas com à direção II (Figura 34).

Para se obter profundidades relativas entre os vários corpos causadores da anomalia residual foram construídas para cada fonte assinalada na Figura 38, famílias de curvas de contraste de densidade versus profundidade do topo para diversos valores de espessuras. Na análise das famílias de curvas voltada à obtenção de relações semi-quantitativas entre as profundidades do topo das diversas fontes, foram empregados os cri

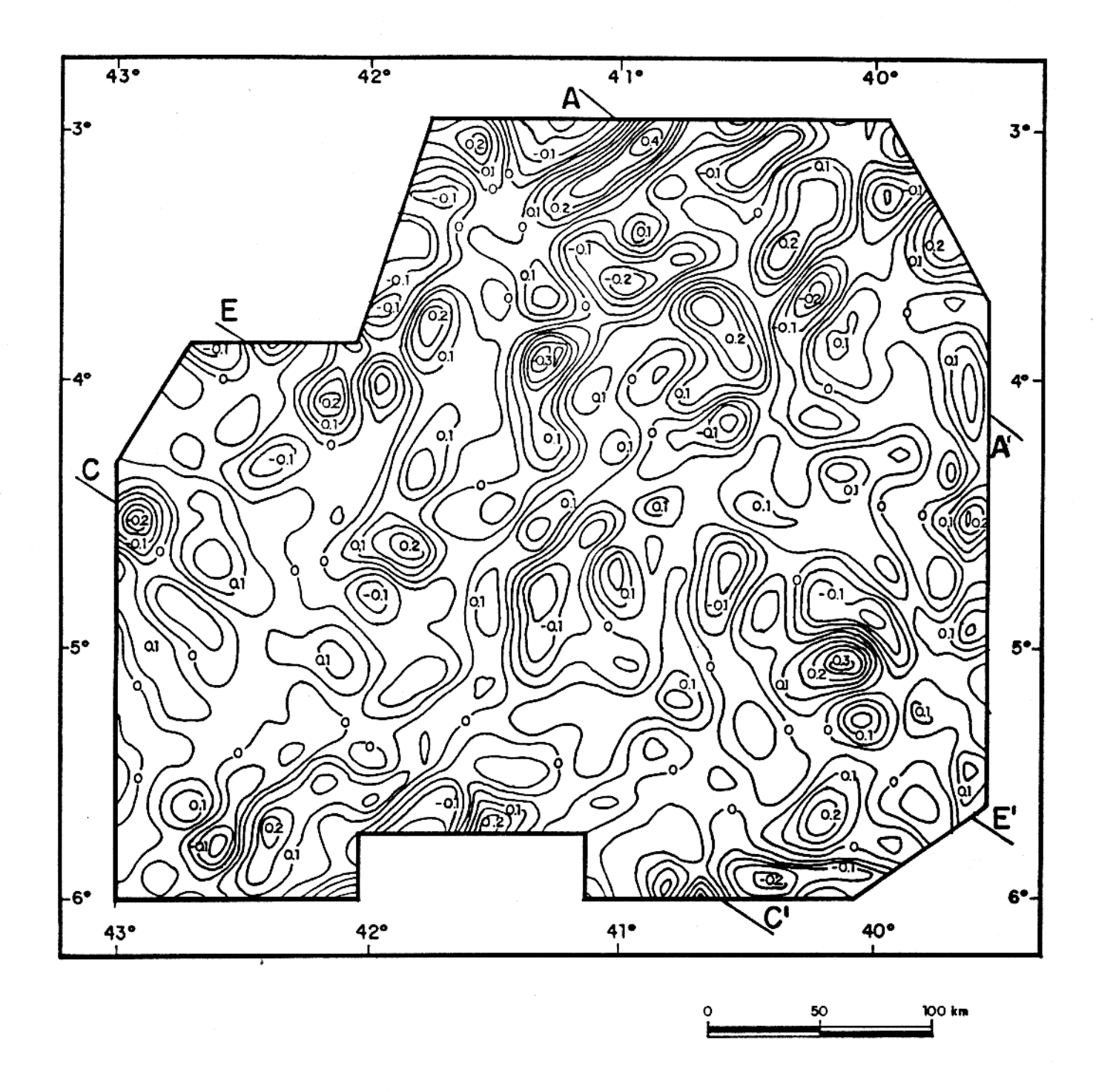


Fig. 37 - Mapa de contraste de densidade aparente da área estudada, obtido pela transformação do campo residual produzido pelo método PNW. A placa que supostamente contém as fontes foi discretizada em prismas retangulares com profundidade do topo de 15 km e espessura de 10 km. O valor de λ empregado foi de 0,1. Intervalo de contorno 0,05 g/cm³.

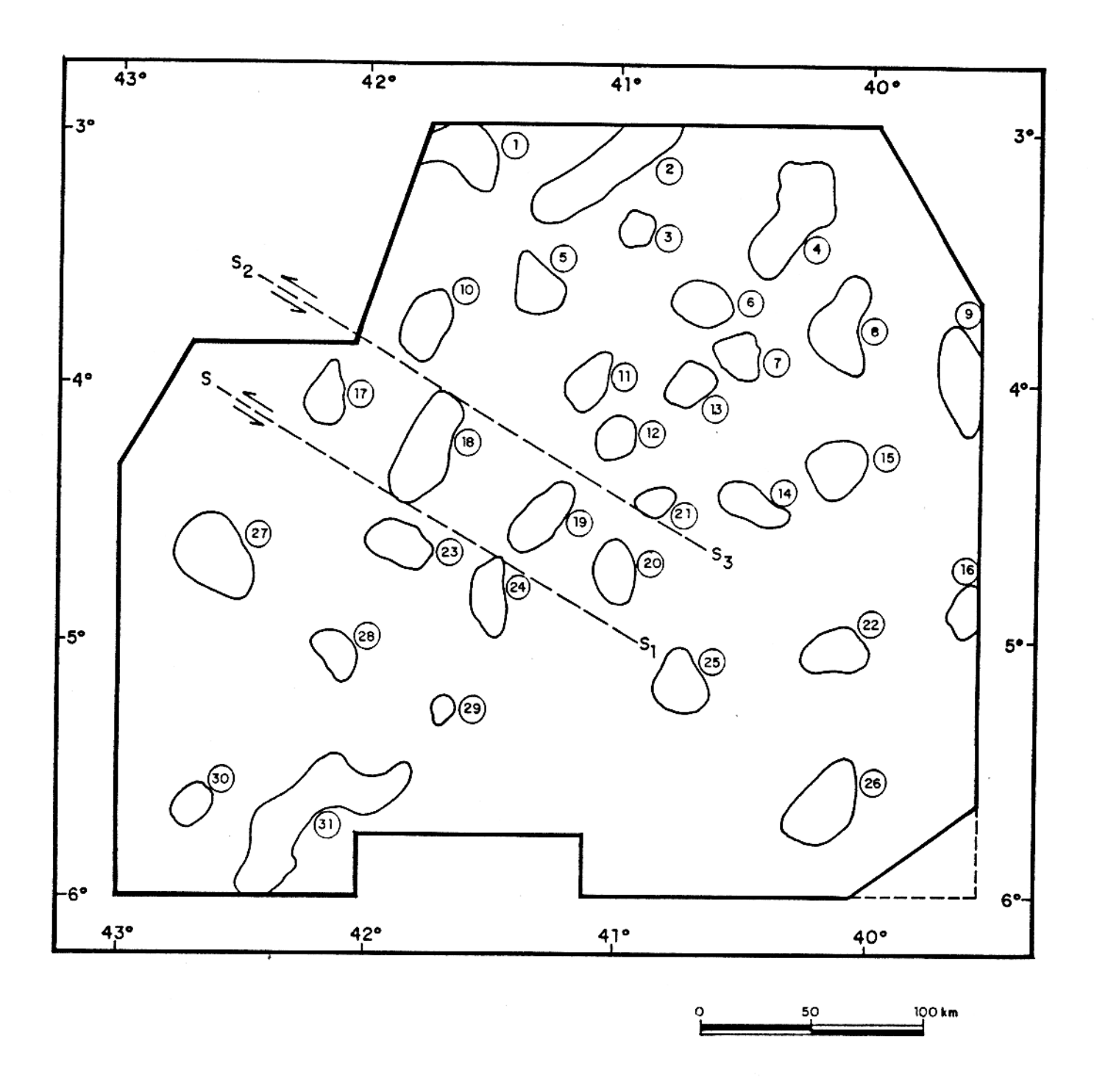


Fig. 38 - Contornos laterais dos corpos causadores da anomalia residual delineados no mapa de contraste de densidade aparente obtido pela transformação do campo residual produzido pelo método PNW. Os corpos foram ordenados arbitrariamente por números assinalados dentro dos círculos.

térios definidos no estudo de modelos teóricos com fontes inter ferentes. Especificamente, corpos produzindo curvas de contras te de densidade aparente com maior inclinação são os mais rasos e corpos produzindo maiores diferenças entre os valores do contraste de densidade correspondente ao menor e maior valor de es pessura para o menor nível de profundidade presumido, são os mais rasos. Assim sendo, as famílias de curvas foram divididas em dois grandes grupos: as produzidas por corpos rasos (Figuras 39 a 43) e as produzidas por corpos profundos (Figuras 44 a 46).

Nos arredores da cidade de Granja, Estado do Ceará, afloram rochas granulíticas, associadas à anomalia A do mapa de campo residual (Figura 31). Pressupondo-se, portanto, que os corpos mapeados (Figura 38) são porções de rochas granulíticas, podemos estimar um contraste de densidade de 0,4 g/cm, para os corpos causadores das anomalias residuais com base nos dados da Tabela 1. Este valor representa o contraste de densidade entre as rochas granulíticas e os gnaisses que ocorrem na área. Com o contraste de densidade estimado e fixando uma espessura constante, podemos determinar valores de profundidades relativas do topo para cada um dos corpos mapeados, utilizando-se a família de curvas correspondente a cada corpo.

A Figura 47 apresenta um mapa de profundidades rela
tivas para os corpos mapeados, presumindo-se 0,4 g/cm para o

contraste de densidade e fixando-se a espessura em 3 km. As

profundidades relativas permitem visualisar que as zonas de des

locamento de orientação NW-SE, interpretadas no mapa de profun
didades da interface crosta-manto (II, II e II na Figura

1 23 45

34), condicionaram as profundidades dos corpos intracrustais, u

ma vez que, os corpos localizados a norte da zona de deslocamen

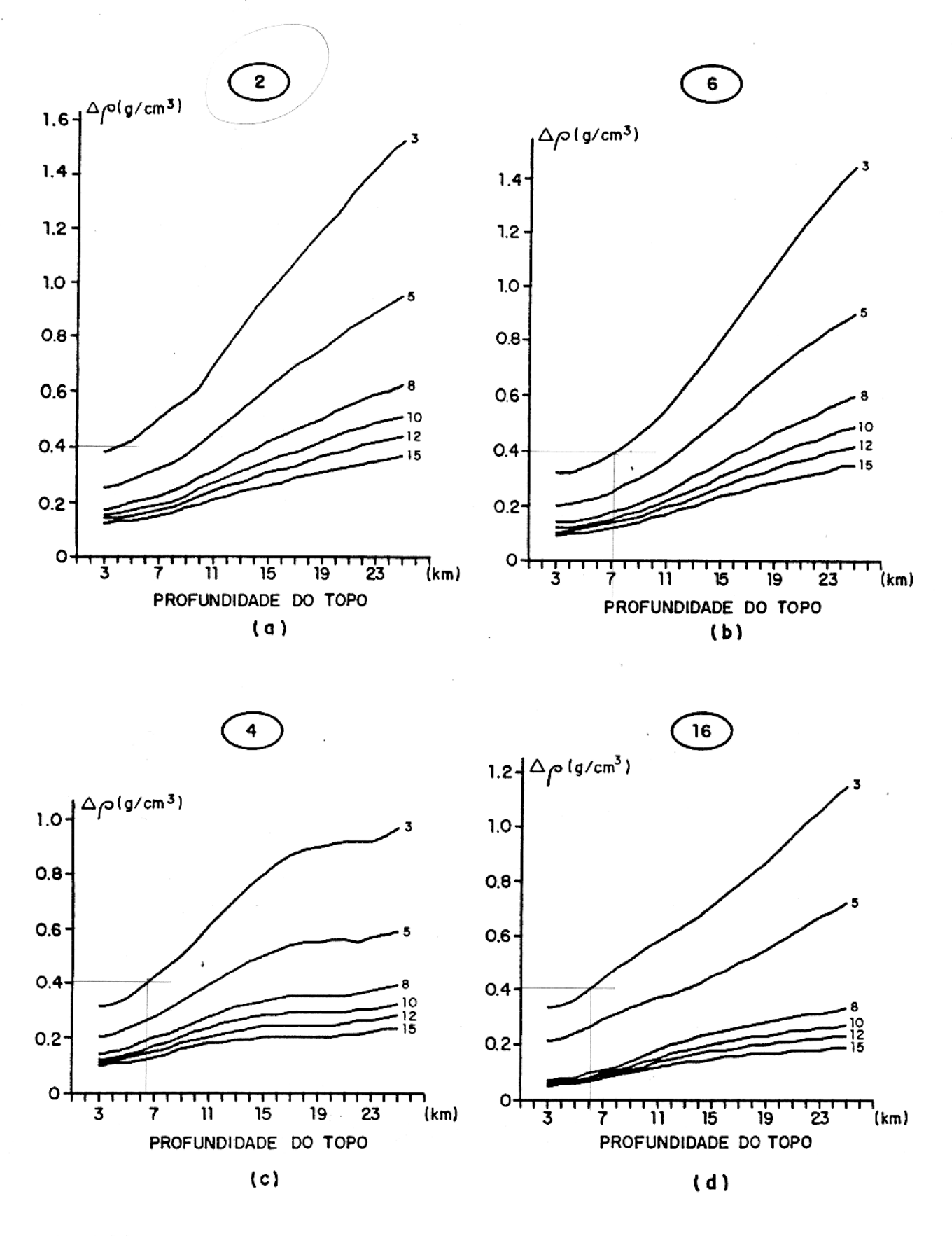


Fig. 39 - Famílias de curvas de contraste de densidade aparente versus profundidade do topo da placa para diversos va lores de espessura (em km) para os corpos (a) 2, (b) 6, (c) 4 e (d) 16 assinalados na Figura 38, obtidas a partir da transformação do mapa residual produzido pelo método PNW.

~

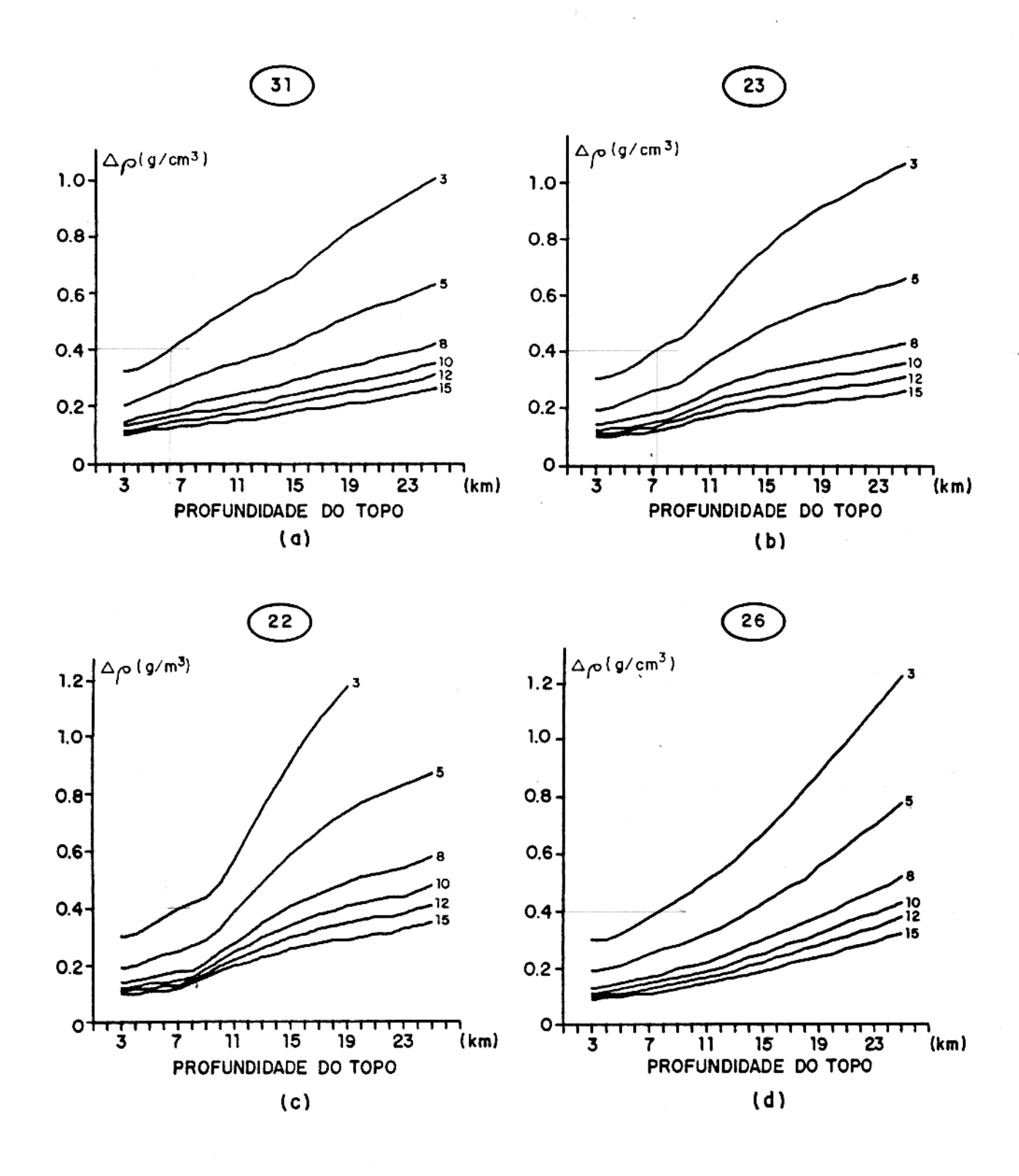


Fig. 40 - Famílias de curvas de contraste de densidade aparente versus profundidade do topo da placa para diversos valores de espessura (em km) para os corpos (a) 31, (b) 23, (c) 22 e (d) 26 assinalados na Figura 38, obtidas a partir da transformação do mapa residual produzido pelo método PNW.

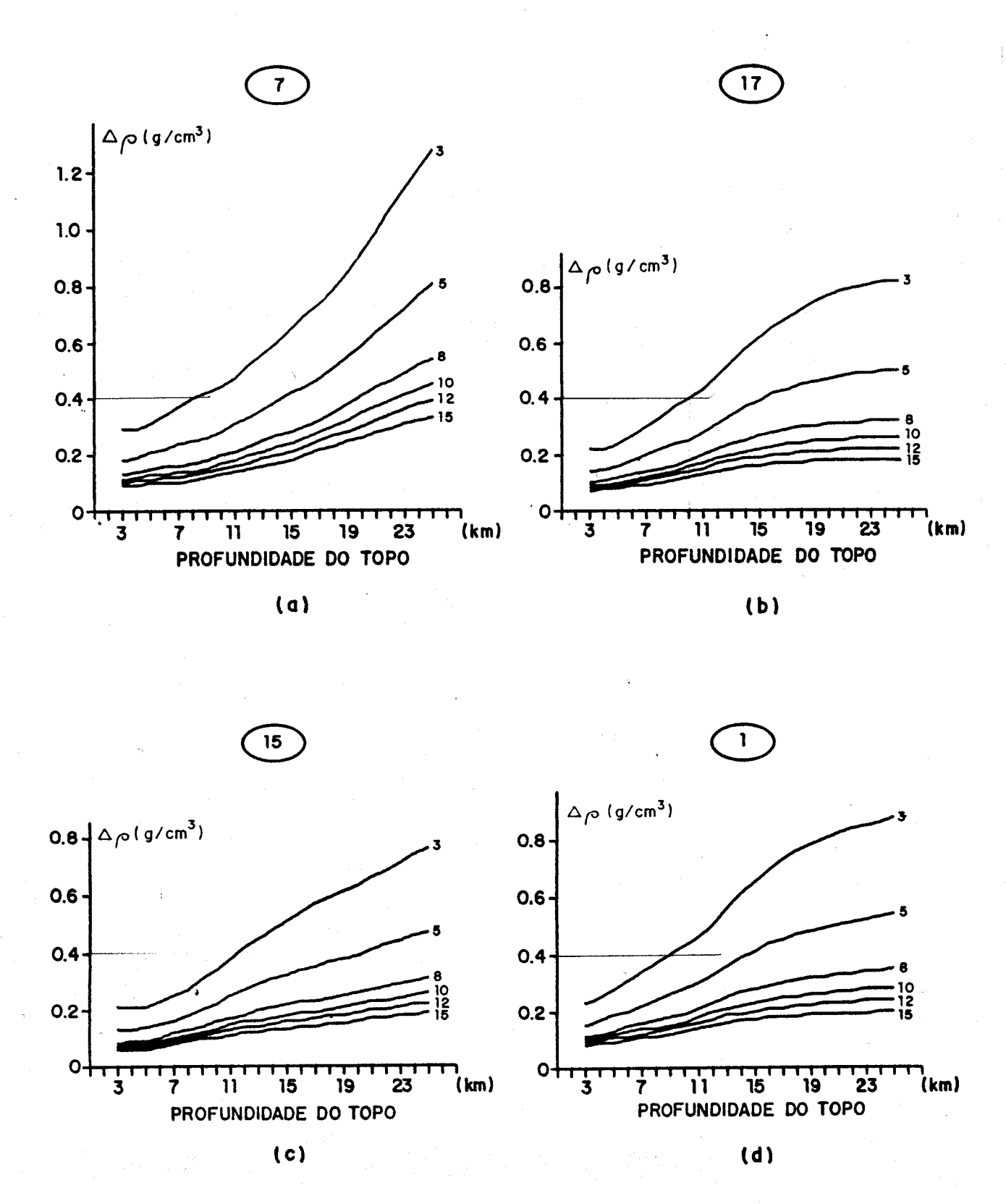
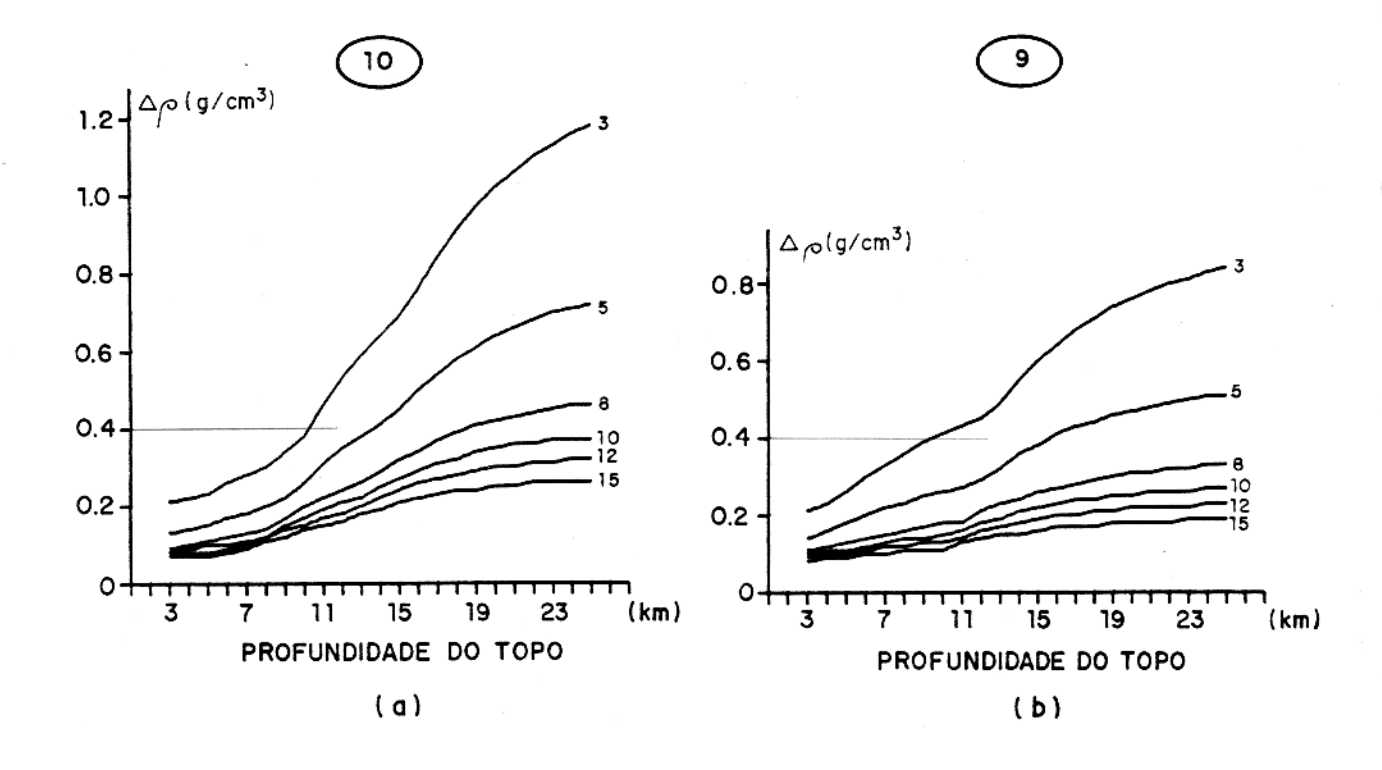


Fig. 41 - Famílias de curvas de contraste de densidade aparente versus profundidade do topo da placa para diversos va lores de espessura (em km) para os corpos (a) 7, (b) 17, (c) 15 e (d) l assinalados na Figura 38, obtidas a partir da transformação do mapa residual produzido pelo método PNW.



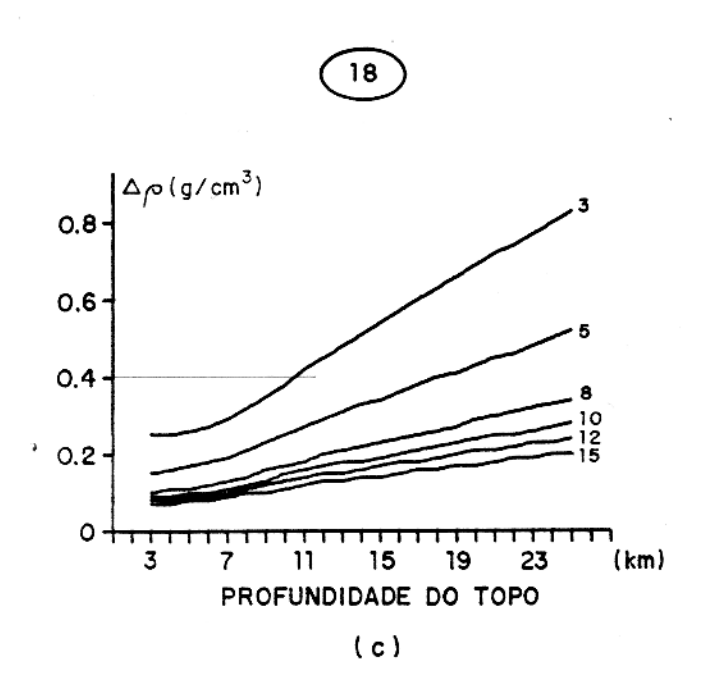
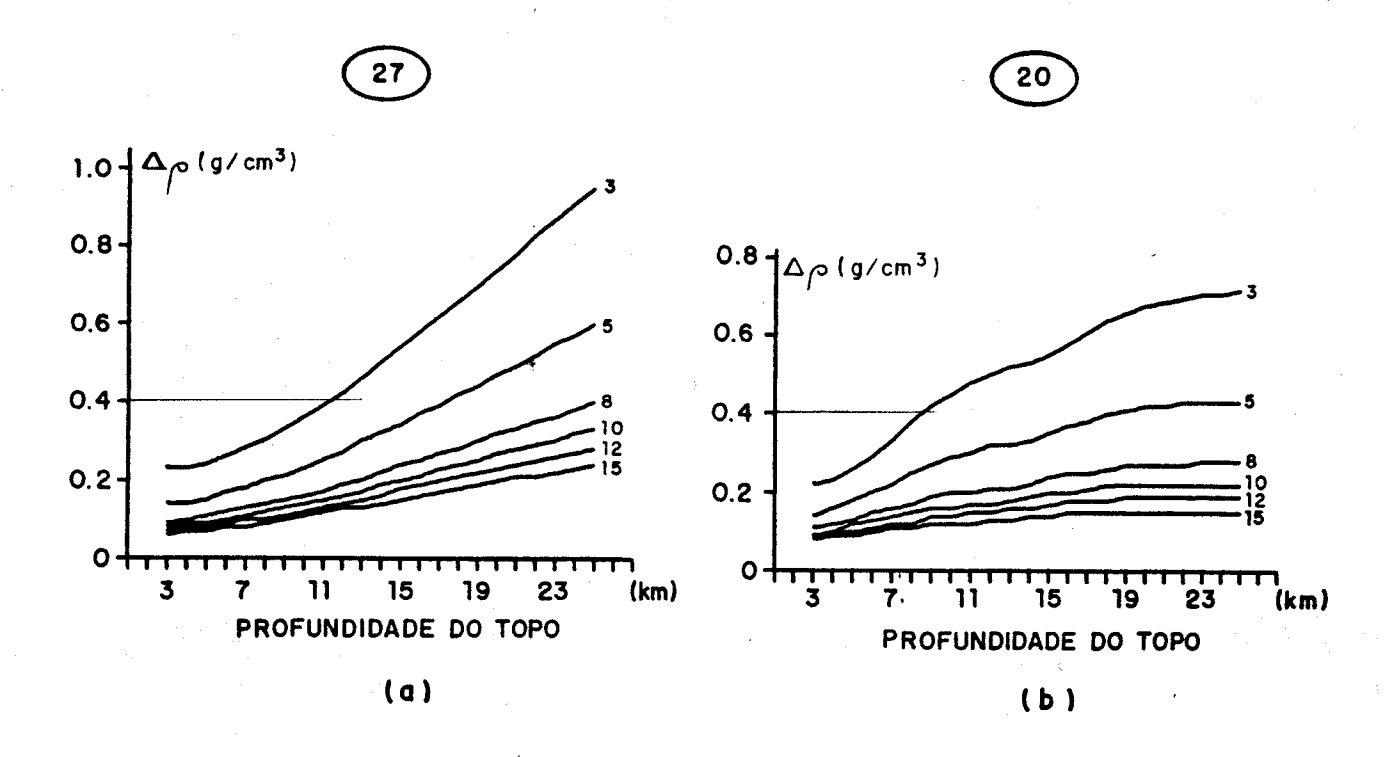


Fig. 42 - Famílias de curvas de contraste de densidade aparente versus profundidade do topo da placa para diversos va lores de espessura (em km) para os corpoa (a) 10, (b) 9 e (c) 18 assinalados na Figura 38, obtidas a partir da transformação do mapa residual produzido pelo método PNW.

ja,



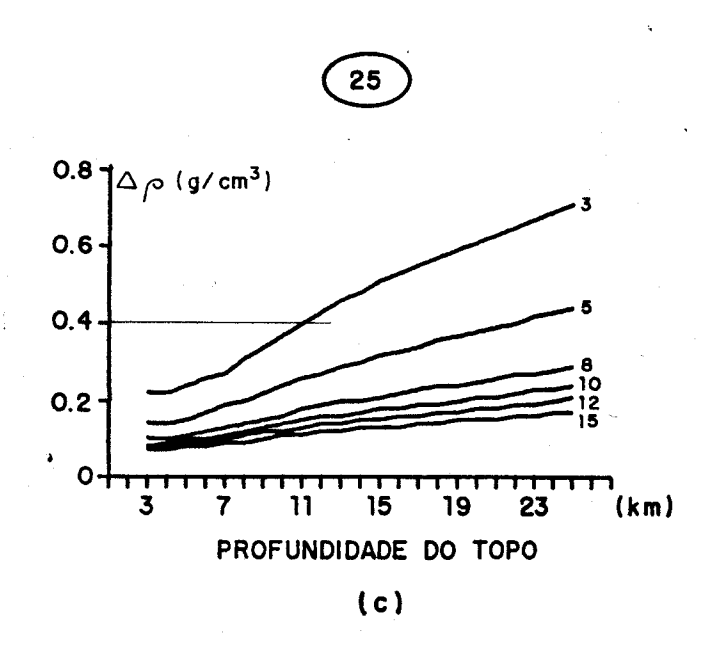


Fig. 43 - Famílias de curvas de contraste de densidade aparente versus profundidade do topo da placa para diversos va lores de espessura (em km) para os corpos (a) 27, (b) 20 e (c) 25 assinalados na Figura 38, obtidas a partir da transformação do mapa residual produzido pelo método PNW.

Ţ,

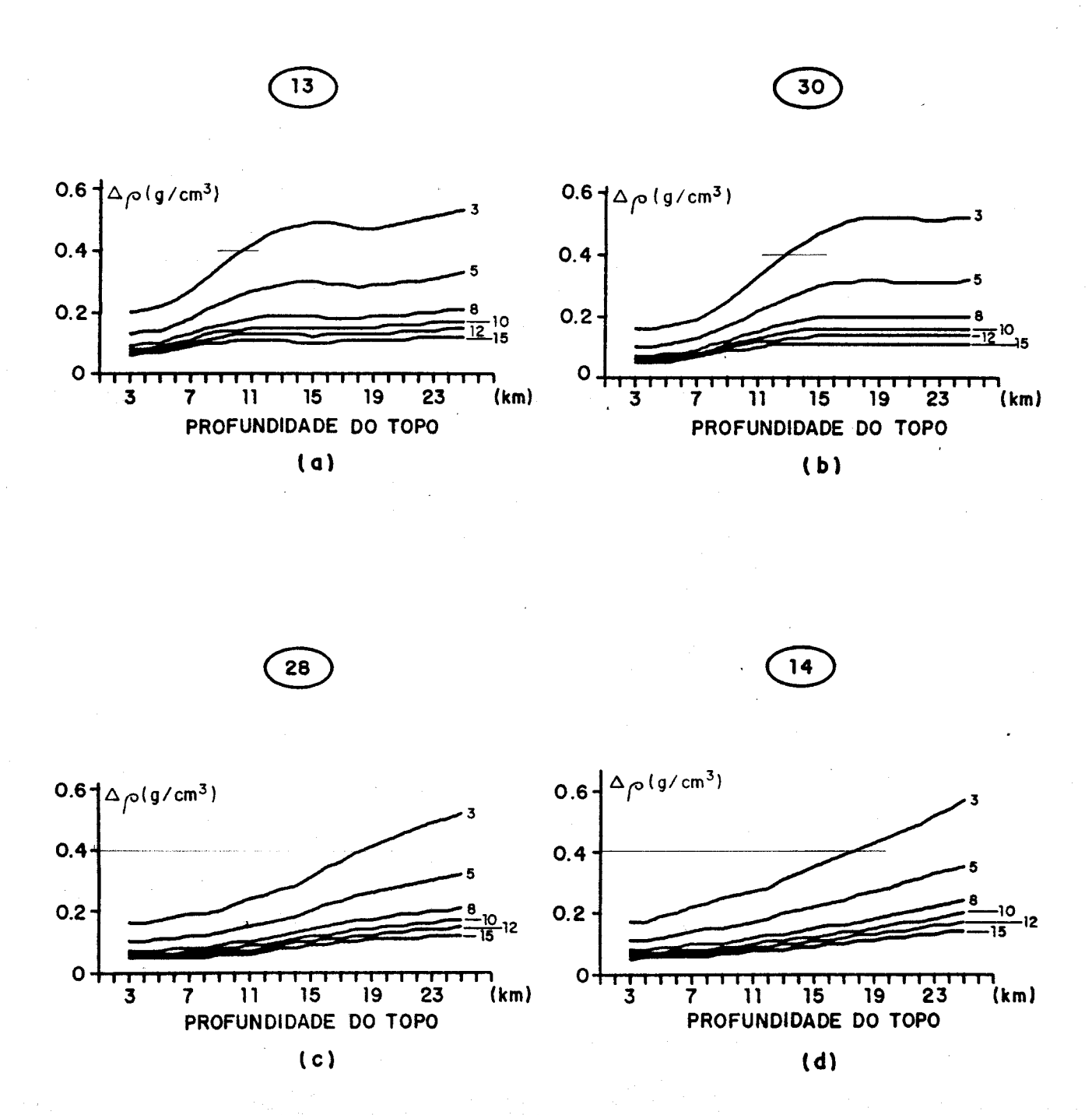


Fig. 44 - Famílias de curvas de contraste de densidade aparente versus profundidade do topo da placa para diversos va lores de espessura (em km) para os corpos (a) 13, (b) 30, (c) 28 e (d) 14 assinalados na Figura 38, obtidas a partir da transformação do mapa residual produzido pelo método PNW.

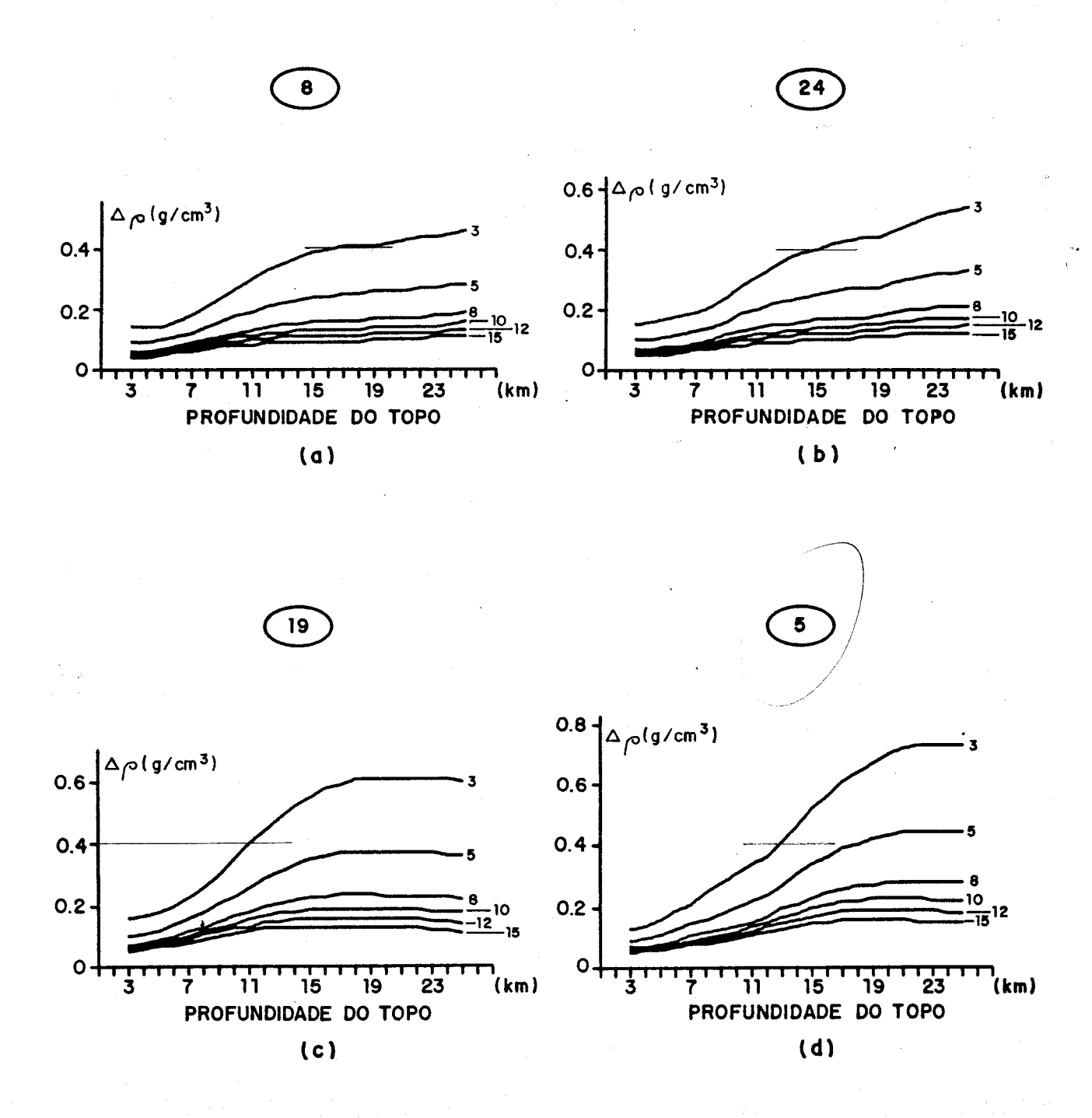


Fig. 45 - Famílias de curvas de contraste de densidade aparente versus profundidade do topo da placa para diversos va lores de espessura (em km) para os corpos (a) 8, (b) 24, (c) 19 e (d) 5 assinalados na Figura 38, obtidas a partir da transformação do mapa residual produzido pelo método PNW.

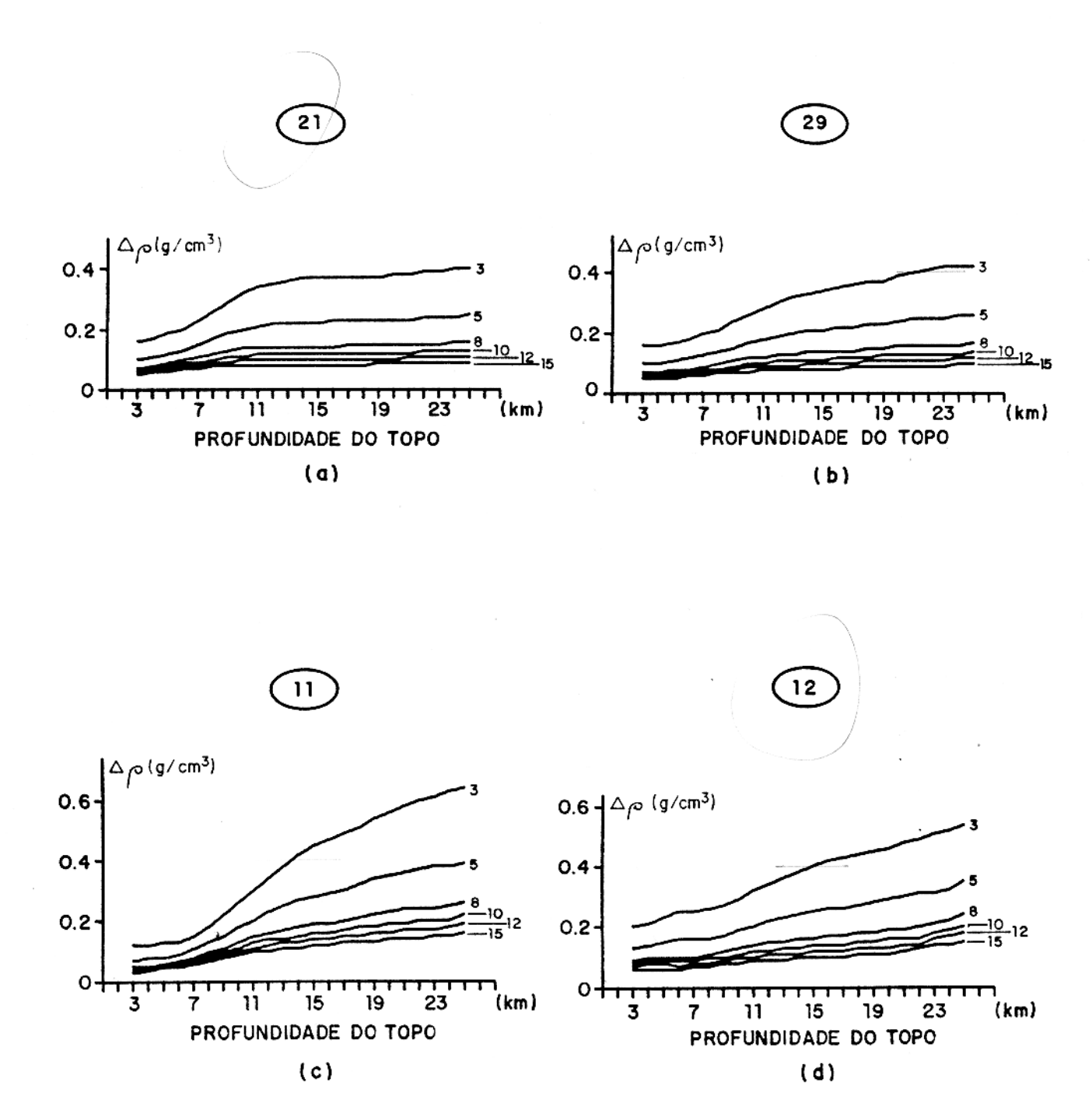


Fig. 46 - Famílias de curvas de contraste de densidade aparente versus profundidade do topo da placa para diversos va lores de espessura (em km) para os corpos (a) 21, (b) 29, (c) 11 e (d) 12 assinalados na Figura 38, obtidas a partir da transformação do mapa residual produzido pelo método PNW.

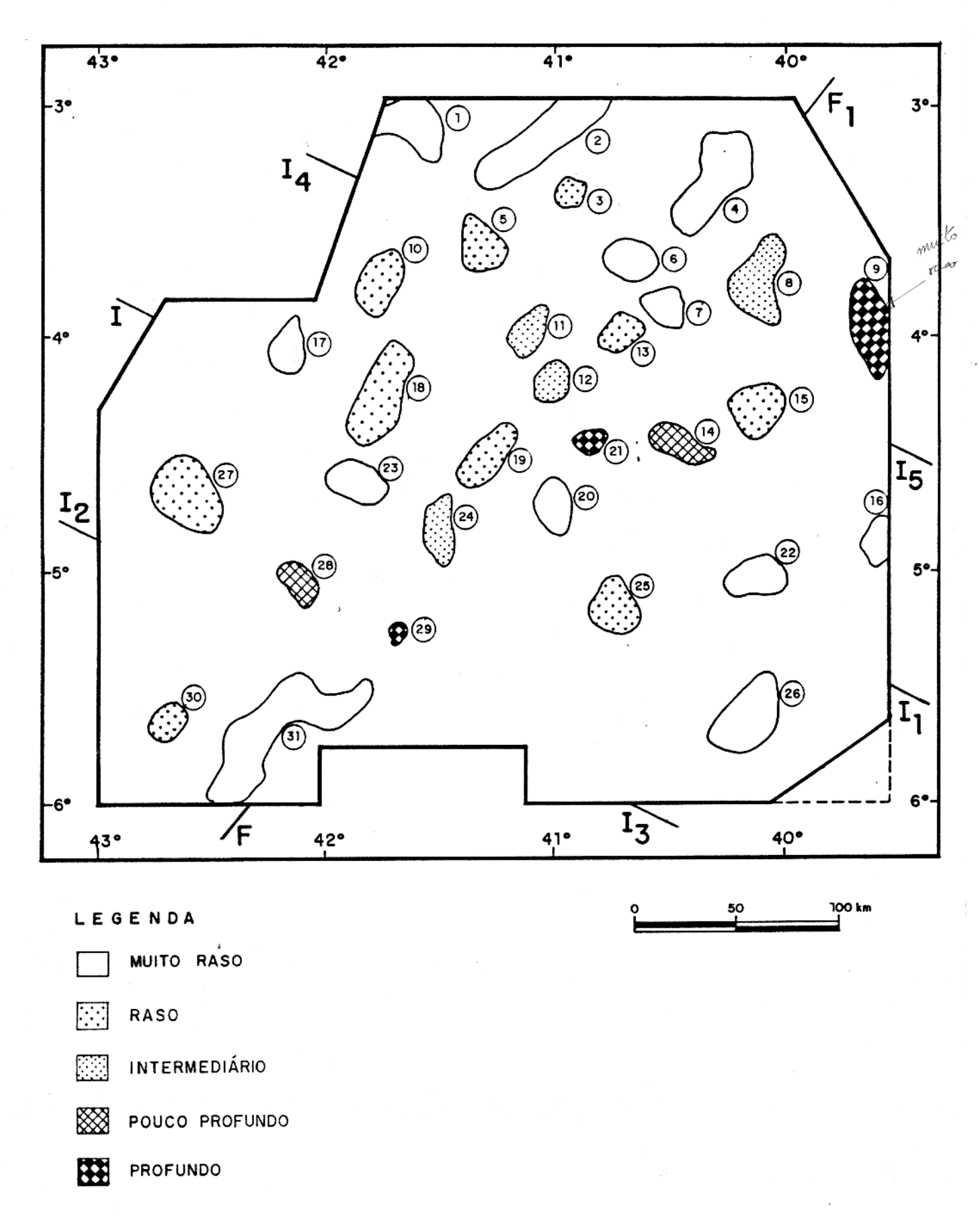


Fig. 47 - Profundidades relativas para os corpos rasos obtidas fixando-se o contraste de densidade das fontes em 0,4 g/cm³ e a espessura da placa em 3 km, utilizando-se o campo residual produzido pelo método PNW.

to I I (1, 2, 4, 6 e 7) e a sul da zona de deslocamento I I 4 5

(31) são os mais rasos, o que é confirmado por dados geológicos de superfície, uma vez que uma porção do corpo 2 chega a aflorar nos arredores da cidade de Granja. Na porção central, entre as zonas de deslocamento I I e I I, temos de sudeste pa 4 5 2 3 - ra noroeste, uma estruturação em faixas, de corpos muito rasos, rasos e na altura do Lineamento Sobral-Pedro II encontram-se os corpos profundos e pouco profundos seguindo-se, em direção a no roeste, com corpos rasos e muito rasos.

O campo residual produzido pelo método dos mínimos quadrados (Figura 33) também foi acrescido de um valor de 8 mGal e transformado em um mapa de contrastes de densidade aparentes (Figura 48), a partir do qual foram delineados os limites horizontais dos corpos causadores das anomalias Comparando os dois mapas de limites laterais das fontes residuais obtidos pelas transformações dos campos residuais pro duzidos pelos métodos PNW (Figura 38) e mínimos quadrados (Figu ra 49), verifica-se que, excetuando-se os corpos 11. 28 e 29 que tornaram-se mais largos no caso dos mínimos quadrados, os demais mantiveram as mesmas dimensões. A Figura 50 fornece um mapa de profundidades relativas para os corpos mapeados na Figu ra 49 fixando o contraste de densidade em 0,4 g/cm e a espessu ra em 3km. Comparando-se as Figura 47 e 50 verifica-se que, de de um modo geral, as fontes residuais mapeadas pelo método dos mínimos quadrados (Figura 50) encontram-se a maiores profundida des, não sendo verificada a presença de corpos classificados. no caso do método PNW, como muito rasos. Além disso, ao contrá rio da Figura 47 o condicionamento de maiores profundidades ao sul de I I não é aparente na Figura 50. Observa-se ainda que a tendência dos corpos tornarem-se mais rasos de SE para NW, na

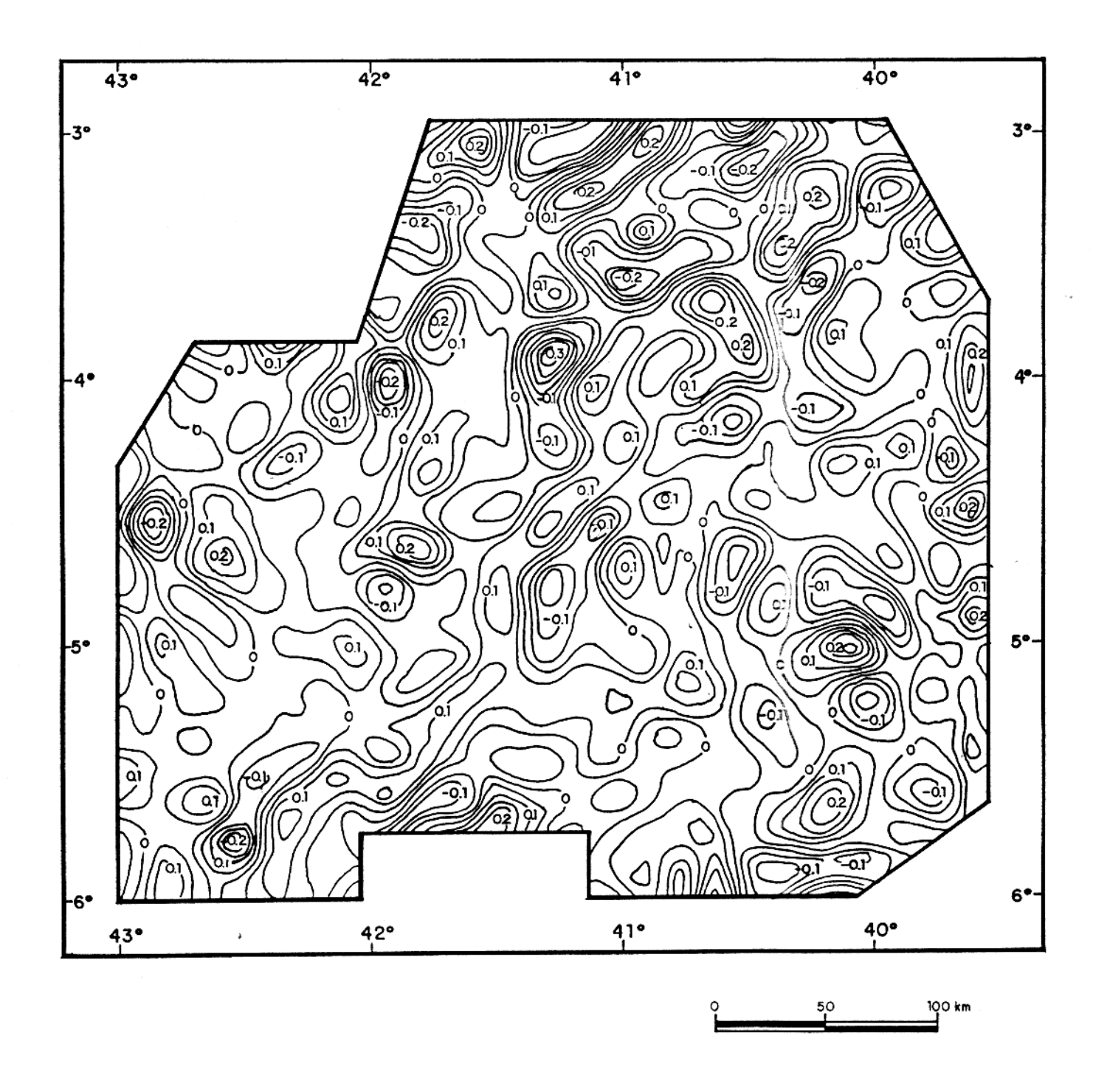


Fig. 48 - Mapa de contraste de densidade aparente da área estudada obtido pela transformação do campo residual produzido pelo método dos mínimos quadrados. A placa que supostamente contém as fontes foi discretizada em prismas retangulares com profundidade do topo de 15 km e espessura de 10 km. O valor de λ empregado foi de 0,1. Intervalo de contorno 0,05 g/cm³.

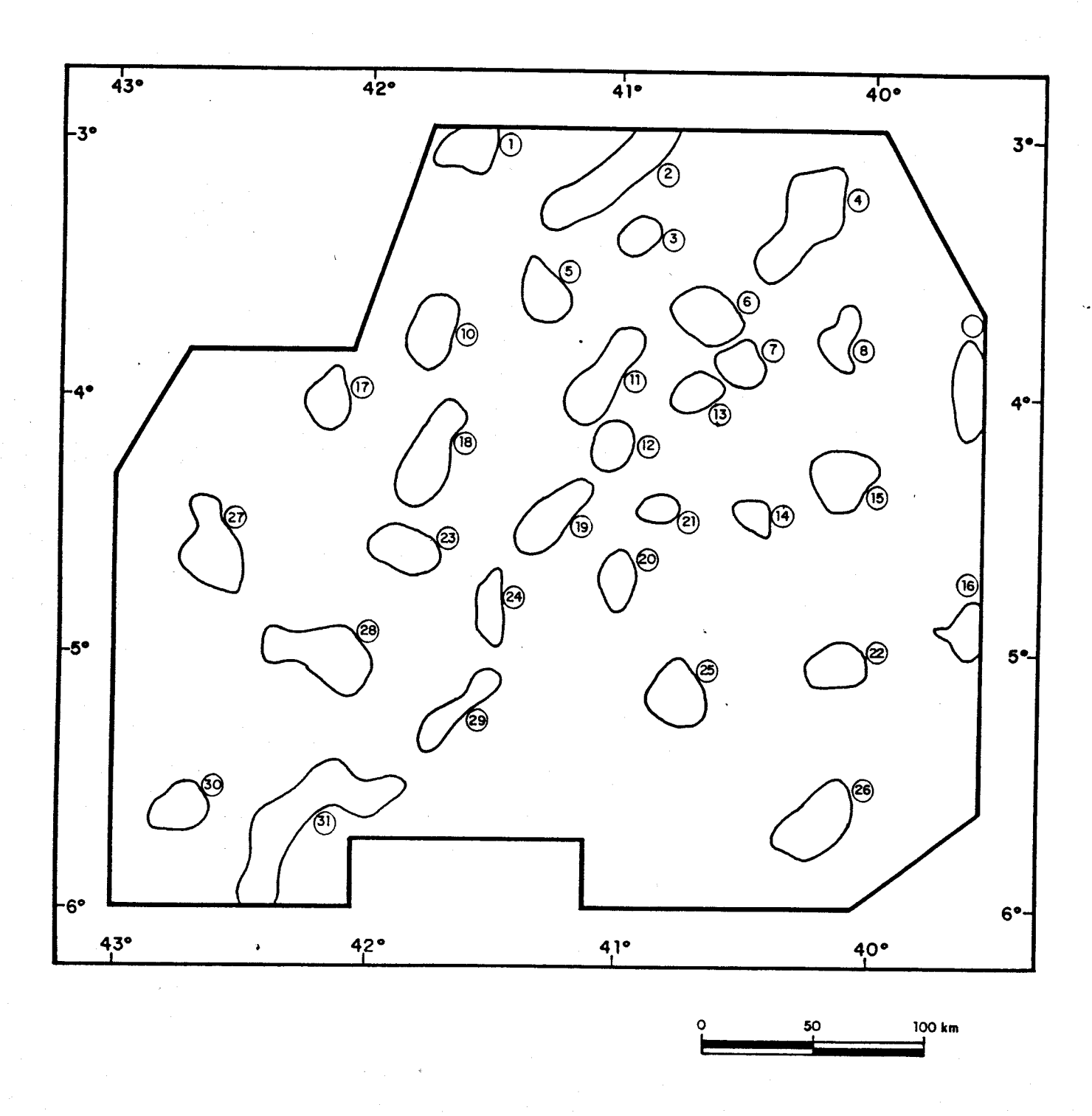
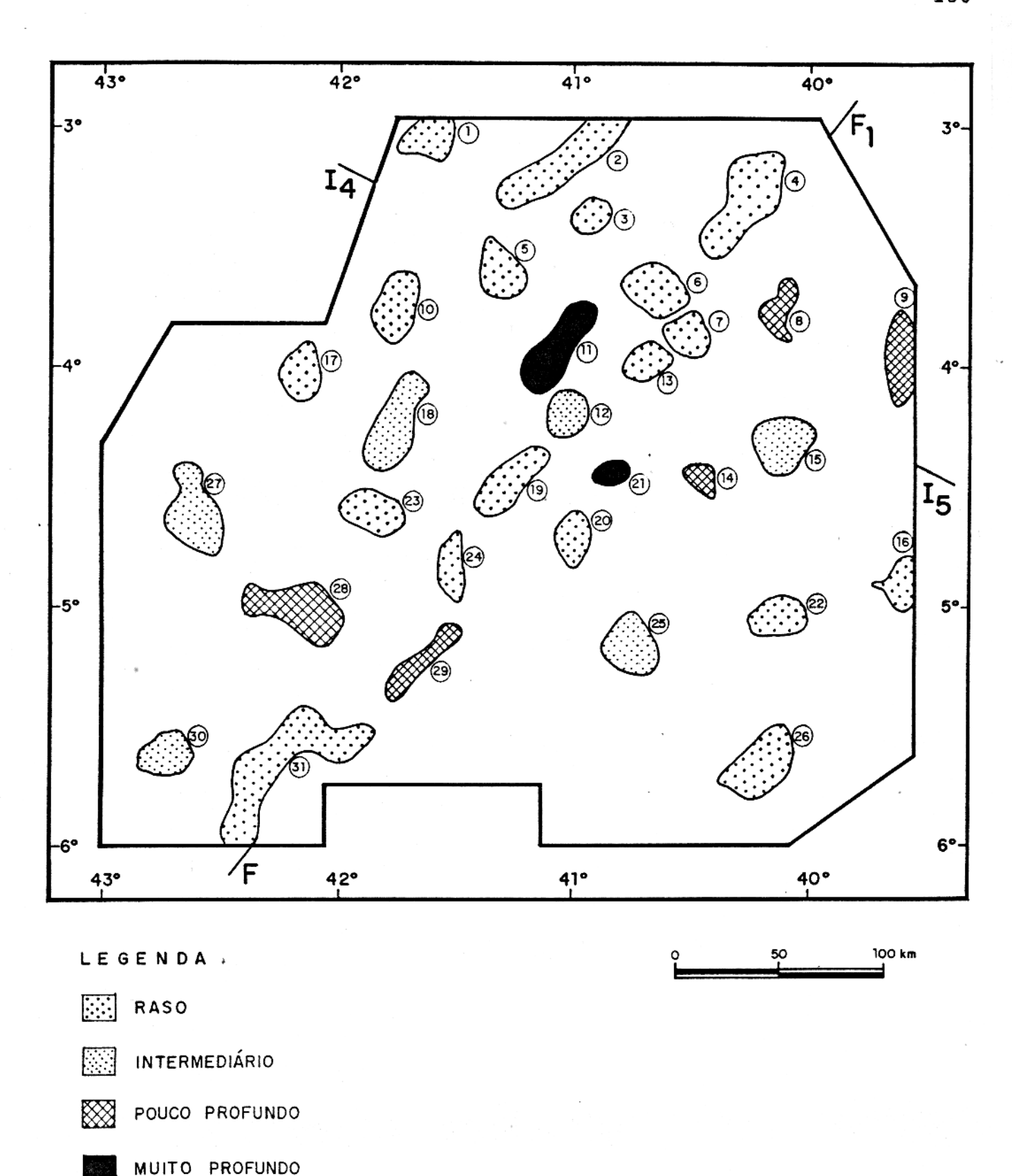


Fig. 49 - Contornos laterais dos corpos causadores da anomalia residual delineados no mapa de contraste de densidade aparente obtido pela transformação do campo residual produzido pelo método dos mínimos quadrados. Os corpos foram ordenados arbitrariamente por números assinalados dentro dos círculos.



MOTIO PROFUNDO

Fig. 50 - Profundidades relativas para os corpos rasos obtidas fixando-se o contraste de densidade das fontes em 0,4 g/cm³ e a espessura da placa em 3 km, utilizando-se o campo residual produzido pelo método dos mínimos quadrados.

porção a NW da Zona de Cisalhamento Sobral-Pedro II (FF) del notada na Figura 47 não é sistemática na Figura 50 como por exemplo o corpo 18, ladeado a NW e a SE por corpos mais rasos (17 e 19).

O aumento ocorrido nas profundidades relativas obtidas com o método dos mínimos quadrados em comparação com o méto do PNW é causado pela perda de amplitude sofrida pelo campo re sidual em decorrência da transmissão de parte do residual para o regional. Este aumento varia de O até 137,5 %, tendo como va lor médio 34,7% e 21,3% de mediana. Por exemplo, o corpo 11 foi, anteriormente, classificado como intermediário e agora está classificado como muito profundo, tendo-se apenas quatro casos de redução de profundidade, que são os dos corpos 3, 9, 12 e 24, sendo que os corpos 9 e 12 antes classificados como profundo e intermediário, respectivamente e agora estão classifica dos como pouco profundo e raso, respectivamente.

Os valores de espessura e profundidades do topo obtidos do modo acima descrito, foram utilizados como aproximação inicial para o modelamento direto interativo empregando o métoto de Talwani (Talwani et al. 1959) adaptado para 2,5-D através da fórmula para correção de borda (Nettleton, 1976). Foram, en tão, modelados os campos residuais ao longo de três perfis de orientação NW-SE, assinalados na Figura 37 por AA', EE' e CC'. A geometria presumida para as fontes no modelamento interativo destes três perfis foi vinculada por informações geológicas de superfície. Entre estas informações destaca-se o aleitamento tectônico, de direção NE-SW, de gnaisses granulíticos e os demais tipos de gnaisses, com mergulho para SE. Além disso, estudos estruturais e petrológicos fornecem evidências de que par te dos granulitos existentes na área foi trazida até a super-

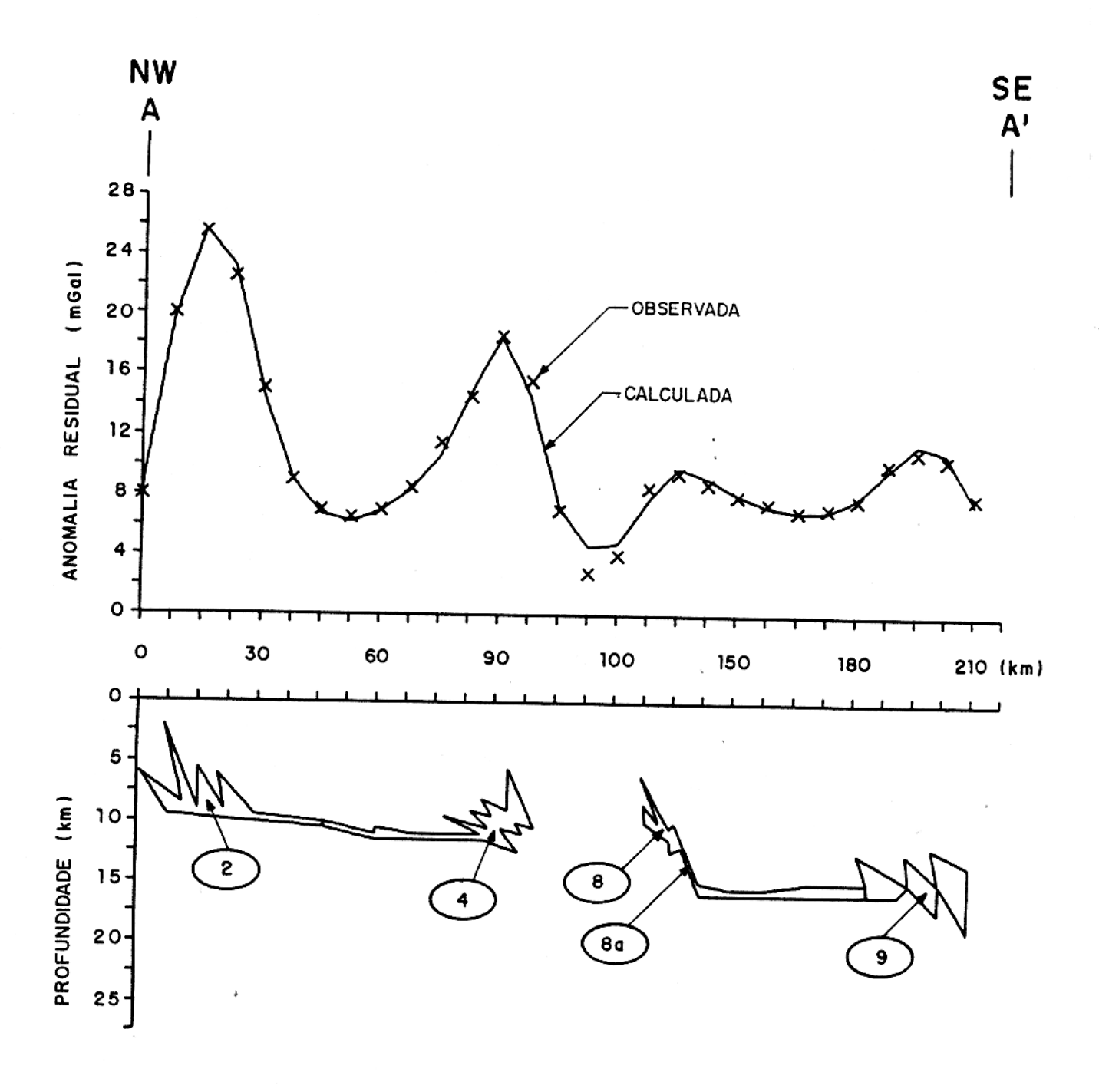


Fig. 51 - Modelamento direto interativo do campo residual produzido pelo método PNW (Figura 31) ao longo do Perfil AA', assinalado na Figura 37.

/

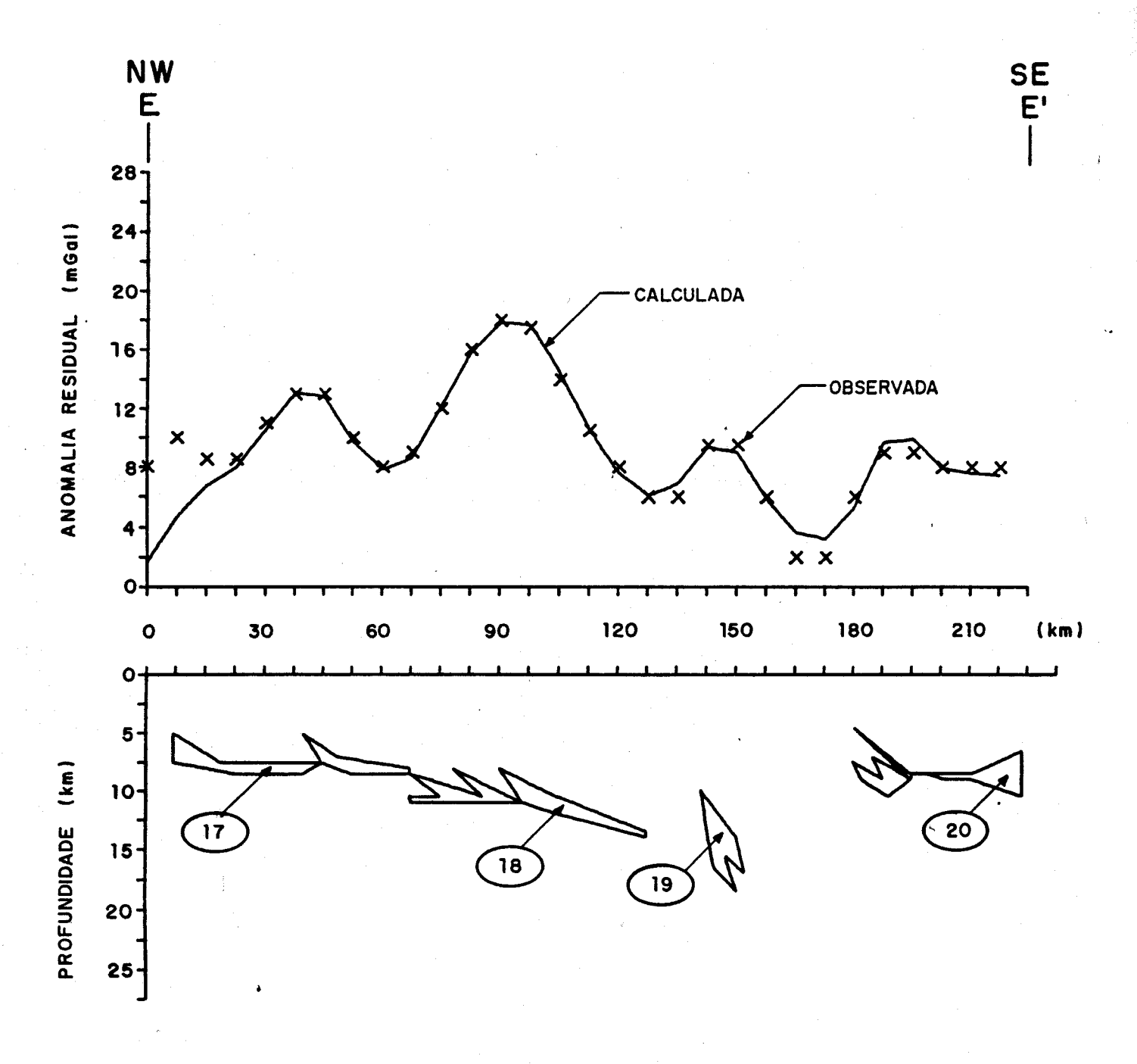


Fig. 52 - Modelamento direto interativo do campo residual produzido pelo método PNW (Figura 31) ao longo do Perfil EE', assinalado na Figura 37.

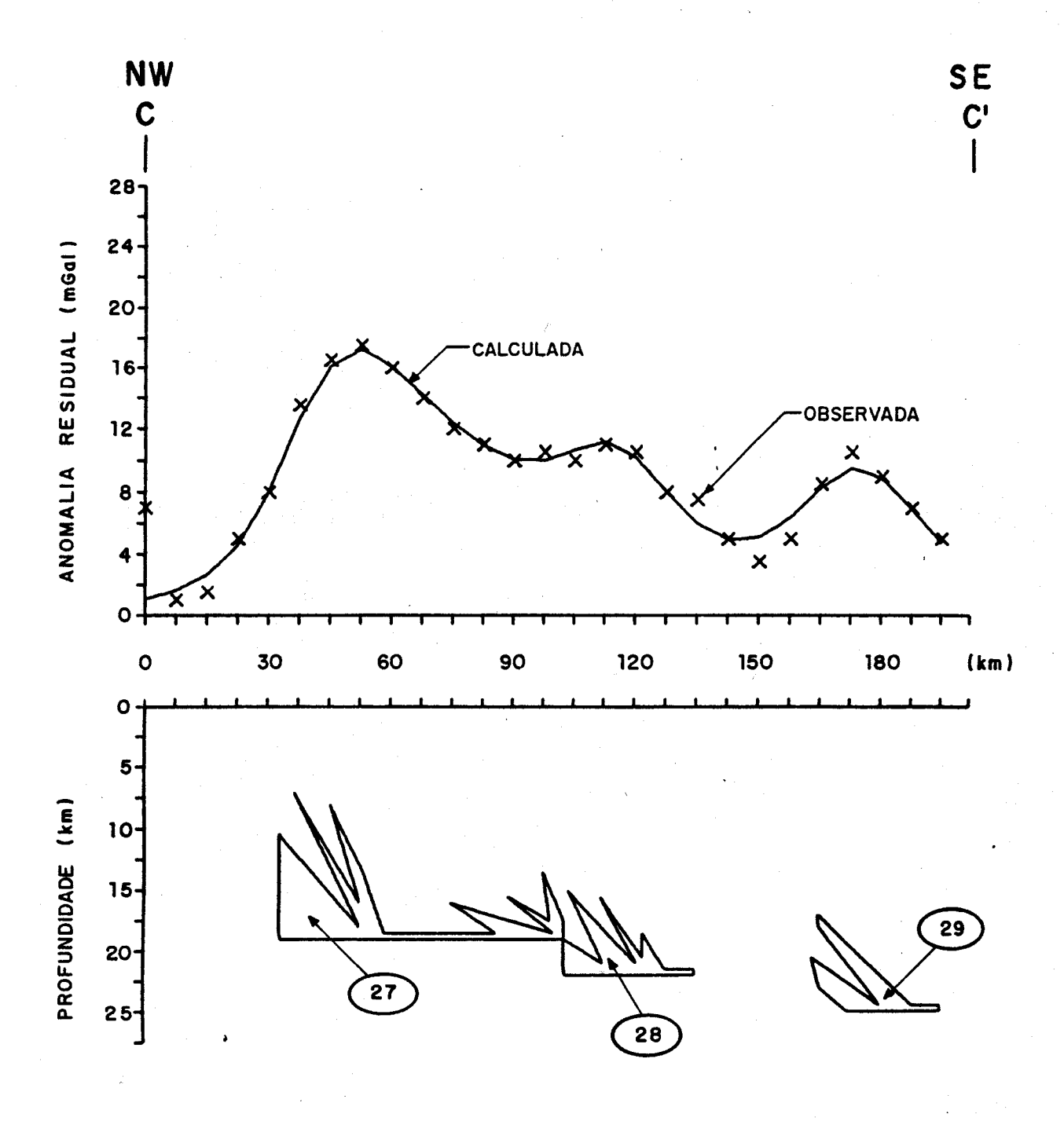


Fig. 53.- Modelamento direto interativo do campo residual produzido pelo método PNW (Figura 31) ao longo do Perfil CC', assinalado na Figura 37.

fície, desde a base da crosta, por um processo compressivo (Abreu et al., 1988). Os resultados são mostrados nas Figuras 51 a 53.

Os campos residuais modelados produziram corpos que caracterizam por formas geométricas acunhadas desde verticais até horizontalizadas. O perfil AA' (Figura 51), de NW para SE, corta os corpos 2, 4, 8 e 9. Os corpos 2 e 4 foram clas sificados anteriormente como corpos muito rasos e pelo modelamento apresentam uma profundidade média de 7,5 e 10 km, respectivamente. O corpo 8 foi classificado anteriormente como inter mediário e o corpo 9 como profundo. Pelo modelamento interativo, no entanto, observa-se que a maior parte do corpo 8 é rasa, devendo-se a sua classificação anterior como intermediário à porção assinalada por 8a na Figura 51. O corpo 9 está a uma profundidade média de 15 km. O perfil EE' (Figura 52), de NW para SE, corta os corpos 17, 18, 19 e 20. Os corpos 17 e 20, classificados anteriormente como muito rasos, apresentam modelamento uma profundidade média de 7,5 km. Os corpos 18 e 19 foram classificados como intermediários, sendo fornecido, pe lo modelamento, ll e 14 km de profundidade média, respectivamen te. O perfil CC' (Figura 53), localizado mais a sudoeste na área, corta os corpos 27, 28 e 29 classificados como raso, pou co profundo e profundo, respectivamente. Pelo modelamento foram obtidas as profundidades médias de 17, 21 e 23 km para os corpos 27, 28 e 29, respectivamente, embora o corpo 27 apresente grande variação de profundidade, indo de 7,5 a 18 km. Pelos resultados fornecidos pelo modelamento, acima descrito, podemos concluir que a NW do Lineamento Sobral-Pedro II, os corpos apre sentam profundidades cada vez maiores no sentido de NW para SE, sendo que ao longo de tal feição, na porção central da área,

ocorre a concentração dos corpos mais profundos.

Pode-se observar que os corpos resultantes do modelamento direto têm formas que se aproximam de lentes estiradas,
que podem ser interpretadas geologicamente como lascas de rochas granulíticas trazidas para níveis superiores, ou até mesmo
para a superfície (arredores da cidade de Granja, por exemplo),
por um evento de cisalhamento dúctil, conforme indicado pelas
interpretações apresentadas nas Figuras 54b e 55b para os perfis AA' e CC'.

5.7 - Integração

O quadro tectônico do Pré-Cambriano da área é esboçado em termos de um núcleo constituído por domos gnáissicos,
que ocorrem no setor E, com rochas supracrustais associadas, e
envolvido por faixas fortemente linearizadas ou cinturões de ci
salhamento, como o que ocorre no setor N, caracterizado por fai
xas de rochas gnáissicas, intercaladas com rochas granulíticas.
Os cinturões, são formados por zonas de cisalhamento com caráter
de cavalgamento oblíquo e incluem rochas metamorfisadas em fácies xisto verde, anfibolito e granulito.

A luz desse quadro tectônico, a interpretação da ano malia regional (Figura 34) leva ao modelo de arquitetura crustal mostrado na Figura 35b. Nesse modelo, o espessamento crustal na porção A da Figura 34 é produto de forte movimentação nos cinturões de cisalhamento adjacentes, responsáveis pelo soerguimento de rochas da base da crosta e, provavelmente, do man to litosférico. Os importantes desníveis verificados na interface crosta-manto (Figura 35a) são relacionados a deslocamentos

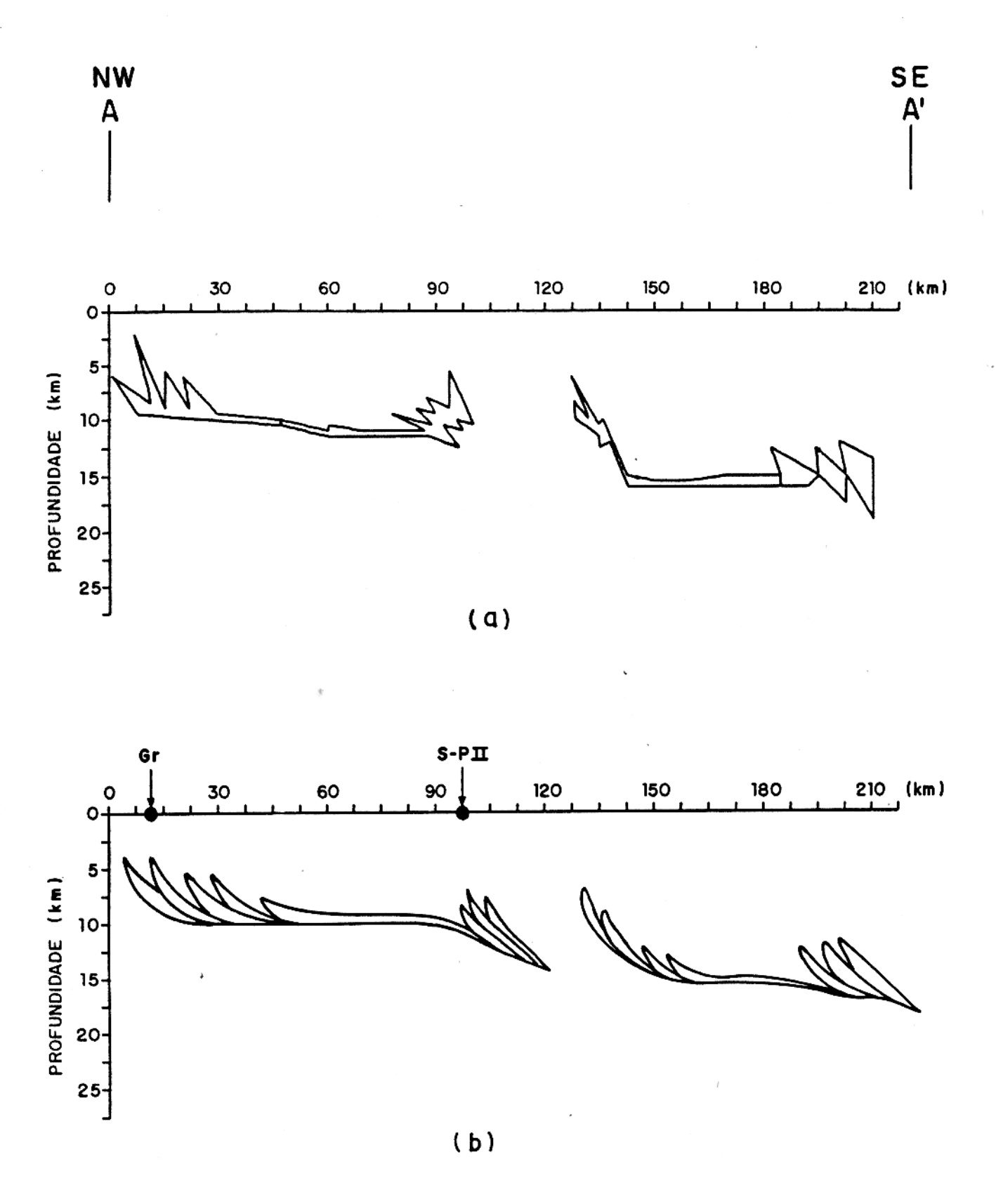


Fig. 54 - (a) Modelo geofísico interpretativo do campo residual obtido pelo método PNW, ao longo do Perfil AA' e (b) seção geológica esquemática interpretativa dos corpos modelados como lascas de granulitos e a localização das zonas de cisalhamento de Granja (Gr) e Sobral-Pedro II (S-P II).

a.h

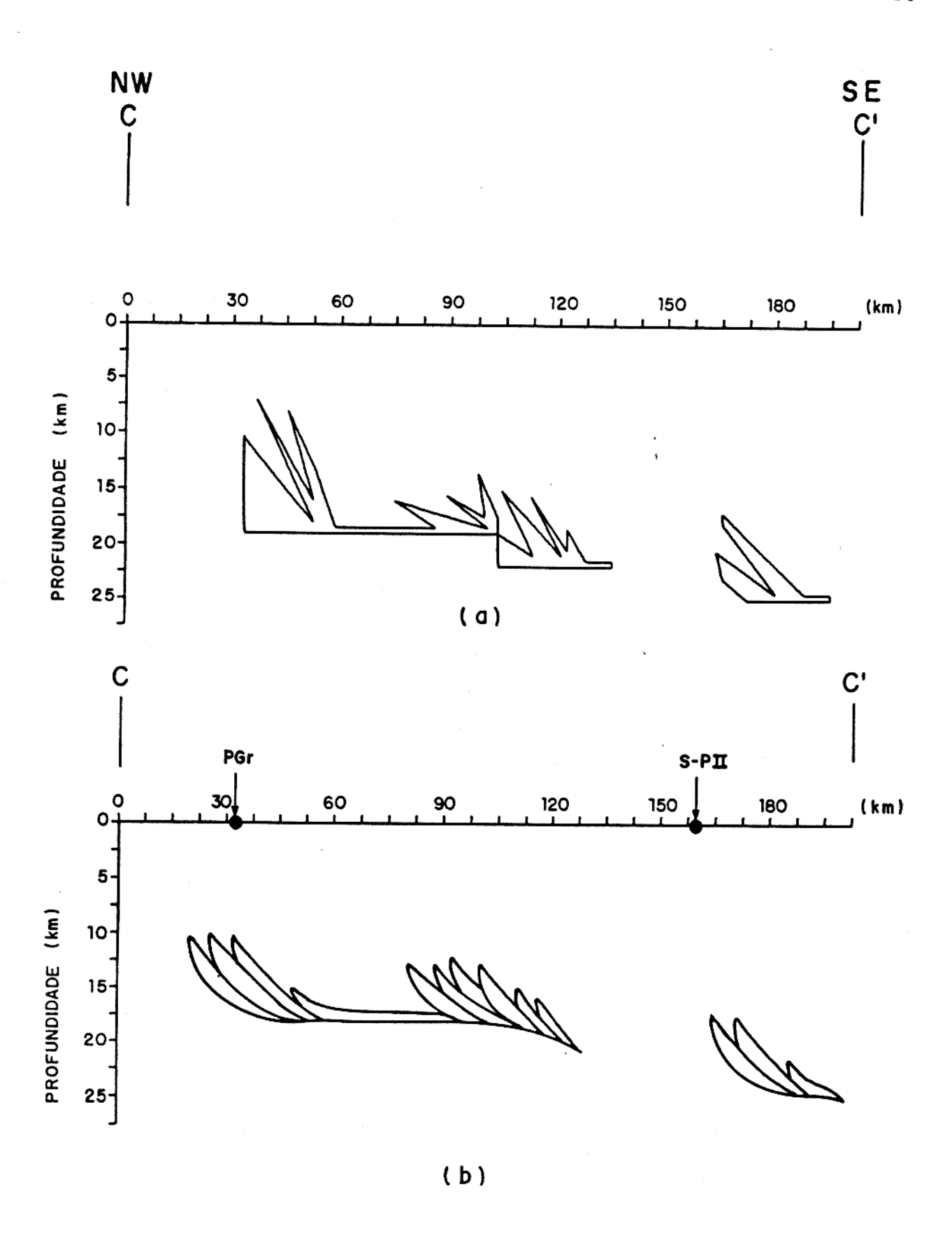


Fig. 55 - (a) Modelo geofísico interpretativo do campo residual obtido pelo método PNW, ao longo do Perfil CC' e (b) seção geológica esquemática interpretativa dos corpos modelados como lascas de granulitos e a localização da Zona de Cisalhamento Sobral-Pedro II (S-P II) e da projeção da Zona de Cisalhamento de Granja (PGr).

~ h

nas zonas de cisalhamento (Figura 35b). Com esse enfoque, pode se admitir que o plano de descolamento principal, ao qual se ajustam as zonas de cisalhamento, pode adentrar-se no domínio do manto litosférico.

A interpretação geofísica da anomalia residual (Figura 31) nos fornece uma visualização, a nível de semi-detalhe, do arranjo estrutural na porção superior da crosta, através de um mapa de profundidades relativas das fontes intracrustais (Figura 47) e de duas seções crustais, uma no canto nordeste e outra no canto sudoeste da área (Figuras 54 e 55, respectivamente). No mapa da Figura 47, os corpos são interpretados como sendo frações alóctones de rochas densas associadas a zonas de cisalhamento. Nesse contexto, verifica-se, que os corpos da parte interna do compartimento I encontram-se a profundidades maiores em relação aos corpos do Setor N, ao passo que, os corpos do compartimento II encontram-se tão rasos quanto os do Setor N.

A relação semi-quantitativa das profundidades, estabelecida pelo mapeamento de densidade, é confirmada pelo modelamento interativo (Figuras 54 e 55) onde se observa um aumento na profundidade dos corpos, de NW para SE. Vale ressaltar, a consistência entre os resultados obtidos pelo modelamento e os dados geológicos de superfície, como por exemplo o corpo 4 (Figura 51 e 54) que ocorre a SE do Lineamento Sobral-Pedro II, tem sua porção mais rasa, coincidindo com o local onde foram descritos afloramentos de rochas granulíticas (Gorayeb e Abreu, 1989). Admitindo-se que os corpos que ocorrem no Setor N e no compartimento I pertençam à mesma zona de cisalhamento, concluindo-se com base nas estimativas de profundidade fornecidas pelo modelamento, no compartimento I as taxas de movimentação,

ao longo dos planos de cisalhamento, foram menores, não permitindo o alçamento expressivo de rochas densas. Por sua vez, os corpos do compartimento II apresentam-se tão rasos quanto os corpos do Setor N apesar de situados entre as zonas de deslocamento I I e I I, que aparentemente condicionam a presença de 45 23 corpos mais profundos. Este fato sugere que os corpos do compartimento II e os do Setor N pertençam a zonas de cisalhamento distintas. Esta interpretação é reforçada pela proximidade dos corpos rasos do compartimento II com a expressão conhecida em superfície de Zona de Cisalhamento Senador Pompeu (confrontar as Figuras 27 e 47).

A alta correlação entre o arranjo geométrico dos corpos interpretados nas Figuras 54 e 55 nos permitem concluir que
a estruturação linearizada do Setor N (Figura 54) tem continuidade por sob os sedimentos da Bacia do Parnaíba. Se esta inter
pretação é correta, a Zona de Cisalhamento de Granja pode ser
projetada até o perfil CC', uma vez que os corpos do extremo no
roeste deste perfil, que são os mais rasos, localizam-se na pro
jeção desta zona. Conclui-se, desta maneira, que o Cinturão de
Cisalhamento Noroeste do Ceará, de orientação NE-SW, tem continuidade para SW, por sob os sedimentos da Bacia do Parnaíba,
por pelo menos 200 km.

Sobre o quadro do Fanerozóico não se dispõe de informações sobre as falhas normais-mestras que compõem a arquitetura paleozóica da Bacia do Parnaíba, mas, na região estudada, elas podem ter sido controladas pelas anisotropias criadas no Pré-Cambriano. Em outras palavras, é possível que a borda nordeste da Bacia do Parnaíba tenha evoluído a partir da reativação/ das zonas de cisalhamento (NE-SW) que compõem os compartimentos fortemente linearizados. No Cretácio, com a fragmenta-

ção do megacontinente Gondwana, instalaram-se linhas de fraque za NW-SE e WNW-ESE que condicionaram a evolução das bacias existentes na costa norte do Brasil, a exemplo de Barreirinhas, São Luis, Ilha Nova, Bragança-Vizeu. Os expressivos desníveis e segmentações das anomalias gravimétricas residuais ao longo de NW-SE e ao longo de NNW-SSE no regional na parte central da área poderiam estar ligadas a esses movimentos tectônicos.

Em síntese, a organização principal das anomalias gravimétricas se deve a um evento tectônico antigo, do tipo compressivo, que pode ser entendido em termos de colisão de blocos continentais, a exemplo da colisão Índia-Ásia (Dewey et al., 1986; Mattauer, 1986; Tapponnier et al., 1986), onde, ao longo de planos preferenciais foi possível o alçamento de rochas densas da base da crosta para níveis crustais mais rasos. Esse ar ranjo foi, em parte, modificado durante a instalação das bacias paleozóicas e cretácicas.

6 - CONCLUSÕES

Este trabalho desenvolveu uma metodologia para interpretade dados gravimétricos que consiste na separação regionalresidual da anomalia Bouguer, seguida da interpretação de cada uma das componentes regional e residual. A separação regionalresidual é efetuada através de ajuste de polinômios por um método robusto cujo desempenho, testado em dados sintéticos, mostra que os campos residuais, produzidos por esse método, apresentam amplitude, forma e gradiente muito próximos dos valores Além disso, o método não introduz anomalias espúrias de sinais contrários, permitindo aproximar campos regionais comple xos, que podem ser, posteriormente, modelados quantitativamente, uma vez que a transmissão do ruído para o regional calculaé minimizada pelo procedimento robusto. A componente regio do nal é interpretada como sendo causada por uma interface separando dois meios homogêneos, sendo transformada em um mapa de distâncias verticais relativas entre a interface e um nível referência., Esse método de interpretação da componente regional foi aplicado em dados sintéticos produzindo mapeamento de interfaces bem próximas das estruturas reais, mesmo em situações onde as premissas necessárias para a aplicação do são parcialmente violadas. A componente residual é interpretada através do mapeamento de contrastes de densidade aparentes e da construção de famílias de curvas envolvendo o contraste de densidade aparente, a profundidade do topo e a espessura. O ma pa de contraste de densidade aparente para valores fixos de pro fundidade do topo e espessura fornece estimativas para os limites laterais dos corpos causadores da anomalia. Estas estimativas permanecem bastante próximas dos valores reais mesmo quan do valores de profundidade do topo e espessura postulados não são os valores verdadeiros. A presença de corpos interferentes não afeta substancialmente tais estimativas. As famílias de curvas possibilitam uma interpretação quantitativa ou semi-quan titativa dependendo da quantidade e da qualidade da informação a priori disponível sobre o contraste de densidade, a profundidade do topo e a espessura.

A metodologia desenvolvida foi aplicada em dados gravimétricos da região norte do Estado do Piauí e noroeste do Estado do Ceará com o objetivo de estudar a geometria da interface crosta-manto, bem como a arquitetura da crosta, possibilitando uma proposta de organização estrutural para a área. Os resultados obtidos permitiram mapear, na área, espessamentos e adelgaçamen tos crustais associados a um evento compressivo que possibilitou a colocação de rochas densas da base da crosta a profundida des rasas. Além disso, a interpretação da anomalia residual for neceu evidências sobre a continuidade do Cinturão de Cisalhamen to Noroeste do Ceará por sob os sedimentos da Bacia do Parnaíba.

tal obtido pela aplicação do método desenvolvido neste trabalho, dificilmente teria sido alcançado interpretando-se apenas
o mapa de anomalia Bouguer. Caso tivesse sido aplicado apenas
o método dos mínimos quadrados, em consequência deste método
permitir uma maior transmissão do campo residual para a superfí
cie regional que está sendo ajustada, as feições do campo regio
nal ficariam distorcidas impossibilitando a visualização das
feições lineares existentes. Conforme demonstrado tanto nos
testes teóricos como na área estudada, o campo residual produ-

zido pelo método dos mínimos quadrados, é caracterizado por uma perda substancial de amplitude, provocando distorções nas estimativas das profundidades levando a uma tendência geral de se interpretarem as fontes residuais como mais profundas, entre tanto boas estimativas dos contornos horizontais ainda podem ser obtidos através do mapeamento de densidade.

A metodologia desenvolvida é suficientemente genérica, podendo ser aplicada em outras situações geológicas como por exem plo no estudo de bacias sedimentares, onde o relevo do embasamento da bacia é a fonte da anomalia regional e as variações laterais de densidade devidas à justaposição de rochas sedimentares e ígneas, são responsáveis pela anomalia residual.

O método robusto de ajuste de polinômios empregado na obten ção do campo regional, incorpora como informação a priori o fa to que as anomalias residuais devem ser positivas. Outros tipos de informação <u>a priori</u> sobre o campo regional ou residual podem igualmente ser incorporadas, como por exemplo a informação que o campo ajustado em determinada porção da área deve ser maior que o campo ajustado em outra porção. Este tipo đe informação é facilmente incorporado na forma de vínculos de desigualdade. Desde que os diversos tipos de informação a priori não sejam conflitantes, eles podem ser levados em conta simultaneamente, contribuindo assim para uma redução adicional da não unicidade do problema da separação regional-residual gravimetria.

REFERÊNCIAS

- ABDELRAHMAN, E.M.; RIAD,S.; REFAI, E.; AMIN, Y.- 1985 On the least-squares residual anomaly determination. Geophysics,50: 473-480.
- ABREU, F.A.M.; GAMA Jr., T.; GORAYEB, P.S.S.; HASUI, Y. 1988

 O cinturão de cisalhamento Noroeste do Ceará. In: Anais do

 VII Cong. Latino-Americano de Geologia, Belém, SBG. p.20-34.
- ABREU, F.A.M.; LESQUER, A.; BYAMUNGU, B.R. 1984 A estrutura ção Setentrional do Brasil segundo a gravimetria. Ciências da Terra, Salvador, 10:10-13.
- AGOCS, W.B -1951- Least squares residual anomaly determination. Geophysics, 16, 686-696.
- AIKEN, O.W.; KELLER, G.R.; HINZE, W.J. 1983 Geological significance of surface gravity measuments in the vivinity of the Illinois deep drill holes. J. Geophys. Res., 88(B9): 7307-7314.
- ALMEIDA, F.F.M. 1968 Evolução tectônica do Centro-Oeste bra sileiro no Proterozóico Superior. An. Acad. Bras. Ciên. Rio de Janeiro, 40 (supl.):285-295.
- ALMEIDA, F.F.M. 1981 O Cráton do Paramirim e suas relações com o do São Francisco. In: Anais do Simpósio sobre o Cráton São Francisco e suas faixas marginais, Salvador, SBG. p.1-10.
- ALMEIDA, F.F.M.; HASUI, Y.; DAVINO, A.; HARALYI, N.L.E. 1980

 Informações geofísicas sobre o oeste mineiro e seu significa
 do tectônico. An. Acad. Bras. Ciên. Rio de Janeiro. 52 (1):
 49-60.
- ANDERSON, K.R. 1982 Robust earthquake location using M-

- estimates. Phys. Earth Plan. Int., 30: 119-130.
- methods for direct gravity interpretation of sedimentary basins. Geophys. J.R. Astron. S., 3:63-67.
- BRAILE, L.W.; KELLER, G.R.; PEEPLES, W.J. 1974 Inversion of gravity data for two-dimensional density distributions.

 J. Geophys. Res., 79(14):2017-2021.
- BRASIL.DNPM 1983 Mapa geológico do Estado do Ceará. s.n.t.
- BRITO NEVES, B.B. 1975 Regionalização geotectônica do Pré-Cambriano nordestino. Tese de Doutorado. São Paulo, USP. 198p.
- BROWN, C.; GIRDLER, R.W.; RENNER, R.G.B. 1980 A gravity traverse across Northern Africa. J. Geophys. Res., 85(Bl1): 6436-6442.
- BROWNE, S.E., FAIRHEAD, J.D.; MOHAMED, I.I.- 1985- Gravity study of the White Nile Rift, Sudan, and its regional tectonic setting. Tectonophysics, 113: 123-137.
- CARLE, S.F. 1988 Three-dimensional gravity modeling of the geologic structure of Long Valley Caldera. J. Geophys. Res., 93(B11):13237-13250.
- CARRIER, D.L.; CHAPMAN, D.S. 1981 Gravity and thermal models for the twin peaks silicic volcanic center, Southwestern Utah. J. Geophys. Res., 86(Bl1):10287-10302.
- CATCHINGS, R.D.; MOONEY, W.D. 1988 Crustal structure of the Columbia Plateau: evidence for continental rifting. J. Geophys. Res., 93(B1):459-474.
- CESAR, A.R.S.F. 1980 O cráton do Rio de La Plata e o cinturão Dom Feliciano no Escudo Uruguaio-Sul-Riograndense. In:
 Anais do XXXI Cong.Bras.Geol, Camboriú, SBG.v.5,p.2879-2892.
 CHEKUNOV, A.V.; SOLLOGUB, V.B.; STAROSTENKO, V.I.; KHARECHKO.

- G.E.; RUSAKOV, O.M.; KOZLENKO, V.G.; KOSTYUKEVICH, A.S. 1984 Structure of the Earth crust and upper mantle below Hindustan and the Northern part of the Indian ocean from geophysical data. Tectonophysics, 101:63-73.
- CORDANI, I.G.; BRITO NEVES, B.B. 1982 The geologic evolution of South America during the Archean and Early Proterozoic. Revista Brasileira de Geociências. São Paulo, 12(1/3):78-88.
- COSTA, J.B.S. 1985 Aspectos lito-estruturais e evolução crustal da região Centro-Oeste de Goiás. Tese de Doutorado Belém, UFPA/CG. 207p.
- COSTA, L.A.M.; INDA, H.A.V. 1982 O aulacógeno do Espinhaço.

 Ciências da Terra, Salvador, 2:13-18.
- COWARD, M.O. 1980 Shear zones in Precambrian crust of Southern Africa. Journal of Structural Geology, 2(1/2):19-27.
- DAVINO, A. 1980 Delineamento dos limites e estruturas do cráton do Paramirim por gravimetria. In: Anais do XXXI Cong. Bras.Geol, Camboriú, SBG. v.5, p.2573-2582.
- DEWEY, J.F.; HEMPTON, M.R.; KIDD, W.S.F.; SAROGLU, F.; SENGOR, A.M.C. 1986 Shortening of continental lithosphere: the neotectonics of Eastern Anatolia a young collision zone.

 In: COWARD, M.P.; RIES, A.C. (Ed) Collision tectonics.

 Oxford, Blackwell, Geological Society of London. p.3-36.

 (Special Publication, n. 19).
- DHIA, H.B. 1987 The geothermal gradient map of Central Tunisia: Comparison with structural, gravimetric and petroleum data. Tectonophysics, 142:99-109.
- DIAMENT, M.; SIBUET, J.-C.; HADAOUI, A. 1986 Isostasy of the Northern Bay of Biscay continental margin. Geophys. J.R. astr. Soc., 86:893-907.

- EL-BATROUKH, S.I.; ZENTANI, A.S. 1980 Gravity
 interpretation of Raguba field, Sirte basin, Libya.
 Geophysics, 45:1153-1163.
- FAIRHEAD, J.D.; OKEREKE, C.S. 1987 A regional gravity study of the west African rift system in Nigeria and Cameroon and its tectonic interpretation. Tectonophysics, 143:141-159.
- GALSON, D.A.; MUELLER, St. 1986 An introduction to the European geotraverse project: first results and present plans. Tectonophysics, 126:1-30.
- GAMA Jr., T (em preparação) Geologia da região de Granja,

 NW do Ceará NE do Brasil. Tese de Doutorado.
- GERARD, A.; DEBEGLIA, N. 1975 Automatic three-dimensional modeling for the interpretation of gravity or magnetic anomalies. Geophysics, 40:1014-1034.
- GETTINGS, M.E.; GRISCOM, A. 1988 Gravity model studies of Newberry Volcano, Oregon. J. Geophys. Res., 93(B9):10109-10118.
- GOL'TSMAN, F.M. 1977 Problems of the statistical information theory of the interpretation of geophysical observations. Physics of the Solid Earth, 13:873-879.
- GOMES, J.R.C.; GATTO, C.M.P.P.; SOUZA, G.M.C.; LUZ, D.S.;

 PIRES, J.L.; TEIXEIRA, W. 1981 Geologia das Folhas S.24/

 25 Jaguaribe/Natal Mapeamento Regional. In: Brasil. DNPM

 Projeto RADAM. Rio de Janeiro. v.23, p.27-176.
- GOMES, R.A.A.D.; MOTTA, A.C. 1978 Projeto Levantamento Gravimétrico do Estado da Bahia. Salvador, Convênio DNPM/CPRM.
- GORAYEB, P.S.S.; ABREU, F.A.M. 1989 A faixa de alto grau da região de Cariré CE. In: Atas do II Simpósio Nacional de Estudos Tectônicos, Fortaleza. SBG. Núcleos Fortaleza, Nordeste e Bahia. p.261-264.

- GRANSER, H. 1986 Convergence of iterative gravity inversion Geophysics, 51:1146-1147.
- GREEN, R.; ADKINS, J.S.; HARRINGTON, H.J.; UNTUNG, M. 1981 Bouguer gravity map of Indonesia. Tectonophysics, 71:267-280.
- GUILLEN, A.; MENICHETTI, V. 1984 Gravity and magnetic inversion with minimization of a specific functional.

 Geophysics, 49:1354-1360.
- GUPTA, V.K.; RAMANI, N. 1980 Some aspects of regionalresidual separation of gravity anomalies in a Precambrian terrain. Geophysics, 45:1412-1426.
- HADAMARD, J. 1902 Sur les problemes aux derivées partielles et leur signification physique. Bull. Princeton Univ., 13: 1-20.
- HALL, J. 1986 The physical properties of layered rocks in deep continental crust. In: DAWSON, J.B.; CARSWELL, D.A.; HALL, J.; WEDEPOHL, K.H. (Ed) The nature of the lower continental crust. Oxford, Blackwell, Geological Society of London. p.51-62. (Special Publication, n. 24).
- HARALYI, N.L.E. 1978 Carta gravimétrica do Oeste e Sul de Minas Gerais, Nordeste de São Paulo e Sul de Goiás. Tese de Doutorado. São Paulo. USP/IG. 359p.
- HARALYI, N.L.E.; HASUI, Y. 1981 Anomalias gravimétricas e estruturas maiores do Sul de Goiás. In: Atas do I Simpósio de Geologia do Centro-Oeste, Goiânia, SBG. Núcleos Centro-Oeste e Brasília. p.73-92.
- HARALYI, N.L.E.; HASUI, Y. 1982a The gravimetric information and the Archean-Proterozoic structural framework of Eastern Brazil. Revista Brasileira de Geociências, São Paulo, 12(1/3):160-166.
- HARALYI, N.L.E.; HASUI, Y. 1982b Compartimentação geotectô-

- nica do Brasil Oriental com base na informação geofísica.In: Anais do XXXII Cong.Bras.Geol, Salvador, SBG. p.374-385.
- HARALYI, N.L.E.; HASUI, Y. 1985 Interpretation of gravity and magnetic data, Central and Eastern Brazil. In: HINZE, W. J. (Ed) The utility of regional gravity and magnetic anomaly maps. Tulsa, SEG. p.124-131.
- HARALYI, N.L.E.; HASUI, Y.; MIOTO, J.A.; HAMZA, V.M.; RODRIGUES C.R.V. 1985 Ensaio sobre a estrutura crustal do Estado de Minas Gerais com base na informação geofísica e geológica In: Contribuição à Geologia e à Petrologia. Boletim Especial. Núcleo de Minas Gerais. SBG. 71-93.
- HASUI, Y.; ABREU, F.A.M.; SENA, J.B.S.; SILVA, J.M.R. 1981 A Faixa de dobramentos Araguaia Estado do Conhecimento.

 In: Atas do I Simpósio de Geologia do Centro-Oeste, Goiânia,

 SBG. Núcleos Centro-Oeste e Brasília. p.177-194.
- HASUI, Y.; CARNEIRO, C.D.R.; COIMBRA, A.M. 1975 The Ribeira folded belt. Revista Brasileira de Geociências, São Paulo. 5(4):257-266.
- HASUI, Y.; HARALYI, N.L.E. 1985 A megaestruturação de Goiás In: Atas do II Simpósio de Geologia do Centro-Oeste, Goiánia, SBG. Núcleos Centro-Oeste e Brasília. p.120-144.
- HASUI, Y.; HARALYI, N.L.E.; SCHOBENHAUS, C. 1984 Elementos geofísicos da Região Amazônica: subsídios para o modelo geotectônico. In: Anais II Simposium Amazonico, Manaus, DNPM. p.129-147.
- HILDENBRAND, T.G. 1985 Rift structure of the Northern Mississipi embayment from the analysis of gravity and magnetic data. J. Geophys. Res., 90(Bl4):12607-12622.
- HOERL, A.E.; KENNARD, R.W. 1970 Ridge regression: biased estimation for nonorthogonal problems. Technometrics.12:55-

- HUBER, P.J. 1981 Robust statistics. New York, John Wiley & Sons. 308p.
- ISSLER, R.S. 1982 Evento geodinâmico Brasiliano Fechamento de oceano e colisão continental dos cratons Rio de La Plata e Dom Feliciano: granitos a duas micas e ofiolitos.In: Anais XXXII Cong.Bras.Geol, Salvador, SBG. v.1, p.24-38.
- IZZELDIN, A.Y. 1987 Seismic, gravity and magnetic surveys in the Central part of the Red sea: their interpretation and implications for the structure and evolution of the Red sea. Tectonophysics, 143:269-306.
- JACHENS, R.C.; GRISCOM, A. 1983 Three-dimensional geometry of the Gorda plate beneath Northern California. J. Geophys. Res., 88(B11):9375-9392.
- JACHENS, R.C.; GRISCOM, A. 1985 An isostatic residual gravity map of California A residual map for interpretation of anomalies from intracrustal sources. In: HINZE, W.J. (Ed) The utility of regional gravity and magnetic anomaly maps. Tulsa, SEG. p.347-360.
- JACOBSEN, B.H. 1987 A case for upward continuation as a standard separation filter for potential-field maps.

 Geophysics, 52: 1138-1148.
- JOST, H. 1984 Sedimentação e vulcanismo durante o ciclo Brasiliano no Rio Grande do Sul: uma revisão. In: Anais XXXIII Cong.Bras.Geol, Rio de Janeiro, SBG. v.7, p.3241-3257.
- KAILA, K.L.; BHATIA, S.C. 1981 Gravity study along the Kavali-Udipi deep seismic sounding profile in the Indian Peninsular shield: some inferences about the origin of anorthosites and the Eastern Ghats orogeny. Tectonophysics, 79:129-143.

- LA PORTE, M.- 1962- Elaboration rapide de cartes gravimetriques deduites de l'anomalie de Bouguer a l'aide d'une calculatrice electronique. Geophys. Prosp., 10: 238-257.
- LAST, B.J.; KUBIK, K. 1983 Compact gravity inversion.

 Geophysics, 48(6):713-721.
- LEÃO , J.W.D.; SILVA, J.B.C. 1989 Discrete linear transformations of potential field data. Geophysics, 54(4): 497-507.
- LEHMAN, J.A.; SMITH, R.B.; SCHILLY, M.M. 1982 Upper crustal structure of the Yellowstone Caldera from seismic delay time analysis and gravity correlations. J. Geophys. Res., 87(B4): 2713-2730.
- MAC GREGOR, A.M. 1951 Some milestone in the Precambrian of Southern Africa. Trans. Geol. Soc. S. Afr. 54:27-71.
- MARINI, O.J.; FUCK, R.A.; DANNI, J.C.; DARDENNE, M.A. 1981 A evolução geotectônica da faixa Brasília e do seu embasamen to. In: Anais do Simpósio sobre o cráton São Francisco e suas faixas marginais, Salvador, SBG. p.100-115.
- MASCARENHAS, J.F. 1981 O embasamento precambriano no Estado da Bahia e sua gênese. In: Anais do Simpósio sobre o craton . São Francisco e suas faixas marginais, Salvador, SBG. p.34-38.
- MATTAUER, M. 1986 Intracontinental subduction, crust-mantle décollement and crustal-stacking wedge in the Himalayas and other collision belts. In: COWARD, M.P.; RIES, A.C.(Ed.) Collision tectonics. Oxford, Blackwell, Geological Society of London. p.37-50. (Special Publication, n. 19)
- MELLO, Z.F. 1978 Evoluções finais do ciclo geotectônico Brasiliano no nordeste oriental. In: Anais do XXX Cong.Bras.

- Geol, Recife, SBG. v.6, p.2438-2450.
- MUKHOPADHYAY, M.; VERMA, R.K.; ASHRAF, M.H. 1986 Gravity field and structures of Rajmahal Hills: examples of the Paleo-Mesozoic continental margin in Eastern Indian.

 Tectonophysics, 131:353-367.
- NASCIMENTO, D.A.; GAVA, A.; PIRES, J.L.; TEIXEIRA, W. 1981 Geologia da Folha SA.24 Fortaleza Mapeamento Regional. In: Brasil. DNPM. Projeto RADAM. Rio de Janeiro. v.21, p.23-133.
- NETTLETON, L.L. 1976 Gravity and magnetics in oil prospecting. New York, McGraw-Hill Book. 464p.
- NUNN, J.A.; AIRES, J.R. 1988 Gravity anomalies and flexure of the lithosphere at the Middle Amazon Basin, Brazil. J. Geophys. Res. 93(B1):415-428.
- OLDENBURG, D.W. 1974 The inversion and interpretation of gravity anomalies. Geophysics, 39(4):526-536.
- PARKER, R.L. 1973 The rapid calculation of potential anomalies. Geophys. J.R. astr. S. 31:447-455.
- PAUL, M.K.- 1967- A method of computing residual anomalies from Bouguer gravity map by applying relaxation technique.

 Geophysics, 32: 708-719.
- PFLUG, R.; RENGER, F. 1973 Estratigrafia e evolução geológi ca da margem SE do Cráton Sanfranciscano. In: Anais do XXVII Cong.Bras.Geol, Aracajú, SBG. v.2, p.5-19.
- PORADA, H. 1979 The Damara-Ribeira Orogen of the Pan-African Brasiliano cycle in Namibia (Southwest Africa) and Brazil as interpreted in terms of continental collision.

 Tectonophysics. 57:237-265.
- PRATT, T.L.; ÇORUH, C.; COSTAIN, J.K.; GLOVER, L. 1988 A geophysical study of the Earth's crust in Central Virginia: implications for Appalachian crustal structure. J. Geophys.

- Res., 93(B1):415-428.
- PROUFF, D.; ISHERWOOD, W.F. 1980 Aeromagnetic and gravity survey in the Coso Range, California. J. Geophys. Res., 85 (B5):2491-2501.
- RALSTON, A.; RABINOWITZ, P.- 1978 A first course in numerical analysis. New York, Mc raw-Hill Book. 556p.
- RAND, H.; SIAL, A.N.; BRITO NEVES, B.B.; MANSO, V.V. 1980 Gravimetric and magnetometric study of the Late Precambrian Sergipe folding system; Northeast Brazil. In: Anais do XXXI Cong.Bras.Geol, Camboriú, SBG. v.5, p.2700-2708.
- RAO, B.S.R.; RADHAKRISHNA MURTHY, I.V.; VISWESWARA RAO, C. 1975 A successive approximation method of deriving
 residual gravity. Geoexploration, 13: 129-135.
- RAPOLLA, A.; FEDI, M.; FIUME, M.G. 1989 Crustal structure of the Ischia-Phlegrean geothermal fields, near Naples, Italy, from gravity and aeromagnetic data. Geophys. J.R. astr. Soc., 97(3):409-419.
- RIBEIRO, M.; LICHTENBERG, E. 1978 Síntese da geologia do escudo do Rio Grande do Sul. In:Anais do XXX Cong.Bras.Geol, Recife, SBG. v.6, p.2451-2463.
- RITZ, M.; ROBINEAU, B. 1986 Crustal and upper mantle electrical conductivity structures in West Africa:geodynamic implications. Tectonophysics, 124: 115-132.
- ROY, A. 1966 The method of continuation in mining geophysical interpretation. Geoexploration, 4(1):65-83.
- SÁ, E.F.J.; M REATH, I.; BRITO NEVES, B.B.; BARTELS, R.L.
 1976 Novos dados geocronológicos sobre o cráton São Francisco no Estado da Bahia. In:Anais do XXIX Cong.Bras.Geol.,
 Ouro Preto, SBG. v.4, p.185-204.
- SANTOS, E.J.; BRITO NEVES, B.B. 1984 Provincia Borborema.

- In: ALMEIDA, F.F.M.; HASUI, Y. (Coords) O Pré-Cambriano do Brasil. São Paulo, Edgar Blücher. p.123-186.
- SEGUIN, M.K. 1983 Tectonic style of the Appalachian allochthonous zone of Southern Quebec: seismic and gravimetric evidence. Tectonophysics, 96:1-18.
- SEGUIN, M.K. 1986 Correlation of gravity with the Maquereau Group, Southern Gaspe Peninsula, Quebec. Tectonophysics, 126:231-228.
- SHUEY, R.T.; PASQUALE, A.S. 1973 End corrections in magnetic profile interpretation. Geophysics, 38:507-512.
- SIBUET, J.-C.; VEYRAT-PEINET, B. 1980 Gravimetric model of the Atlantic Equatorial Fracture zones. J. Geophys. Res., 85(B2):943-954.
- SILVA, J.B.C.; HOHMANN, G.W. 1984 Airbone magnetic susceptibility mapping. Exploration Geophysics, 15:1-13.
- SIMPSON Jr., S.M. 1954 Least squares polynomial fitting to gravitational data and density plotting by digital computers Geophysics, 19: 255-269.
- SKEELS, D.C. 1967 What is residual gravity? Geophysics, 32: 872-876.
- SNYDER, D.B.; CARR, W.J. 1984 interpretation of gravity data in a complex volcano-tectonic setting, Southwestern Nevada. J. Geophys. Res., 89(B12):10193-10206.
- STEINER, F. 1978 Contribution to the determination of the gravitational effect of rectangular prisms. Acta Geodaet., Geophys. et Montanist. Sci. Hung., 13(3/4):375-382.
- SYBERG, F.J.R. 1972 A Fourier method for the regional-residual problem of potential fields. Geophys. Prosp., 20: 47-75.
- TALWANI, M.; WORZEL, J.L.; LANDISMAN, M. 1959 Rapid gravity

- computation for two-dimensional bodies with application to the Mendocino submarine fracture zone. J. Geophys. Res., 64 (1):49-59.
- TAPPONNIER, P.; PELTZER, G.; ARMIJO, R. 1986 On the mechanics of the collision between India and Asia. In:

 COWARD, M.P.; RIES, A.C. (Ed.) Collision tectonics. Oxford,

 Blackwell, Geological Society of London. p.115-157. (Special Publication, n. 19).
- TORQUATO, J.R.; FOGAÇA, A.C.C. 1981 Corelação entre o Supergrupo Espinhaço no Brasil, o Grupo Chela em Angola e as formações Nosib e Khoabendus na Namíbia. In: Anais do Simpósio sobre o Cráton São Francisco e suas faixas marginais, Salvador, SBG. p.87-98.
- TSAY, L.J. 1975 The use of Fourier series method in up-ward continuation with new improvements. Geophys. Prosp., 23:28-41.
- TUKEY, J.W. 1965 Data analysis and the frontiers of geophysics. Sciences, 148:1283-1289.
- ULRYCH, T.J. 1968 Effect of wavelength filtering on the shape of the residual anomaly. Geophysics, 33:1015-1018.
- UP DE GRAFF, J.E.; LUYENDYK, B.P. 1989 Gravity study of the boundary between the western traverse Ranges and Santa Maria basin California. J. Geophys. Res., 94(B2):1817-1825.
- VERGARA-MUÑOZ, A. 1988 Tectonic pattern of the Panama block deduced from seismicity, gravitacional data and earthquake mechanisms: implications to the seismic hazard.

 Tectonophysics, 154:253-267.
- VERMA, R.K.; SARMA, A.U.S.; MUKHOPADHYAY, M. 1984 Gravity field over Singhbhum, its relationship to geology and /tectonic history. Tectonophysics, 106:87-107.